

ISSN 0002-3078

АЗӘРБАЙЧАН ССР ЕЛМЛӘРАКАДЕМИЯСЫ
АКАДЕМИЯ НАУК АЗЕРБАЙДЖАНСКОЙ ССР

МӘРҮЗӘЛӘР ДОКЛАДЫ

том XXXVII чилд

1981 • 5

ДАН Азерб. ССР публикует краткие сообщения об оригинальных, нигде не печатанных ранее, результатах научных исследований, представленные академиками АН Азерб. ССР, которые тем самым берут на себя ответственность за научные достоинства представляющейся статьи.

В «Докладах» не публикуются крупные статьи, механически разделенные на ряд отдельных сообщений, статьи полемического характера, без новых фактических сообщений, статьи полемического характера, без новых фактических данных, статьи с описанием промежуточных опытов, без определенных выводов и обобщений, чисто методические статьи, если предлагаемый метод не является принципиально новым, а также статьи по систематике растений и животных (за исключением описания особо интересных для науки находок).

Будучи органом срочной информации, журнал «ДАН Азерб. ССР» принимает и отбирает к печати статьи, объем которых допускает их публикацию в установленные решением Президиума АН Азерб. ССР сроки.

В связи со всеми перечисленными ограничениями отклонение статьи редакцией «Доклады АН Азерб. ССР» означает только, что она не согласуется с требованиями и возможностями этого журнала и не исключает ее публикации в других изданиях.

ПРАВИЛА ДЛЯ АВТОРОВ

Редакция журнала «Доклады АН Азерб. ССР» просит авторов руководствуясь приложенными правилами и надеется, что авторы ознакомятся с ними прежде, чем пришлют статью в редакцию.

Статьи, присланные без соблюдения этих правил, к рассмотрению не принимаются.

1. Статьи, направляемые СССР или академика АН Азерб.

Статьи с просьбой напечатать

2. Статья публикуется в чрезвычайной публикации является приоритетом. Для этого необходимо

3. Как правило, редакции

4. «Доклады» помещают не распространяется на членов

5. Авторы должны определить статьи прилагается отпечатанная для передачи в один

6. В конце статьи нужно

Кроме того, авторский

детали переговоры и

7. Возвращение

к печати. После получения

коллегий. Доработаны

записью статьи, а

день получения редакции

8. В «Докладах»

(6 страниц машинопись

больше 15 источников)

включая и обозначения

Вклейки даются только

сунки (карты, схемы и

и графический материал

тех же данных в тексте,

выполнены четко, в форм

графии представляются на

печатаны в 2-х экземплярах

рисунков мягким карандашом

рисунка.

АЗЭРБАЙЧАН ССР ЕЛМЛЭР АКАДЕМИЯСЫ
АКАДЕМИЯ НАУК АЗЕРБАЙДЖАНСКОЙ ССР

МЭРҮЗЭЛЭР ДОКЛАДЫ

ТОМ XXXVII ЧИЛД

№ 5

«ЕЛМ» НЭШРИЙЛДАЙ-ИЗДАТЕЛЬСТВО «ЕЛМ»
БАКУ-1981-БАКУ



М. А. ВЕЛИЕВ

К УСТОЙЧИВОСТИ МЕТОДА БУБНОВА—ГАЛЕРКИНА
ДЛЯ ЛИНЕЙНЫХ УРАВНЕНИЙ ПЕРВОГО ПОРЯДКА
В ГИЛЬБЕРТОВОМ ПРОСТРАНСТВЕ

(Представлено академиком АН Азербайджанской ССР А. И. Гусейновым)

В заметке рассматривается вопрос об устойчивости метода Бубнова—Галеркина (в смысле определения, данного в [1, 2] для уравнений первого порядка и без оговорок используются результаты и терминология из [2, 3, 4]).

1. Рассмотрим задачу

$$u' + A_1 u = A_2 u = f(t), \quad u(0) = u_0, \quad (1)$$

где A_i ($i = 1, 2$) — постоянные линейные операторы, действующие в вещественном гильбертовом пространстве H ; оператор A_1 самосопряженный, положительно определенный в H ; области определения операторов A_i ($i = 1, 2$) удовлетворяют условию $D(A_1^{1/2}) \subseteq D(A_2)$. u_0 — заданный, а $f(t)$ при всех $t \geq 0$ заданный элементы из H .

Для приближенного решения задачи (1) выберем координатную систему $\{\varphi_k\} \subset D(A_1^{1/2})$ и приближенное решение ищем в виде $u_n(t) = \sum_{k=1}^n c_k^{(n)}(t) \varphi_k$. Коэффициенты $c_k^{(n)}(t)$ ($k = 1, 2, \dots, n$) определяются из системы, которая в матричной форме имеет вид

$$R_{n0} C'_n(t) + R_{n1} C_n(t) + R_{n2} C_n(t) = f_n(t), \quad (2)$$

где $R_{n0} = \|(\varphi_k, \varphi_j)\|_{k,j=1}^n$, $R_{n1} = \|[\varphi_k, \varphi_j]_{A_1}\|_{k,j=1}^n$, $R_{n2} = \|(A_2 \varphi_k, \varphi_j)\|_{k,j=1}^n$
 $f_n(t) = ((f(t), \varphi_1), \dots, (f(t), \varphi_n))$,

а $C_n(t)$ — вектор из n -мерного евклидова пространства E_n . Начальное условие имеет вид

$$C_n(t)|_{t=0} = C_n(0). \quad (2')$$

Постоянный вектор $C_n(0)$ определяется из системы

$$R_{n1} C_n(0) = T_n, \quad (3)$$

где

$$T_n = ([u_0, \varphi_1]_{A_1}, \dots, [u_0, \varphi_n]_{A_1})$$

Лемма 1. Если $u_0 \in D(A_1^{1/2})$ то справедлива оценка

$$\|R_{n1}^{1/2} C_n(0)\|_{E_n} \leq \|u_0\|_{A_1}.$$

Лемма 2. Пусть 1) оператор A_1 самосопряженный положительно определенный в H ; 2) операторы A_1, A_2 удовлетворяют условию

$$\|A_2 u\| \leq \alpha_2 \|A_1^{1/2} u\|, \quad \forall u \in D(A_1^{1/2}), \quad \alpha_2 = \text{const} > 0; \quad (4)$$

3) $u_0 \in D(A_1^{1/2})$; 4) $f \in L_2(0, T; H)$.

РЕДАКЦИОННАЯ КОЛЛЕГИЯ:

Г. Б. Абдуллаев (главный редактор), М. Т. Аббасов,
Ал. А. Ализаде (зам. главного редактора), В. С. Алиев, Г. А. Алиев,
Дж. А. Алиев, И. Г. Алиев, Дж. Б. Гулиев, Н. А. Гулиев,
М. З. Джабаров, Ф. Г. Максудов, А. А. Надиров, Ю. М. Сейдов.
(зам. главного редактора), М. А. Тоңчибашев, М. А. Усейнов,
Г. Г. Зейналов (ответств. секретарь).

© Издательство „Эям“, 1981 г.

Адрес: г. Баку, Коммунистическая, 10. Редакция „Известий Академии наук Азербайджанской ССР“.

Тогда

$$2(1-\varepsilon_0) \int_0^t \|R_{n0}^{1/2} C_n(\tau)\|_{E_n}^2 \exp\left\{\frac{\sigma_1^2}{\varepsilon_0}(t-\tau)\right\} d\tau + \|R_{n1}^{1/2} C_n(t)\|_{E_n}^2 < \\ \leq M_0, \quad \forall t \in [0, T], \quad (5)$$

где $\varepsilon_0 \in [0, 1]$, $M_0 = \text{const} > 0$, $C_n(t)$ — решение задачи (2), (2').

Пусть координатная система $\{\varphi_k\} \subset D(A_1^{1/2})$ сильно минимальна в H . Тогда $0 < r_0 r_i^{(n)} (i = 1, 2, \dots, n)$, где $r_i^{(n)}$ собственные значения матрицы R_{n1} .

Рассмотрим систему

$$(R_{n1} - \Gamma_{n1}) \tilde{C}_n(0) = T_n + \varepsilon_n,$$

где матрица погрешностей Γ_{n1} симметрична в E_n , а ε_n — погрешность вектора T_n .

Лемма 3. Пусть 1) оператор A_1 самосопряженный положительно определенный в H ; 2) координатная система $\{\varphi_k\} \subset D(A_1^{1/2})$ сильно минимальна в H ;

3) $u_0 \in D(A_1^{1/2})$.

Тогда, если $\|\Gamma_{n1}\|_{E_n} \leq \beta_0 r_0$, $\beta_0 \in (0, 1)$, то

$$\|R_{n1}^{1/2} (\tilde{C}(0) - C_n(0))\|_{E_n} \leq C_1 \|\Gamma_{n1}\|_{E_n} + C_2 \|\varepsilon_n\|_{E_n},$$

где C_1, C_2 — положительные постоянные, независящие от n .

Теорема 1. Пусть 1) выполнены условия леммы 2; 2) координатная система $\{\varphi_k\} \subset D(A_1^{1/2})$ сильно минимальна в пространстве $L_2(0, T; H_{A_1}(t))$, $C(0, T; H_{A_1}(t))$, $ve H$.

Тогда приближенное решение задачи (1) по методу Бубнова — Галеркина устойчиво в пространствах $L_2(0, T; H_{A_1})$, $C(0, T; H_{A_1})$ на $(0, \infty)$, если $A_2(t) \equiv 0$.

Пусть $A_2 = 0$. Тогда легко видеть, что решение системы Бубнова — Галеркина продолжимо на $(0, \infty)$ [6]. Поэтому имеет место

Теорема 2. Пусть 1) оператор A_1 самосопряженный положительно определенный в H ; 2) координатная система $\{\varphi_k\} \subset D(A_1^{1/2})$ сильно минимальна в H ; 3) $u_0 \in D(A_1^{1/2})$; 4) $f \in L_2(0, \infty; H)$.

Тогда приближенное решение задачи (1) по Бубнову — Галеркину устойчиво в пространстве $C(0, \infty; H)$.

2. Рассмотрим задачу Коши для уравнений с переменными коэффициентами

$$u' + A_1(t)u + A_2(t)u = f(t), \quad u(0) = u_0, \quad (6)$$

где $A_k(t)$ ($k = 1, 2$) — линейные операторы в H , определенные на плотном в H множестве $D(A_1)$, независящем от t , причем $D(A_1^{1/2}) \subseteq D(A_2)$. Условия однозначной разрешимости приведены в [3, 4].

Будем различать два случая: 1) оператор $A_1(t)$ сильно дифференцируем в H ; 2) оператор $A_1(t)$, вообще говоря, недифференцируем в H .

Рассмотрим первый случай. Имеет место

Лемма 4. Пусть 1) оператор $A_1(t)$ при $\forall t \in [0, T]$ самосопряжительно определенный в H , т. е. для $\forall t \in [0, T]$ выполнено неравенство $\forall u \in D(A_1)$ выполнено условие

$$(A_1(t)u, u) \geq \gamma_0^2 (u, u), \quad \gamma_0 = \text{const};$$

2) операторы $A_1(t), A_2(t)$ удовлетворяют условию

2) операторы $A_i(t)$ ($i = 1, 2$) удовлетворяют условию

$$\|A_2(t)u\| \leq \alpha_2 \|A_1^{1/2}(t)u\|, \quad \forall t \in [0, T], \quad \forall u \in D(A_1^{1/2}), \quad \alpha_2 = \text{const} > 0;$$

3) оператор $A_1(t)$ сильно дифференцируем и производная $A_1'(t)$ удовлетворяет условию

$$(A_1'(t)u, u) \leq 0, \quad \forall t \in [0, T], \quad \forall u \in D(A_1); \quad (7)$$

Тогда для $\forall t \in [0, T]$ справедлива оценка

$$\int \|R_{n0}^{1/2} C_n(\tau)\|_{E_n}^2 \exp\{4\alpha_2^2(t-\tau)\} d\tau + \|R_{n0}^{1/2} C_n(t)\|_{E_n}^2 \leq M_1,$$

где M_1 — положительная постоянная, независящая от n .

Пусть $\Gamma_{n0}, \Gamma_{n1}(t)$ ($i = 1, 2$) — возмущения матриц $R_{n0}, R_{n1}(t)$ ($i = 1, 2$) соответственно, $\Gamma_{n0}, \Gamma_{n1}(t)$ — самосопряженные в E_n , $\Gamma_{n1}(t)$ ($i = 1, 2$) непрерывны на $[0, T]$ и выполняются условия

$$\|\Gamma_{n0}\|_{E_n} \leq \Lambda_0, \quad \|\Gamma_{n1}\|_{C(0, T; E_n)} \leq \Lambda_1, \quad (8)$$

где Λ_i ($i = 0, 1, 2$) — положительные постоянные, независящие от n .

Теорема 3. Пусть 1) выполнены условия леммы 4; 2) координатная система $\{\varphi_k\} \subset D(A_1^{1/2})$ сильно минимальна в H ; 3) выполнены условия (8).

Тогда процесс определения приближенного решения задачи (6) по методу Бубнова — Галеркина устойчив в пространствах $L_2(0, T; H_{A_1}(t))$, $C(0, T; H_{A_1}(t))$.

Перейдем к вопросу об устойчивости на $(0, \infty)$. Легко видеть, что решение системы Бубнова — Галеркина для задачи (5) продолжимо на $(0, \infty)$, если $A_2(t) \equiv 0$.

Лемма 5. Пусть 1) оператор A_1 самосопряженный, положительно определенный в H ; 2) $A_2(t) \equiv 0$; 3) $u_0 \in D(A_1^{1/2}(0))$; 4) $f \in L_2(0, \infty; H)$. Тогда

$$\|u_n\|_{L(0, \infty; H)}^2 + \|u_n\|_{C(0, \infty; H_{A_1}(t))}^2 \leq M_2,$$

где M_2 — положительная постоянная, независящая от n .

Теорема 4. Пусть 1) выполнены условия леммы 5; 2) выполнены условия 3), 4) леммы 4; 3) координатная система $\{\varphi_k\} \subset D(A_1^{1/2})$ сильно минимальна в H ;

4) выполнены условия

$$\|\Gamma_{n0}\|_{E_n} \leq \Lambda_0, \quad \sup_{t>0} \|\Gamma_{n1}(t)\|_{E_n} \leq \Lambda_1,$$

где Λ_i ($i = 0, 1$) — положительные постоянные, независящие от n .

Тогда процесс приближенного решения по методу Бубнова — Галеркина устойчив в пространстве $C(0, \infty; H)$.

Перейдем ко второму случаю. Пусть оператор $A_1(t)$, вообще говоря, недифференцируем.

Лемма 6. Пусть 1) оператор $A_1(t)$ самосопряженный положительно определенный в H , т. е. для $\forall t \in [0, T]$ и $\forall u \in D(A_1)$

$$(A_1(t)u, u) \geq \gamma_0^2 (u, u), \quad \gamma_0 = \text{const};$$

2) операторы $A_1(t), A_2(t)$ удовлетворяют условию

$$([A_1(t) + A_2(t)]u, u) \geq q \|A_1^{1/2}(t)u\|^2 - \alpha_3 \|u\|^2.$$

M. A. Veliev

TO THE STABILITY OF BUBNOV-GALJORKIN'S METHOD FOR THE FIRST ORDER LINEAR EQUATIONS IN THE HILBERT'S SPACE

In this article the stability of Bubnov-Galjorkin's method for the linear equation of the first order with the constant and variable coefficient in Hilbert's space is investigated.

In the sufficient condition the stability method for the strong minimal co-ordinate system is proved.

при $\forall t \in [0, T]$, $\forall u \in D(A_1)$, где $q = \text{const} > 0$; 3) $u_0 \in H$;

4) $f \in L_2(0, T; H)$.

Тогда

$$\|R_{n0}^{1/2} C_n\|_{L_{\infty}(0, T; E_n)} \leq \sqrt{\frac{C}{a_4}}, \|R_{n0}^{1/2} C_n\|_{C(0, T; E_n)} \leq \sqrt{C},$$

где C, a_4 —положительные постоянные, независящие от n , а $C_n(t)$ —решение системы Бубнова-Галеркина при $C_n(t)|_{t=0} = C_n(0)$.

Теорема 5. Пусть 1) выполнены условия леммы 6; 2) координатная система $\{\varphi_k\} \subset D(A_1^{1/2})$ сильно минимальна в H ;

3) $\Gamma_{n0} = 0$, $\|\Gamma_{ni}\|_{C(0, T; E_n)} \leq \Lambda_i$,

где $\Lambda_i (i = 1, 2)$ —положительные постоянные, независящие от n .

Тогда процесс определения приближенного решения задачи (6) по методу Бубнова-Галеркина устойчив в пространствах $L_2(0, T; H)$, $C(0, T; H)$.

Замечание 1. Из утверждения теорем 1, 3, 5 вытекает, что процесс определения коэффициентов $c_k^{(n)}(t) (k = 1, 2, \dots, n)$ устойчив в пространствах $L_2(0, T; E_n)$, $C(0, T; E_n)$, а из утверждения теорем 2, 4 вытекает устойчивость коэффициентов в пространстве $C(0, \infty; E_n)$.

Замечание 2. Полученные результаты справедливы и для более общей задачи

$$A_0(t)u' + A_1(t)u + A_2(t)u = f(t), u(0) = u_0,$$

где операторы $A_i(t) (i = 0, 1, 2)$ —самосопряженные, положительно определенные в H , а оператор $A_2(t)$ удовлетворяет условию подчинения.

Литература

1. Велиев М. А. ДАН СССР, 157, № 1, 16–19, 1964.
2. Михлин С. Г. Численная реализация вариационных методов. Наука. М., 1966.
3. Ладыженская О. А. Матем. сб., 39, № 4, 491–524, 1956.
4. Ладыженская О. А. Матем. сб., 45, № 2, 123–158, 1958.
5. Велиев М. А. Сиб. матем. ж., 9, № 4, 783–789, 1961.
6. Мамедов Я. Д. Односторонние оценки в условиях исследования решений дифференциальных уравнений в банаховых пространствах. Элм, Баку, 1971.

АГУ им. С. М. Кирова

Поступило 3. VII 1986

М. А. Велиев

ҲИЛБЕРТ ФӘЗАСЫНДА 1 ТӘРТИБ ХӘТТИ ТӘНЛИКЛӘР ҮЧҮН
БУБНОВ-ГАЛЈОРКИН ҮСУЛУНУН ДАЈАНЫГЛЫҒЫНА ДАИР

Нәгиги 1. Ҳилберт фәзасында

$$u' + A_1 u + A_2 u = f(t), u(0) = u_0$$

Коши мәсэлесине бахылдыр. Бурда A_1, A_2 фәзасында төсүр едән хәтти операторларды; A_1 оператору H фәзасында өз-өзүң гошма вә мүсбәт ғылыминдир; $D(A_1^{1/2}) \subseteq D(A_2)$; A_1, A_2 операторлары бағылтыг шәртини өдәйдир, $u_0 \in D(A_1^{1/2})$, $f \in L_2((0, T); H)$.

Қастәрилди, $D(A_1^{1/2})$ чохлукундан көтүрүлмүш координат системи H фәзасында күчлүк минималдырса, онда Бубнов-Галјоркин үсүлүн иктијари сонсуз парча үчүн дајаныглайдыр; $A_1 = 0$ оларса, онда үсүл сонсуз парча үчүн да дајаныглайдыр.

Изтичелдер дәжишән эмсаллы дифференциал тәэликләре көчүрүлдүр.

Р. А. ШАФИЕВ

ОБ L -ПСЕВДООБРАЩЕНИИ

(Представлено академиком АН Азербайджанской ССР Ф. Г. Максудовым)

Обобщение понятия псевдообратного оператора, введенное в работе [1], позволяет синтезировать два направления исследований в теории методов решения некорректных задач, ранее развивавшихся изолированно друг от друга. Одно направление связано с разработкой методов решения операторных уравнений, другое — с методами вычисления значений операторов.

В настоящей работе, ограничиваясь рамками линейных непрерывных операторов и используя геометрический подход, изучается L -псевдообращение и L -псевдообратный оператор, определенные в [1]. Отметим, что близкие вопросы изучались в [2], однако определение L -псевдообратного в этой работе отличается от принятого в [1].

1. Пусть $U \in L(X, Y)$ и X, Y — гильбертовы пространства.

Теорема 1. Уравнение

$$Ux = y \quad (1)$$

имеет единственное нормальное [псевдорешение в том и только в том случае, если $P_{R(U)}^+ y \in R(U)$, т. е. $y \in D(U^+) = R(U) \cap R(U)^\perp$]. При этом $x^* y = U^* y$.

Из теоремы следует, что множество

$$Uy = \{u : u = U^* y + P_{N(U)} x, \forall x \in X\} \quad (2)$$

определяет все псевдорешения уравнения (1).

Псевдообратный оператор имеет следующее представление:

$$U^* y = U_T^{-1} U^* y, y \in D(U^*), \quad (3)$$

где $U_T = TP_{N(U)} + U^* U$ и T — линейный оператор в X . Обратимость U_T вытекает из обратности T на $N(U)$ и условия $R(P_{N(U)}, TP_{N(U)})^\perp = N(U)$, в частности, $P_{N(U)}^* TP_{N(U)} = 0$ (ср. [3] и [4]).

Лемма 1 [4]. Пусть $S = I - \beta U^* U$. S^n сходится к $P_{N(U)}$ тогда и только тогда, когда U — нормально разрешимый и $0 < \beta < 2\|U\|^{-2}$. При этом $\|S^n - P_{N(U)}\| \leq \|\bar{S}\|^n$, где \bar{S} — сужение S на $R(U^*)$. Если A — нормально разрешимый оператор, то имеем (см. [5]):

$$\|A^* - (\omega T + A^* A)^{-1} A^*\| \leq \omega \theta_2 \|A^*\|^2, \quad (4)$$

$$\|(\omega T + A^* A)^{-1} A^*\| \leq \|A^*\|, \quad (5)$$

$$\|(\omega T + A^* A)^{-1}\| \leq (\omega \theta_1)^{-1}, \quad (6)$$

$$\|(\omega T + A^* A)^{-1} A^*\| \leq (2\omega \theta_1)^{-\frac{1}{2}}, \quad (7)$$

где T — самосопряженный оператор в X , удовлетворяющий условиям:

$$\theta_1(x, x) \leq (Tx, x) \leq \theta_2(x, x), 0 < \theta_1 < \theta_2, \quad (8)$$

$$P_{N(U)}^* TR_{N(U)} = 0. \quad (9)$$

В качестве T можно взять оператор S^n , $n \geq 0$, где $0 < \beta < \|U\|^{-2}$.

2. Пусть задан еще оператор $L \in Z(X, Z)$, где Z — гильбертово пространство. Всякое псевдорешение x_{yz} уравнения

$$Lx = z, \quad (10)$$

принадлежащее множеству U_y , называется L -псевдорешением уравнения (1). Если $z = 0$ и $L = I$, то L -псевдорешение является нормальным псевдорешением.

Из теоремы 1 и (2) вытекает

Лемма 2. Условия $y \in R(U) \cap R(U)^\perp$, $z - LU^* y \in R(LP_{N(U)}) \cap R(LP_{N(U)})^\perp$ необходимы и достаточны для существования L -псевдорешений уравнения (1), причем

$$x_{yz} = U^* y + P_{N(U)} [(LP_{N(U)})^+ (z - LU^* y) + P_{N(LP_{N(U)})} x], x \in X. \quad (11)$$

Из (11) следует, что для единственности L -псевдорешения необходимо и достаточно, чтобы

$$P_{N(U)} P_{N(LP_{N(U)})} = 0 \quad (12)$$

Условие (12) равносильно любому из следующих соотношений:

$N(U) \cap \Lambda(L) = \{0\}$; $R((LP_{N(U)})^*) = N(U)$; $R((LP_{N(L)})^*) = N(L)$; $U^* U + L^* L$ — обратим. Из (12) также следует, что оператор $U^* + aL^* L$ обратим при $\forall a \neq 0$.

Теорема 2. L -псевдорешение уравнения (1) существует и единствено тогда и только тогда, когда $y \in D(U^+)$, $z - LU^* y \in D((LP_{N(U)})^+)$ и выполнено условие (12). При этом L -псевдорешение

$$x_{yz} = U^* y + (LP_{N(U)})^+ (z - LU^* y). \quad (13)$$

Теорема 2 в комбинации с предложением о том, что область определения псевдообратного совпадает со всем пространством тогда и только тогда, когда оператор нормально разрешим, позволяет формулировать необходимые и достаточные условия существования и единственности L -псевдорешения при любом y или при любом z , или при любом u и z . Приведем еще такое

Следствие. Если пространства X и Y конечномерны, то условие (12) необходимо и достаточно для существования и единственности L -псевдорешения уравнения (1) при любых $y \in Y$ и $z \in Z$.

Отметим, что оператор $LP_{N(U)}$ нормально разрешим, если пространство X конечномерно; $N(U)$ компактно; оператор L нормально разрешим.

Теорема 3. Элемент $x_0 \in X$ является L -псевдорешением уравнения (1) в том и только в том случае, если x_0 — решение системы уравнений $U^*(Ux - y) = 0$, $P_{N(U)} L^*(Lx - z) = 0$.

Заметим, что теорема 3 обобщает результат из [6], установленный для псевдорешений. В случае нормально разрешимых U и L теорема 3 получена в [7]. В дальнейшем индекс $N(U)$ у ортопроектона $P_{N(U)}$ опустим.

3. Введем в пространстве $G = Y \times Z$ оператор U_L , определенный равенством $U_L x = (Ux, Lx)^T$, где T — знак транспонирования.

Оператор U_L^+ , ставящий $y g = (y, z)^T \in D(U_L^+) \subset G$ в соответствие L -псевдорешение уравнения (1), называется L -псевдообратным к U . Из леммы 2 следует, что $D(U_L^+) = \{g \in G : y \in D(U^+), z = -LU_y \in D((LP)^+)\}$. Очевидно, псевдообратный оператор U^+ можно отождествить с сужением U_L^+ на множество $D(U^+) \times \{0\}$.

Согласно теореме 2 U_L^+ однозначен тогда и только тогда, когда $N(U) \cap N(L) = \{0\}$. Кроме того

$$U_L^+ g = U^+ y + (LP)^+ \{z - LU^+ y\}. \quad (14)$$

В дальнейшем будем рассматривать L -псевдообратный в случае его однозначности. В силу (3), из (14) имеем формулу:

$$\begin{aligned} U_L^+ g &= (TP + U^* U)^{-1} U^* y + (T_1 P^+ + PL^* LP)^{-1} PL^* \{z - L(TP + \\ &\quad + U^* U)^{-1} U^* y\}, \end{aligned}$$

где T и T_1 , вообще говоря, разные обратимые операторы, удовлетворяющие соответственно условиям $R(P^* TP^*) = N(U)^\perp$, $R(PT_1 P) = N(U)$. Ясно, что можно брать $T = T_1$, если подпространства $N(U)$ и $N(U)^\perp$ приводят оператор T и, в частности, $T = T_1 = \tau I$, $\tau \neq 0$.

Рассмотрим следующие методы регуляризации оператора U_L^+ :

$$V_\alpha g = (U^* U + \alpha L^* L)^{-1} (U^* y + \alpha L^* z), \quad (15)$$

$$V^{(n)}(\alpha, \tau) g = (\tau T + U^* U)^{-1} U^* y + (\alpha I + S^n L^* LS^n)^{-1} S^n L^* \{z - L(\tau T + U^* U)^{-1} U^* y\}, \quad (16)$$

где S и T определены в конце п. 1.

4. Прежде всего изучим метод (15). Введем обозначения

$$B = (I - CL) U^+, B_\alpha = (U^* U + \alpha L^* L)^{-1} U^*,$$

$$C = (LP)^+, C_\alpha = \alpha (U^* U + \alpha L^* L)^{-1} L^*, \quad (17)$$

$$M = (U^* U)^{+*}, N = (PL^* LP)^{+*} L^* LP^\perp.$$

Предположим, что выполнены соотношения:

$$LP^\perp x \in D((LP)^+) = R(LP) \cap N(PL^*); \quad (18)$$

$$P^\perp L^* LB_y, P^\perp L^* LB_\alpha y \in R(U^* U), y \in D(U^+); \quad (19)$$

$$P^\perp L^* z \in R(U^* U). \quad (20)$$

Теорема 4. Пусть $y \in D(U^+)$, $z \in D((LP)^+)$ и $g = (y, z)^T$. Если выполнены условия (18)–(20), то тогда

$$\begin{aligned} \|U_L^+ g - V_\alpha g\| &\leq \alpha (\|(I + \alpha ML + N)^{-1} ML(I - N)U^+ y\| + \\ &\quad + \|(I + \alpha ML + N)^{-1} M(LC - I)z\|). \end{aligned} \quad (21)$$

Если условия (18) заменить

$$LP^\perp x \in N(PL^*), \quad (22)$$

то имеет место (21) при $N = 0$. Если же операторы $U^* U$ и $L^* L$ не-рестановочны и выполнено (20), то справедливо неравенство

$$\|U_L^+ g - V_\alpha g\| \leq \alpha (\|MLU^+ y\| + \|M(LC - I)z\|). \quad (23)$$

При $z = 0$ из (23) имеем $\|U^+ y - B_\alpha y\| \leq \alpha \|MLU^+ y\|$, а при $y = 0$ и $L = I - \|Pz - C_\alpha z\| \leq \alpha \|(U^* U)^+ z\|$, $P^\perp z \in R(U^* U)$.

Теорема 5. Пусть U и LP нормально разрешимы. Тогда

$$\begin{aligned} \|U_L^+ - V_\alpha\| &\leq \alpha \sqrt{2} \max \{\|(I + \alpha ML + N)^{-1} ML(I - N)U^+\|, \\ &\quad \|(I + \alpha ML + N)^{-1} M\|\}. \end{aligned} \quad (24)$$

При выполнении условия (22) в неравенстве (24) $N = 0$. Если операторы $U^* U$ и $L^* L$ перестановочны, то

$$\|U_L^+ - V_\alpha\| \leq \alpha \sqrt{2} \max \{\|MLU^+\|, \|M\|\}. \quad (25)$$

В условиях теоремы 5 метод (15) изучался в [7]. Полученная нами оценка более естественна и в частных случаях совпадает с известными. При выполнении условия (22) из (25) следует

$$\|U^+ - B_\alpha\| \leq \alpha \|(I + \alpha ML)^{-1} MLU^+\|, \quad .$$

отсюда при $L = 1$ получается известная оценка метода регуляризации А. Н. Тихонова $\|U^+ - (U^* U + \alpha I)^{-1} U^*\| \leq \alpha \|U^*\|^3$ [8]. Регуляризация U^+ с помощью B_α изучалась в [5] при более сильных ограничениях на оператор $L^* L = T$. Из (25) также имеем $\|P - \alpha(U^* U + \alpha I)^{-1}\| \leq \alpha \|U^+\|^2$.

5. В [7] установлено, что метод (15) устойчив при специальных возмущениях операторов U и L . Здесь мы исследуем метод (16) и установим его устойчивость относительно любых нормально разрешимых возмущений при условии, что величина возмущения согласована с параметрами α , τ и n . Рассмотрим возмущенный метод

$$\begin{aligned} \tilde{V}^{(n)}(\alpha, \tau) g &= (\tau T + \tilde{U}^* \tilde{U})^{-1} \tilde{U}^* y + (\alpha I + \tilde{S}^n \tilde{L}^* \tilde{L} \tilde{S}^n)^{-1} \tilde{S}^n \tilde{L}^* \{z - \\ &\quad - \tilde{L}(\tau T + \tilde{U}^* \tilde{U})^{-1} \tilde{U}^* y\}. \end{aligned} \quad (26)$$

Пусть $\tilde{U} = U + W$, $\tilde{L} = L + \tilde{V}$, причем \tilde{U} и \tilde{L} нормально разрешимы.

Теорема 6. Пусть U и LP нормально разрешимы. Если параметры регуляризации $\alpha = \alpha_n$, $\tau = \tau_n$ выбирать из условий: при $n \rightarrow \infty$ $\alpha \rightarrow 0$, $\tau \rightarrow 0$, $\alpha^{-1} \rightarrow 0$, $(\alpha \sqrt{\tau})^{-1} \|\tilde{S}^n\|^n \rightarrow 0$, то при возмущениях W и V таких, что при $n \rightarrow \infty$ $\|W\| = o(\alpha n^{-1})$, $\|V\| = o(\alpha \sqrt{\tau})$, имеет место сходимость возмущенного метода (26) к U_L^+ .

Действительно, имеем $U_L^+ g - \tilde{V}^{(n)}(\alpha, \tau) g = (I - (LP)^+ L) \{(\tau T + \tilde{U}^* \tilde{U})^{-1} \tilde{U}^* (WU^+ + \tau U^* TU^+) - (\tau T + \tilde{U}^* \tilde{U})^{-1} \tau W^* U^* TU^+ + W^* (I - UU^+)\} y + (\alpha I + \tilde{S}^n \tilde{L}^* \tilde{L} \tilde{S}^n)^{-1} \tilde{S}^n \tilde{L}^* V(\tau T + \tilde{U}^* \tilde{U})^{-1} \tilde{U}^* y + ((\alpha I + \tilde{S}^n \tilde{L}^* \tilde{L} \tilde{S}^n)^{-1} [(\tilde{L} \tilde{S}^n - LP)(LP)^+ + \alpha (LP)^{+*} (LP)^+] - (\alpha I + \tilde{S}^n \tilde{L}^* \tilde{L} \tilde{S}^n)^{-1} [\alpha (\tilde{L} \tilde{S}^n - LP)^* (LP)^{+*} (LP)^+ + (\tilde{L} \tilde{S}^n - LP)^* (I - LP)(LP)^+]) \} \times \{z - L(\tau T + \tilde{U}^* \tilde{U})^{-1} \tilde{U}^* y\}.$

Отсюда, используя оценки (6)–(7), лемму 1 и учитывая неравенство $\|\tilde{L} \tilde{S}^n - LP\| \leq n \beta (\|L\| + \|V\|) (\|\tilde{S}^n\| + 2 \|U\| \|W\| + \|W\|^2) + \|V\|$,

получим

$$\|U_L^+ g - \tilde{V}^{(n)}(\alpha, \tau)g\| \leq \tilde{a}_1^{(n)}(\alpha, \tau)\|y\| + \tilde{a}_2^{(n)}(\alpha, \tau)\|z\|,$$

где

$$\begin{aligned}\tilde{a}_1^{(n)}(\alpha, \tau) &= \sqrt{\tau}(2\theta_1)^{-\frac{1}{2}}\theta_2 a \|U^+\|^2 + n\|W\|\|b\|(LP)^+\|^2 + \\ &+ (n\theta_1)^{-1}\theta_2 a \|U^+\|^2] + n\|W\|\tau^{-\frac{1}{2}}[(n\theta_1)^{-1}a + \sqrt{\tau}(2\theta_1)^{-\frac{1}{2}}b\|L\| + \\ &+ \sqrt{\tau}(n\sqrt{2\theta_1})^{-1}a \|U^+\|] + \sqrt{\alpha\tau^{-1}}(2\theta_1)^{-1}\|L\|(LP)^+\|^2 + \\ &+ n\|W\|\alpha^{-1}b + (\alpha\sqrt{\tau})^{-1}\|\bar{S}\|^n(\|L\| + \|V\|)[\sqrt{\tau} + \\ &+ \alpha(2\theta_1)^{-\frac{1}{2}}\|L\| + \alpha\sqrt{\tau}\|(LP)^+\|^2] + (\alpha\sqrt{\tau})^{-1}\|V\|[\sqrt{\tau} + \\ &+ \sqrt{\alpha}(2\sqrt{\theta_1})^{-1} + \alpha\|L\|(2\theta_1)^{-\frac{1}{2}} + \alpha\sqrt{\tau}\|(LP)^+\|^2], \\ \tilde{a}_2^{(n)}(\alpha, \tau) &= \sqrt{\alpha}2^{-1}\|(LP)^+\|^2 + \alpha^{-1}[n\|W\|b + \|\bar{S}\|^n(\|L\| + \\ &+ \|V\|) + \|V\|](1 + \sqrt{\alpha}2^{-\frac{1}{2}}\|(LP)^+\| + \alpha\|(LP)^+\|^2), \quad a = \|I - \\ &- (LP)^+L\|, \quad b = \beta(\|L\| + \|V\|)(2\|U\| + \|W\|).\end{aligned}$$

Сходимость невозмущенного метода (16) к U_L^+ на самом деле имеет место при $\tau \rightarrow 0$ и при $n \rightarrow \infty$ $\alpha = \alpha_n \rightarrow 0$, $\alpha_n^{-1}\|\bar{S}\|^n \rightarrow 0$. Для этого при оценке нормы разности $U_L^+ - V^{(n)}(\alpha, \tau)$ надо воспользоваться неравенствами (4)–(5).

Литература

- Морозов В. А. «ДАН СССР», т. 233, № 2, 291–294, 1977.
- Мелешко В. И. Препринт. Ин-т кибернетики АН УССР, № 33, 1978.
- Шафиеев Р. А. Депонир. в ВИНИТИ, № 632–78 Деп., 1978.
- Шафиеев Р. А. «ДАН Азерб. ССР», т. 34, № 1, 6–9, 1978.
- Мелешко В. И. «Журн. вычисл. матем. и матем. физ.», т. 17, № 5 1132–1143, 1977.
- Nashed M. Z. In: Nonlinear Functional Analysis and Appl. New York, Acad. Press, 1971, 311–359.
- Мелешко В. И. «ДАН СССР», т. 243, № 3, 576–579, 1978.
- Морозов В. А. «Журн. вычисл. матем. и матем. физ.», т. 9, № 6, 196–203, 1969.
- Шафиеев Р. А. «Изв. АН Азерб. ССР, серия физ.-техн. и матем. наук», № 3, 1980.

Институт математики
и механики

Поступило 20. VI. 1980

Р. Э. Шэфиев

L-ПСЕВДОЧЕВИРМЭЛЭР НАГГЫНДА

Мэгэлэдээ эсас вэ тамамлаячы операторлар хэтти, мэддуд олдугда вэ һилберт фазаларында тэ'сир етдикдэ, L-псевдоһэллэр вэ L-псевдотэрс операторлар өүрнэлийр. L-псевдоһэллэрийн варлыгы вэ јеканэлий, L-псевдотэрс операторуун биргијэтлилийн вэ мэддудлуу үчүн зэрүүри вэ кафи шэртлэр мүэйжэн едилмишдир.

L-псевдотэрс операторуун тэргиби несабланмасы үсуллары арашдырылмыш вэ бу методларын даашиныглылыг мэсэлэлэрине бахылышдыр.

R. A. Shafieev

ON L-PSEUDOINVERSE

L-pseudosolution and L-pseudoinverse operator under the condition that the basic and complementary operators are linearly bounded and act in Hilbert spaces are studied.

Necessary and sufficient conditions of existence and uniqueness of L-pseudoinverse, singlevaluedness and boundedness of L-pseudoinverse operator are established.

Approximate methods of L-pseudoinverse operator calculation are investigated and stability problems of these methods are considered.

АЗЭРБАЙЧАН ССР ЕЛМЛЭР АКАДЕМИЈАСЫНЫН ХЭБЭРЛЭРИ

ДОКЛАДЫ АКАДЕМИИ НАУК АЗЕРБАЙДЖАНСКОЙ ССР

ТОМ XXXVII ЧИЛД

№ 5

1981

УДК 539.384/385

МЕХАНИКА

С. А. КУЛИЕВ

КРУЧЕНИЕ ПРИЗМАТИЧЕСКИХ БРУСЬЕВ С ДВУМЯ КРУГОВЫМИ ПОЛОСТАМИ

(Представлено академиком АН Азербайджанской ССР Ф. Г. Максудовым)

Используя прием, развитый в [2, 5], в настоящей статье мы рассмотрим задачу кручения призматических брусьев, сечение которых является трехсвязной областью, ограниченной извне правильным многоугольником, а изнутри—двумя круговыми полостями.

Нужно отметить, что методы, использованные в этих работах, неприменимы в случае, когда границы области сравнительно близки одна к другой.

Обозначим через S —сечение тела, расположенное в плоскости $z = x + iy$ и его границы соответственно через L_1 , L_2 и L_3 . Начало координат поместим в центре области S . За границу L_3 мы здесь принимаем правильный криволинейный, близкий к прямолинейному, многоугольник, внешность которого отображается на внешность единичного круга в плоскости ξ при помощи функции

$$z = A\left(\xi + \frac{m}{\xi^{q-1}}\right); \quad A = \frac{a+b}{2}; \quad m = \frac{|a-b|}{|a+b|}, \quad (1)$$

где a —радиус окружности, описанной вокруг многоугольника;

b —радиус окружности, вписанной в многоугольник;

q —число осей симметрии.

Радиусы окружностей обозначим через R_1 и R_2 .

Согласно исследованиям Г. В. Колосова и Н. И. Мусхелишвили, определение поля напряжений в области S при указанных условиях, сводится к отысканию функции $F(z)$ комплексного переменного z , регулярной всюду в области S и удовлетворяющей следующим граничным условиям:

$$F(t) + \overline{F(t)} = t\bar{t} + C_1 \text{ на } L_1 \quad (2)$$

$$F(t) + \overline{F(t)} = t\bar{t} + C_2 \text{ на } L_2 \quad (3)$$

$$F(t) + \overline{F(t)} = t\bar{t} + C_3 \text{ на } L_3, \quad (4)$$

где t —аффикс кривой L_j , а C_j —некоторые постоянные. Одну из них, например, C_1 можно взять равной нулю, другие постоянные подлежат определению.

Согласно [2, 5] функцию $F(t)$ представим в виде:

$$F(t) = \sum_{k=1}^{\infty} \lambda_k \cdot \left(\frac{R_1}{t-e_1}\right)^k + \sum_{k=1}^{\infty} \gamma_k \cdot \left(\frac{R_2}{t-e_2}\right)^k + \sum_{k=0}^{\infty} b_k \cdot \omega_k(t), \quad (5)$$

где $\omega_k(t) = \sum_{v_i=k-qE\left(\frac{k}{q}\right)}^{\infty} a_{k-v_i}^{(k)} \cdot \left(\frac{t}{A}\right)^{v_i}$; λ_k , γ_k и b_k — неизвестные коэффициенты.

Звездочка под символом суммы указывает, что индекс v_i при переходе к следующему значению увеличивается на q .

Учитывая (5) в (4), граничное условие на L_3 приводится к виду:

$$\begin{aligned} & \sum_{k=1}^{\infty} \lambda_k \cdot \left(\frac{R_1}{t-e_1}\right)^k + \sum_{k=1}^{\infty} \gamma_k \cdot \left(\frac{R_2}{t-e_2}\right)^k + \sum_{k=1}^{\infty} \lambda_k \cdot \left(\frac{R_1}{\bar{t}-e_1}\right)^k + \sum_{k=1}^{\infty} \gamma_k \cdot \left(\frac{R_2}{\bar{t}-e_2}\right)^k + \\ & + 2b_0 + \sum_{k=1}^{\infty} b_k \sum_{v_i=k-qE\left(\frac{k}{q}\right)}^{\infty} a_{k-v_i}^{(k)} \cdot \left(\frac{t}{A}\right)^{v_i} + \sum_{k=1}^{\infty} b_k \sum_{v_i=k-qE\left(\frac{k}{q}\right)}^{\infty} a_{k-v_i}^{(k)} \cdot \left(\frac{\bar{t}}{A}\right)^{v_i} = \\ & = t\bar{t} + C_3; \end{aligned} \quad (6)$$

$$\text{на } L_3 \text{ имеем } t\bar{t} = A^2 \left(\xi + \frac{m}{\xi^{q-1}}\right) \cdot \left(\xi^{-1} + m\xi^{q-1}\right) = A(1+m^2) + A^2m \times \times (\xi^q + \xi^{-q}); \quad (7)$$

Разлагая в выражении (6) $(t-e_1)$ и $(t-e_2)$ по степеням t , а также учитывая отображающую функцию (1), перейдя от переменной ξ к τ , после несложных выкладок граничное условие на L_3 приводится к виду:

$$\begin{aligned} & \sum_{v=1}^{\infty} \tau^{-v} \cdot \Phi_1(v) + \sum_{v=1}^{\infty} \tau^{-v} \cdot \Phi_2(v) + 2b_0 + \sum_{v=1}^{\infty} \tau^v F_1(v) + \sum_{v=0}^{\infty} \tau^{-v} F_2(v) + \\ & + \sum_{v=1}^{\infty} \tau^v \Phi_1(v) + \sum_{v=1}^{\infty} \tau^v \Phi_2(v) + \sum_{v=1}^{\infty} \tau^{-v} F_1(v) + \sum_{v=0}^{\infty} \tau^v F_2(v) = A^2m(\tau^q + \tau^{-q}) + \\ & + A(1+m^2) + C_3 \text{ на } L_3 \end{aligned} \quad (8)$$

Сравнивая коэффициенты при одинаковых степенях τ , получим следующую систему бесконечных линейных алгебраических уравнений:

$$\Phi_1(v) + \Phi_2(v) + F_1(v) + F_2(v) = A^2m \cdot \varepsilon_1 \quad (9)$$

$$v = 1, 2, \dots, \infty; \varepsilon_1 = \begin{cases} 0 & \text{при } v \neq q \\ 1 & \text{при } v = q \end{cases}$$

Здесь введены обозначения:

$$\Phi_1(v) = \sum_{n=v-qE\left(\frac{v-1}{q}\right)}^{\infty} m^{\frac{v-n}{q}} C_{-n}^{\frac{v-n}{q}} \sum_{k=1}^n (-1)^{n-k} C_{-k}^{n-k} \left(\frac{e_1}{A}\right)^{n-k} \cdot \lambda_k \cdot \left(\frac{R_1}{A}\right)^k;$$

$$\Phi_2(v) = \sum_{n=v-qE\left(\frac{v-1}{q}\right)}^{\infty} m^{\frac{v-n}{q}} C_v^{\frac{v-n}{q}} \sum_{k=1}^n (-1)^{n-k} C_k^{n-k} \cdot \left(\frac{e_2}{A}\right)^{n-k} \cdot \lambda_k \cdot \left(\frac{R_2}{A}\right)^k;$$

$$F_1(v) = \sum_{v_i=v}^{\infty} m^{\frac{v_i-v}{q}} C_{v_i}^{\frac{v_i-v}{q}} \cdot \sum_{k=v_i}^{\infty} b_k a_{k-v_i}^{(k)};$$

$$F_2(v) = \sum_{v_i=\frac{v+\beta}{q-1}+\beta}^{\infty} m^{\frac{v+v_i}{q}} C_{v_i}^{\frac{v+v_i}{q}} \sum_{k=v_i}^{\infty} b_k a_{k-v_i}^{(k)}; \beta = 1, 2, \dots, q-2$$

Теперь, учитывая граничное значение функции $F(t)$ в граничном условии на L_1 , получим:

$$\begin{aligned} & \sum_{k=1}^{\infty} \lambda_k \cdot \left(\frac{R_1}{t-e_1}\right)^k + \sum_{k=1}^{\infty} \gamma_k \cdot \left(\frac{R_2}{t-e_2}\right)^k + 2b_0 + \sum_{k=1}^{\infty} \lambda_k \cdot \left(\frac{R_1}{\bar{t}-e_1}\right)^k + \sum_{k=1}^{\infty} \gamma_k \cdot \left(\frac{R_2}{\bar{t}-e_2}\right)^k + \\ & + \sum_{k=1}^{\infty} b_k \sum_{v_i=k-qE\left(\frac{k}{q}\right)}^{\infty} a_{k-v_i}^{(k)} \cdot \left(\frac{t}{A}\right)^{v_i} + \sum_{k=1}^{\infty} b_k \sum_{v_i=k-qE\left(\frac{k}{q}\right)}^{\infty} a_{k-v_i}^{(k)} \cdot \left(\frac{\bar{t}}{A}\right)^{v_i} = t\bar{t} + C_1 \end{aligned} \quad (10)$$

$$\begin{aligned} \text{на } L_1 \quad & \text{На } L_1 \text{ имеем } t\bar{t} = (e_1 + R_1 e^{i\varphi}) \cdot (e_1 + R_2 e^{-i\varphi}) = e_1 R_1 \cdot \left(\frac{t-e_1}{R_1} + \frac{R_1}{t-e_1}\right) + \\ & + e_1^2 + R_1^2; \end{aligned} \quad (11)$$

Разложив $(t-e_2)$ и t по степеням $(t-e_1)$, после некоторых выкладок, получаем:

$$\begin{aligned} & \sum_{k=1}^{\infty} \lambda_k \cdot \left(\frac{R_1}{t-e_1}\right)^k + \sum_{n=0}^{\infty} \left(\frac{t-e_1}{R_1}\right)^n \cdot S_1(n) + \sum_{n=0}^{\infty} (t-e_1)^n \cdot S_2(n) + 2b_0 + \\ & + \sum_{k=1}^{\infty} \lambda_k \cdot \left(\frac{t-e_1}{R_1}\right)^k + \sum_{n=0}^{\infty} \left(\frac{R_1}{t-e_1}\right)^n \cdot S_1(n) + \sum_{n=0}^{\infty} \left(\frac{R_1^2}{t-e_1}\right)^n \cdot S_2(n) = e_1 R_1 \times \\ & \times \left(\frac{t-e_1}{R_1} + \frac{R_1}{t-e_1}\right) + e_1^2 + R_1^2 \text{ на } L_1 \end{aligned} \quad (12)$$

Сравнивая коэффициенты при одинаковых степенях $(t-e_1)$, получаем следующую систему бесконечных алгебраических уравнений:

$$\lambda_k + S_1(n) + R_1^k \cdot S_2(n) = e_1 R_1 \cdot \varepsilon_2; \quad (13)$$

$$\kappa = 1, 2, \dots, \infty; \varepsilon_2 = \begin{cases} 0 & \text{при } \kappa \neq 1 \\ 1 & \text{при } \kappa = 1 \end{cases}$$

Здесь введены следующие обозначения:

$$S_1(n) = \sum_{k=1}^{\infty} \lambda_k \cdot \frac{R_2^k \cdot R_1^n}{(e_1 - e_2)^{k+n}} \cdot C_{-k}^n;$$

$$S_2(n) = \sum_{v_i=n}^{\infty} A^{-v_i} e_1^{v_i-n} \cdot C_{v_i}^n \cdot \sum_{k=v_i}^{\infty} b_k a_{k-v_i}^{(k)};$$

Аналогично из граничного условия на L_2 получена следующая система бесконечных линейных уравнений

$$S_3(n) + \gamma_k + R_2^n \cdot S_4(n) = e_2 R_2 \cdot \varepsilon_2 \text{ на } L_2 \quad (14)$$

Здесь введены обозначения:

$$S_3(n) = \sum_{k=1}^{\infty} \lambda_k \cdot \frac{R_1^k \cdot R_2^n}{(e_2 - e_1)^{k+n}} \cdot C_{-k}^n;$$

$$S_4(n) = \sum_{v_i=n}^{\infty} A^{-v_i} e_2^{v_i-n} C_{v_i}^n \cdot \sum_{k=v_i}^{\infty} b_k a_{k-v_i}^{(k)};$$

Таким образом, граничные условия (2), (3) и (4) сводятся к решению трех бесконечных систем линейных уравнений (9), (13) и (14). Из этих уравнений удаляются несколько первых уравнений и определяются неизвестные коэффициенты λ_k , γ_k и b_k . После опреде-

ления коэффициентов по формуле (5) определяется регуляризированная функция $F(z)$, а компоненты касательных напряжений по формуле:

$$\tau_{xz} - i\tau_{yz} = i\omega t \cdot [F'(t) - \bar{z}]; \quad (15)$$

Функция $F(z)$ удовлетворяет граничному условию (4) на L_3 с большой степенью точности. В этом наглядно убеждают величины:

$$\Delta \% = \frac{\bar{t}\bar{t} - [F(t) + \bar{F}(t)] + C_3}{\bar{t}\bar{t}} \cdot 100\%, \quad (16)$$

подсчитанные для наиболее характерных точек контура L_3 .

В заключение отметим, что таким же образом может быть рассмотрена плоская задача теории упругости для указанных профилей при некоторых видах нагрузки.

Предложенный метод решения достаточно эффективен и может быть использован в некоторых других сходных задачах механики сплошной среды (задачах запрессовки, в вопросах прочности дисков, изгиба пластинок и т. п.).

Литература

1. Мусхелишвили Н. И. Некоторые основные задачи математической теории упругости. «Наука». М., 1966.
2. Шерман Д. И. «Изв. АН СССР». ОТН, № 7, 969—1951.
3. Амелин Ю. А. Теория упругости. «Высшая школа». М., 1976.
4. Бахтияров И. А. «Изв. АН Азерб. ССР. физ.-техн. и матем. наук», № 4, 1972.
5. Кулиев С. А. «Уч. зап. АзИНЕФТЕХИМ», № 3, 44—48, 1979.
6. Бахтияров И. А., Кулиев С. А.; Касимов П. К. «Уч. зап. АзИНЕФТЕХИМ», № 8, 60—62, 1973.

АЗИСИ

Поступило 26. VI 1980

С. Э. Гулиев

ИКИ ДАИРЭВИ БОШЛУГА МАЛИК ПРИЗМАТИК БРУСЛАРЫН БУРУЛМАСЫ

Мэголадэ ен кэсији үчрабитэли олан призматик брусларын бурулмаг мэсэлэснээ бахылыр.

Брусларын кэсији харичдэн дүзкүн чохбучаглы илэ, дахилдэн икни ики дайрэвийн башылга мөнгүддланаар.

Бу мэсэлэлэр, дикэр мүэллифлэр тээрэфиндэй башга үсулла өврөнлийб. Гејд стмэй тазымдлыг ки, областын сэргээдлэри нисбэтэн бир-бирийн яхьн олдугда бу ишлэрдэ истифадэ олуулан методу тэтгигээ стмэй олмур.

S. A. Kuliev

THE TORSION OF PRISMATIC BEAMS BY TWO CIRCULAR CAVITIES

In the given paper using the method previously developed by the author the torsion problem of prismatic beams the section of which is triply connected domain bounded by a polygon from the outside, but from within—by two circular cavities, is considered.

The similar problems were studied by the other method than that of in this paper by many authors. We must note that the methods used in these papers are non-applicable in the case when the boundaries of a domain are comparatively close to each other.

АЗЭРБАЙЧАН ССР ЕЛМЛЭР АКАДЕМИЯСЫНЫН МЭРҮЗЭЛЭРИ

ДОКЛАДЫ АКАДЕМИИ НАУК АЗЕРБАЙДЖАНСКОЙ ССР

том XXXVII чилд

№ 5

1981

УДК 517. 946

МАТЕМАТИКА

Х. Х. ПАШАЕВ

К РЕШЕНИЮ ОДНОЙ СМЕШАННОЙ ЗАДАЧИ ИЗ ТЕОРИИ КОЛЕБАНИЙ

(Представлено академиком АН Азербайджанской ССР Ф. Г. Максудовым)

Рассматривается поперечное колебание трубы, закрепленной жестко в обоих концах. Математическая формулировка этой задачи имеет следующий вид:

$$b \frac{d^4 u(x, t)}{dx^4} - \frac{\partial}{\partial x} \left(W(x, t) \frac{\partial u}{\partial x} \right) + \frac{\partial^2 u(x, t)}{\partial t^2} = 0, \quad (1)$$

$(x \in (0, 1), t \in (0, T)),$

$$u(0, t) = u(1, t) = u_x(0, t) = u_x(1, t) = 0, \quad (2)$$

$$u(x, 0) = \varphi(x), \quad u_t(x, 0) = 0, \quad (3)$$

где $b > 0$ —постоянная, $W(x, t) > v > 0$ —непрерывная функция по совокупности аргументов.

Рассмотрим последовательность моментов времени $t = kh$ ($k = 0, 1, 2, \dots$). Ради сокращения записи, предположим, что $T/h = m$ есть целое число.

Заменим (1) следующим уравнением

$$b \frac{d^4 u_k(x, t)}{dx^4} - \frac{\partial}{\partial x} \left(W_k(x) \frac{\partial u_k(x, t)}{\partial x} \right) + \frac{\partial^2 u_k(x, t)}{\partial t^2} = 0, \quad (4)$$

где $W_k(x) = W(x, kh)$, ($k=1, 2, \dots, m$)

Границные и начальные условия запишем в виде:

$$\left. \begin{aligned} u_k(0, t) &= u_k(1, t) = 0 \\ \frac{\partial u_k}{\partial x} \Big|_{x=0} &= \frac{\partial u_k}{\partial x} \Big|_{x=1} = 0 \end{aligned} \right\} \quad (5)$$

$$\left. \begin{aligned} u_{k+1}(x, kh) &= u_k(x, kh), \quad \frac{\partial u_{k+1}(x, kh)}{\partial t} = \frac{\partial u_k(x, kh)}{\partial t}, \\ u_1(x, 0) &= \varphi(x), \quad \frac{\partial u_1(x, 0)}{\partial t} = 0 \end{aligned} \right\} \quad (6)$$

На каждом слое задача (4)—(6) однозначно разрешима. Получим для ее решений оценку, не зависящую от h . Для этого умножим (4) на $\frac{\partial u_k}{\partial t}$ и полученное равенство проинтегрируем по области $[0, 1] \times [-(k-1)h, kh]$. Проведя интегрирование по частям в первом и во втором членах левой части и вычислив интеграл по t , получим:

$$\int_0^1 \left[\left(\frac{\partial u_k(x, kh)}{\partial t} \right)^2 + b \left(\frac{\partial^2 u_k(x, kh)}{\partial x^2} \right)^2 + v \left(\frac{\partial u_k(x, kh)}{\partial x} \right)^2 \right] dx \leq$$

$$<\int_0^1 \left[\left(\frac{\partial u(x, kh-h)}{\partial t} \right)^2 + b \left(\frac{\partial^2 u(x, kh-h)}{\partial x^2} \right)^2 + v \left(\frac{\partial u(x, kh-h)}{\partial x} \right)^2 \right] dx$$

Полученное неравенство просуммировав по k в пределах от 1 до какого-либо $n \leq m$ и учитывая (6), получим:

$$\begin{aligned} J_n(n) &\leq \int_0^1 \left[\left(\frac{\partial u_k(x, nh)}{\partial t} \right)^2 + b \left(\frac{\partial^2 u_n(x, nh)}{\partial x^2} \right)^2 + v \left(\frac{\partial u_n(x, nh)}{\partial x} \right)^2 \right] dx \leq \\ &\leq \int_0^1 \left[b \left(\frac{\partial^2 \varphi(x)}{\partial x^2} \right)^2 + v \left(\frac{\partial \varphi(x)}{\partial x} \right)^2 \right] dx \quad (7) \end{aligned}$$

$(n = 0, 1, 2, \dots, m)$

Благодаря этому неравенству можно сделать предельный переход по $h \rightarrow 0$ и доказать, что предельная функция $u(x, t)$ есть обобщенное решение задачи (1) — (3). Для этого обозначим через $u^n(x, t)$ функцию, равную на каждом слое $x \in [0, 1]$, $t \in [(k-1)n, kh]$, $k = 1, 2, \dots$ функции $u_k(x, t)$. Из (7) получим:

$$\left\| \frac{\partial u^n(x, t)}{\partial x} \right\| \leq C; \left\| \frac{\partial u^n(x, t)}{\partial t} \right\| \leq C, \left\| \frac{\partial^2 u^n(x, t)}{\partial x^2} \right\| \leq C \quad (8)$$

Теперь оценим функцию $\|u^n\|$. Дифференцируя равенство

$$\|u^n\|^2 = \int_0^1 [u^n(x, t)]^2 dx$$

по t , пользуясь неравенством Коши—Буняковского и учитывая неравенство (8), получим:

$$2 \|u^n\| \|u^n\|' = 2 \|u^n\| \left\| \frac{\partial u^n}{\partial t} \right\| \leq 2 \sqrt{C} \|u^n\|,$$

т. е. после сокращения на $2 \|u^n\|$,

$$\|u^n\|' \leq \sqrt{C}, \quad t > 0$$

Интегрируя это дифференциальное неравенство, получим

$$\|u^n\| \leq \|u^n\|_0 = \|\varphi\| \quad (9)$$

Благодаря (9) и (8) можно выбрать последовательность $h_e, l=1, 2, \dots$, стремящуюся к нулю, для которой функции $\{u^{h_e}\}$ и их производные $\left\{ \frac{\partial u^{h_e}}{\partial x} \right\}, \left\{ \frac{\partial^2 u^{h_e}}{\partial x^2} \right\}, \left\{ \frac{\partial u^{h_e}}{\partial t} \right\}$ сходятся слабо в L_2 к некоторой функции $u(x, t)$ и ее производным $\frac{\partial u}{\partial x}, \frac{\partial^2 u}{\partial x^2}, \frac{\partial u}{\partial t}$ соответственно. Покажем, что $u(x, t)$ удовлетворяет интегральному тождеству

$$\begin{aligned} &\int_0^1 \int_0^1 \left[b \frac{\partial^2 u(x, t)}{\partial x^2} \frac{\partial^2 \eta(x, t)}{\partial x^2} + W(x, t) \frac{\partial u(x, t)}{\partial x} \frac{\partial \eta(x, t)}{\partial x} - \right. \\ &\quad \left. - \frac{\partial u(x, t)}{\partial t} \frac{\partial \eta(x, t)}{\partial t} \right] dx dt = \int_0^1 \varphi(x) \eta(x, 0) dx, \quad (10) \end{aligned}$$

при любой финитной, достаточно гладкой функции $\eta(x, t)$, и тем самым является обобщенным решением задачи (1) — (3). Для этого

уравнение

$$b \cdot \frac{\partial^4 u^h(x, t)}{\partial x^4} - \frac{\partial}{\partial x} \left(W_k(x) \frac{\partial u^h(x, t)}{\partial x} \right) + \frac{\partial^2 u^h(x, t)}{\partial t^2} = 0$$

умножим на $\eta(x, t)$, полученные равенства проинтегрируем по области $[0, 1] \times [0, T]$:

$$\begin{aligned} &\int_0^T \int_0^1 \left[b \frac{\partial^2 u^h(x, t)}{\partial x^2} + W_k(x) \frac{\partial u^h(x, t)}{\partial x} \frac{\partial \eta(x, t)}{\partial x} - \right. \\ &\quad \left. - \frac{\partial u^h(x, t)}{\partial t} \frac{\partial \eta(x, t)}{\partial t} \right] dx = \int_0^1 \varphi(x) \eta(x, 0) dx \quad (11) \end{aligned}$$

В (11) можно перейти к пределу по подпоследовательности $\{h_e\}$ и убедиться тем самым в том, что предельная для $u^n(x, t)$ функция $u(x, t)$ действительно удовлетворяет тождеству (10).

Литература

1. Ладыжинская О. А., Солонников В. А., Уральцева Н. Н. Линейные и квазилинейные уравнения параболического вида. М.: Наука, 1967.
2. Владимиров В. С. Уравнения математической физики. М.: Наука, 1976.

АПИ им. В. И. Ленина

Поступило 19. I. 1981

Х. Х. ПАШАЕВ

РЭГСЛЭР НЭЗЭРИЛЛЭСИННИН БИР ГАРЫШЫГ МЭСЭЛЭСИННИН НЭЛЛИНЭ ДАИР

Мэгэлэдэх һэр ичүү учу бэркнилмиш боруунуу еннээ рэгслэри өврэншилр. $t = kh$ ($k = 1, 2, \dots$) моментлэри васитосилэ мэсэлэх баихлан област төбөглөрд болцуур вэ бу тэбэгэлээрдэ тохиолдлын эмсэлэ замаандан асылы олмур. Енергетик үсүлла нэллини вэ нэллини төрөмлэрийн нормалары учун болкуудын асылы олмаа гијмэлэр алмыны. Бу гијмэлээр васитосилэ эсас мэсэлэсийн үмүүшлэшийн нэллини варлыгы исбат олнуур.

Kh. Kh. Pashaev

TO THE SOLVING OF A MIXED PROBLEM FROM THE THEORY OF OSCILLATIONS

Mixed problem of transverse oscillation of the pipe firmly fixed both ends is solved here. Considering the sequence of events of time $t_k = kh$ ($k=1, 2, \dots$) sphere is divided into layers. At each layer the coefficient of the equation takes a meaning which does not depend upon time. By means of the energy equation average values and derivatives of the solution which do not depend upon the length of segments are obtained. Using these values the existence of the generalised solution of the problem is proved.

ФИЗИКА ПОЛУПРОВОДНИКОВ

УДК 621.315.592

К. Р. АЛЛАХВЕРДИЕВ, Л. К. ВОДОПЬЯНОВ, Л. В. ГОЛУБЕВ,
Л. Ю. КЕНГЕРЛИНСКИЙ, чл.-корр. Э. Ю. САЛАЕВ, Р. М. САРДАРЛЫ,
А. О. ХАЛИЛОВ

ВЛИЯНИЕ ПРИМЕСИ СЕРЫ НА КОЛЕБАТЕЛЬНЫЙ СПЕКТР МОНОКРИСТАЛЛОВ InSe

Фононный спектр монокристаллов InS исследовался ранее методом комбинационного рассеяния света (КРС) [1], причем полученные результаты нашли объяснение в предположении, что симметрия кристаллической решетки описывается пространственной группой D_{2h}^{12} . Монокристаллы InSe также исследовались ранее как методом ИК-спектроскопии [2], так и методом КРС [1—7]. Однако единого мнения о пространственной группе кристаллической решетки пока нет. Так, авторы [1—3] считают, что InSe кристаллизуется в ромбоздрическую структуру, подобно $\tau\text{-GaS}_2$, описанную пространственной группой G_{3v}^5 . В работе [4] впервые экспериментально наблюдалось низкочастотное колебание с частотой $\omega = 18 \text{ см}^{-1}$, свидетельствующее о существовании гексагональной модификации InSe с двумя слоями в примитивной ячейке. Впоследствии этот факт нашел подтверждение в работах [5—7]. По-видимому, следует считать, что кристаллы существуют в двух модификациях: ромбоздрической и гексагональной, причем в последнем случае в спектрах КРС проявляется низкочастотное межслоевое колебание.

Исследованные нами монокристаллы системы твердых растворов $\text{InSe}_{1-x}\text{S}_x$ ($X = 0; 0,01; 0,05; 0,07; 0,1$) были выращены модифицированным методом Бриджмена и представляли собой параллелипеды размерами $8 \times 5 \times 2 \text{ mm}^3$.

В качестве источника возбуждения спектров КРС использовался YAG-Nd³⁺ лазер непрерывного действия. Спектры регистрировались с разрешением 2 см^{-1} в интервале частот от 10 до 350 см^{-1} на экспериментальной установке, описанной ранее [4]. При введении в кристаллическую решетку InSe атомов серы в спектрах КРС возникает ряд особенностей, которые наиболее отчетливо проявляются в монокристаллах $\text{InSe}_{0,9}\text{S}_{0,1}$. Кроме полос, соответствующих длинноволновым оптическим фононам, в кристаллах InSe с частотами 42, 117, 178 и 227 см^{-1} в КР-спектре монокристалла $\text{InSe}_{0,9}\text{S}_{0,1}$, были обнаружены полосы с частотами 99, 188 и 222 см^{-1} . Для выяснения природы новых полос были проведены поляризационные измерения. При этом для обозначения геометрии опыта использовались стандартные обозначения, где оси X и Y лежат в плоскости слоя, а ось Z перпендикулярна слоем. Вид поляризационных спектров, записанных в геометриях $Y(XY)^x Z$, $X(Zz)^x Y$, представлен на рисунке. Их ана-

лиз позволяет сделать вывод, что колебания с частотами 99 и 188 см^{-1} имеют симметрию A-типа, а колебания с частотой 222 см^{-1} — E-типа. Измерение температурной зависимости интенсивности полос КРС в интервале 300—77 K показало, что все наблюдаемые полосы соответствуют рассеянию первого порядка.

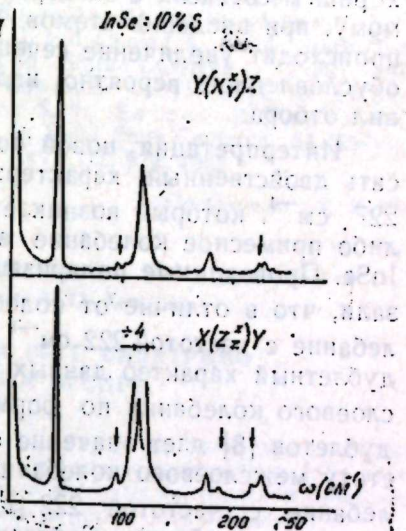
Наиболее характерной особенностью спектров КРС, представленных на рисунке, является отсутствие низкочастотного межслоевого колебания при геометрии рассеяния $Y(XY)^x Z$. Это объясняется тем, что при введении атомов серы в кристаллическую решетку InSe происходит разупорядочение в подсистеме атомов халькогена. А так как для соединений типа A^3B^6 частота межслоевого колебания определяется силой взаимодействия атомов халькогена друг с другом [8], то исчезновение межслоевого колебания при относительно небольшом количестве примеси ($X = 0,05—0,1$) свидетельствует о его неустойчивости при нарушении кристаллической структуры. Аналогичную картину наблюдали авторы [3, 9, 10] при исследовании колебательных спектров систем твердых растворов на основе слоистых соединений. По-видимому, исчезновение межслоевого колебания в системах $\text{GaSe}_{1-x}\text{Te}_x$ [10] и $\text{InSe}_{1-x}\text{S}_x$ связано с происходящим в кристаллической решетке структурным преобразованием, при котором примитивная ячейка содержит один слой (случай InS и CaTe), а не два (InSe и GaSe).

Обобщая результаты исследования КРС в системах твердых растворов $\text{GaSe}_{1-x}\text{S}_x$ [9], а также наши результаты по системе $\text{GaSe}_{1-x}\text{Te}_x$ [10], удалось интерпретировать полосу с частотой 99 см^{-1} как колебание, обусловленное образованием в кристаллической решетке твердых растворов кластеров атомов селена. Полагая, что при этом колебании происходит смещение атомов Se друг относительно друга в направлении оси Z, была оценена константа взаимодействия $f(\text{Se—Se})$

$$f = (2\pi c\omega)^2 \times \mu = 2,3 \cdot 10^4 \frac{\text{дин}}{\text{см}}$$

где μ — приведенная масса атомов селена.

Сравнивая полученное значение с величинами сил связи, рассчитанными для InSe в рамках модели линейной цепочки [1], и учитывая, что колебание имеет симметрию A типа, видим, что полученное нами значение f в 2,5 раза больше величины константы $C_6 = 0,9 \times 10^{44} \frac{\text{дин}}{\text{см}^6}$.



Спектры КРС монокристалла $\text{InSe}_{0,9}\text{S}_{0,1}$ при различных геометриях рассеяния

соответствующей взаимодействию атомов Se—Se в кристаллах InSe. Этот результат свидетельствует о существенном нарушении структуры кристаллической решетки твердых растворов $InSe_{1-x}S_x$, а следовательно, возможном нарушении правил отбора для процесса КРС. В КР-спектрах кристаллов $InSe_{1-x}S_x$ было обнаружено колебание с частотой 188 cm^{-1} . Так как это колебание проявляется в спектрах при

геометрии рассеяния $X^{(x)}(Zz)Y$, в которой активны A (TO) фононы, а частота его близка к значению $\omega = 186 \text{ cm}^{-1}$, рассчитанному в [1,5] для фононов A (TO), то естественно было связать наблюдаемую полосу с колебанием данного типа. Такое соотношение находится в хорошем согласии с экспериментальными результатами [3]. По-видимому, при введении атомов серы в кристаллическую решетку InSe происходит увеличение сечения КРС на фононах с симметрией A (TO), обусловленное, вероятно, индуцированным примесью нарушением правил отбора.

Интерпретация новой полосы с частотой 222 cm^{-1} может носить двойственный характер: это может быть либо дублет $222 - 227 \text{ cm}^{-1}$, который возникает за счет межслоевого взаимодействия, либо примесное колебание атомов серы в кристаллической решетке InSe. Проведенные поляризационные измерения (см. рисунок) показали, что в отличие от колебания A-типа с частотой 227 cm^{-1} , колебание с частотой 222 cm^{-1} имеет симметрию E-типа, что отрицает дублетный характер данных полос. Кроме того, оценка частоты межслоевого колебания по формуле $\omega_L = (\omega_2 - \omega_1)^2$, где ω_1 и ω_2 — частоты дублетов [8] дает значение $\omega = 47 \text{ cm}^{-1}$, что намного превышает частоту межслоевого колебания в кристаллах InSe [4—7]. Поэтому колебание с частотой 222 cm^{-1} следует, очевидно, отнести к примесному колебанию. Согласно [1] валентное колебание In—S с частотой 222 cm^{-1} в кристаллах InS имеет симметрию B_{3d} и поляризовано в плоскости слоя, что эквивалентно колебаниям E-типа в кристаллах InSe. Полагая, что природа этого колебания соответствует колебанию кристаллической решетки InSe с частотой 178 cm^{-1} и учитывая, что $f = \rho \omega^2$, можно оценить силу связи атомов InSe (S):

$$f(\text{In—Se}) / f(\text{In—S}) \approx 1.2$$

Так как сила связи внутри слоя в In—S меньше, чем в InSe, то отсюда понятно, почему анизотропия сил связи, а следовательно и слоистый характер, в кристаллах InS менее выражена, чем в InSe хотя при росте кристаллов системы твердых растворов ориентация слоев, очевидно, сохраняется.

Появление в спектрах КРС примесного колебания свидетельствует о двухмодовом характере зависимости частоты валентных колебаний от состава в системе твердых растворов $InSe_{1-x}S_x$. Следует отметить, что в системах твердых растворов на основе слоистых кристаллов чаще всего реализуется смешанный одно- и двухмодовый характер зависимости частот оптических фононов от состава. Так, для низкочастотных межслоевых колебаний зависимость, как правило, одномодовая, в то время как высокочастотных валентных колебаний, при которых происходит смещение близлежащих атомов друг относительно друга, наблюдается как одномодовый, так и двухмодовый тип за-

висимости. Причем, для валентных колебаний вполне применим [3,10] априорный массовый критерий, предложенный в [11].

По-видимому, система $InSe_{1-x}S_x$ проявляет именно смешанный тип зависимости, однако, для уточнения этого факта представляет интерес исследовать кристаллы InSe с примесью атомов селена.

Литература

1. Faradev F. F., Gasanly N. M., Mavrin B. N., Melnik N. N. Phys. Stat. Sol. (b), 85, 381, 1978.
2. Gasanly N. M., Yavakov, B. M., Tagirov V. I., Gasanly N. M., Goncharov A. F., Djavakov B. M., Melnyk I. N. FTT, 21, 1572, 1979.
3. Vodop'yanov L., Golubev L. V., Alekseenko Yu. A., Alakhverdiev K. R., Salaev E. Yu. FTT, 20, 2803, 1978.
4. Jandl and Co smo Sagar, Solid State Commun., 25, 5—8, 1978.
5. Kuroda N. and Nishina Y. Solid State Commun., 28, 439—443, 1978.
6. Carbone C. and Jandl S. Solid State Commun., 29, 31—33, 1979.
7. Weiting T. J. Solid State Commun., 12, 931, 1973.
8. Mercier, Voitchovsky J. P. Solid State Commun., 14, 757, 1974.
9. Abdul-M. M., Vodop'yanov L. K. and Golubev L. V. Solid State Commun., 34, 125—128, 1978.
10. Chang J. F. and Mitra S. S. Phys. Rev., 172, 924, 1968.

Институт физики

Поступило 15. X 1980

К. Р. Аллахвердиев, Л. К. Водоп'янов, Л. В. Голубев, Л. У. Кенгерлинский, Е. Я. Салаев, Р. М. Сардарлы, А. О. Халилов

InSe МОНОКРИСТАЛЛАРЫНЫН РЭГС СПЕКТРИНЭ КҮКҮРД ГАРЫШЫҒЫНЫН ТӘСИРИ

Күкүрд атомлары гарышыглы индium селенидин лајлы кристалларында ишығын комбинасион сәпәләмәсінин полјарланыш спектрләри тәддиг өдилмишdir. InSe кристаллик гәфесинэ күкүрд атомлары эләве өдилмәсінә элагәдар комбинасион сәпәләмә спектрләриндә жарыныш жени золагларын тәбиғи мұзакира өдилмишdir.

K. R. Allakhverdiev, L. V. Vodopyanov, L. V. Golubev, L. Yu. Kengerlinsky, E. Yu. Salaev, R. M. Sardarly, A.-O. Khalilov

THE INFLUENCE OF SULPHUR IMPURITY ON VIBRATIONAL SPECTRUM OF InSe MONOCRYSTALS

The polarized Raman spectra of impurity-doped layered InSe crystals have been investigated.

The nature of the new bands in the Raman spectra related to including of sulphur atoms to the lattice of InSe is discussed.

Акад. Г. Б. АБДУЛЛАЕВ, Н. З. ДЖАЛИЛОВ, Н. Т. ГАСАНОВ,
С. И. МЕХТИЕВА, С. А. АБАСОВ, ЭЛЬМИРА ДЖАЛАЛ КЫзы

ТЕМПЕРАТУРНО-СИЛОВАЯ ЗАВИСИМОСТЬ ДОЛГОВЕЧНОСТИ МОНОКРИСТАЛЛОВ ГЕКСАГОНАЛЬНОГО СЕЛЕНА

Исследование зависимости прочности твердых тел от температуры и времени воздействия на них нагрузки позволяет выявить кинетический характер механического разрушения, получить данные, характеризующие структурные особенности исследуемого материала.

Температурно-силовая зависимость долговечности твердых тел различной природы изучалась авторами работ [1—8]. Показано, что время разрыва под нагрузкой, т. е. долговечность испытуемого образца τ , разрывное напряжение σ и абсолютная температура T связаны следующим соотношением:

$$\tau = \tau_0 e^{\frac{U_0 - T}{RT}}, \quad (1)$$

где τ_0 является универсальной постоянной для твердых тел и совпадает с периодом собственных колебаний атомов в твердом теле, U_0 определяется природой химической связи тела, а коэффициент τ — структурой материала. В [6,9] показана общность закономерности временной и температурной зависимости прочности как для сложных по структуре и составу материалов, так и для материалов, имеющих более простое строение.

Как известно [10], аморфный селен состоит в основном из восьмичленных колец и сильно деформированных цепочек, которые могут содержать до тысячи и более атомов. Существует также предположение, что аморфный селен состоит из замкнутых колец, одна треть которых содержит восемь, а остальные значительно большее число атомов.

Гексагональный селен является термодинамически самой устойчивой модификацией и все аллотропные формы селена со временем переходят в гексагональную. Кристаллическая решетка селена состоит из параллельных спиральных цепочек атомов. Атомы в каждой цепочке тесно связаны ковалентными силами, тогда как между цепочками связь осуществляется значительно более слабыми молекулярными силами.

Следует отметить, что кинетика механического разрушения в случае аморфного селена изучена в [5]. Однако работы по изучению кинетики механического разрушения в монокристаллах селена отсутствуют, тогда как данный вопрос представляет интерес, исходя из их структурных особенностей.

Целью данной работы являлось изучение температурно-силовой зависимости долговечности монокристаллов гексагонального селена.

Долговечность образцов в случае одноосного растяжения вдоль оси "С" при различных напряжениях и температурах измерялась на разрывной установке, обеспечивающей постоянство напряжения [3,4]. При испытании каждого образца температура поддерживалась постоянной.

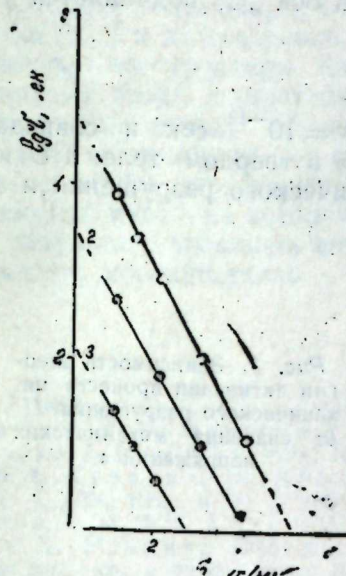


Рис. 1. Температурно-силовая зависимость долговечности для монокристаллов селена: 1—20; 2—50; 3—95°C.

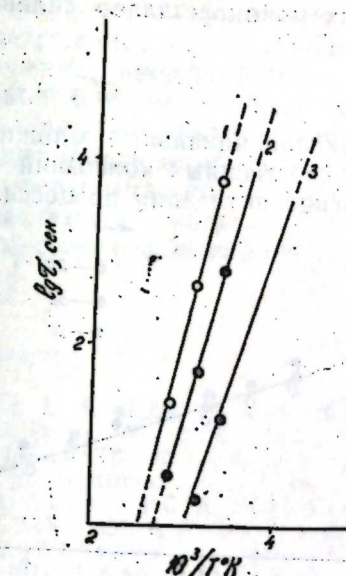


Рис. 2. Температурная зависимость долговечности монокристаллов селена: 1—20; 2—50; 3—95°C.

Монокристаллы селена выращены из паровой фазы [11]. Образцы имели структуру гексагональной модификации с параметрами решетки $a = 4,362 \text{ \AA}$ и $c = 4,942 \text{ \AA}$. Длина образцов составляла 10 мм, толщина варьировалась от 0,2 до 0,6 мм.

На рис. 1 представлены результаты определения долговечности монокристаллов селена в зависимости от напряжения при температурах 20, 50, 95°C. Как видно, зависимость $\lg \tau$ от растягивающего напряжения σ при каждой температуре испытания является линейной. Прямые временной зависимости прочности в полулогарифмических координатах $\lg \tau$ от σ при различных температурах образуют веер и при экстраполяции в сторону малых значений времени и больших значений механического напряжения пересекаются в одной точке — полюсе при $\lg \tau_0 = -12$.

На рис. 2 показана зависимость долговечности от обратной температуры при различных механических напряжениях. Эти графики построены на основе данных рис. 1. На рис. 2 наблюдается линейная зависимость $\lg \tau$ от $1/T$ и прямые, соответствующие разным напряжениям, при экстраполяции в сторону меньших значений $\frac{1}{T}$ также сходятся в одной точке — полюсе $\lg \tau_0 = -12$. Здесь следует отметить, что точка пересечения прямых в координатах $\lg \tau$ от $\frac{1}{T}$ (рис. 2) лежит на линии с одинаковым углом наклона к линии постоянной напряжения.

жит на оси ординат, т. е. не происходит так называемое, смещение полюса". Как известно, смещение полюса для металлов и ряда полимеров [3,4] также не наблюдалось. Однако для некоторых полимеров и в случае аморфного селена смещение полюса имеет место [5,12].

Из рис. 2 следует, что температурная зависимость долговечности игольчатых монокристаллов селена вдоль оси "С" подчиняется уравнению:

$$\tau = \tau_0 e^{\frac{U}{KT}}, \quad (2)$$

где предэкспоненциальный множитель $\tau = 10^{-12}$ сек и совпадает с периодом собственных колебаний атомов в твердом теле, а U является энергией активации процесса механического разрушения и зависит от напряжения.



Рис. 3. Зависимость энергии активации процесса механического разрушения U от значения механических напряжений σ .

сит от растягивающего напряжения. Величина U вычисляется из наклона прямых на рис. 2 для каждого значения σ и характеризует высоту энергетического барьера, а также определяет скорость разрушения твердого тела.

На рис. 3 представлена зависимость U от σ . С ростом значения напряжения σ величина U линейно падает, т. е. зависимость U от σ подчиняется уравнению $U = U_0 - \gamma\sigma$ (3), где U_0 — максимальное значение энергетического барьера до приложения к телу механического напряжения, а γ характеризует наклон прямой, выражаемый уравнением (3). Таким образом было установлено, что общая закономерность температурно-временной зависимости прочности в виде (1) справедлива и для монокристалла гексагонального селена.

На основе данных рис. 3 были вычислены значения $U = 23$ ккал/моль и $\gamma = 1,45$ ккал/моль·мм²/кг. В случае аморфного селена для этих величин получены следующие значения: $U_0 = 32,5$ ккал/моль; $\gamma = 2$ ккал/моль·мм²/кг [5].

Низкое значение структурно-чувствительного коэффициента в случае монокристаллов селена указывает на большую совершенность структуры. Кроме этого в монокристаллах селена получается низкое значение и для U_0 , что приводит к малому значению прочности. Прочность вещества связана с конфигурацией расположения его атомов. Монокристаллы гексагонального селена вдоль оси "С" состоят из параллельно встроенных цепей. Как уже было отмечено, между атомами вдоль цепей действует ковалентная связь, а связь между атомами соседних цепей — вандервальсовая. При растяжении вдоль оси "С" разрывается ковалентная связь между атомами вдоль цепей.

Однако как показывают полученные результаты, значение U_0 не совпадает со значением энергии связи между атомами в селене, что имеет место и в других материалах [5—8]. Последнее объясняется влиянием конфигурации расположения атомов в твердом теле на энергию связи между ними [13].

Отличие в значениях U_0 для аморфного и монокристаллического селена (32,5 и 23 ккал/моль, соответственно) следует связать с особенностью их структуры. Как отмечалось, аморфный селен состоит из замкнутых колец и разорванных цепей в незначительном количестве. Разрыв связи между атомами в случае аморфного селена при его растяжении, по-видимому, происходит между атомами вдоль цепочек. Однако, чтобы это происходило, первоначально требуется разрыв замкнутых цепей, на который затрачивается добавочное напряжение и в результате прочность аморфного селена оказывается больше, чем прочность монокристалла.

Литература

- Журков С. Н., Нарзуллаев Б. Н. ЖТФ, 23, 1677, 1953.
- Журков С. Н., Томашевский Э. Е. ЖТФ, 25, 66, 1955.
- Журков С. Н., Санфирова Т. П. «ДАН СССР», 101, 237, 1955; ЖТФ, 28, 1719, 1958; ФТТ, 2, 1033, 1960.
- Журков С. Н., Аббасов С. А. Высокомол. соед., 3, 441, 1961; 3, 450, 1961; 4, 1704, 1962; ФТТ, 4, 2184, 1962.
- Аббасов С. А., Кулиев Б. Б., Халилов Х. М. ФТТ, 7, 153, 1965; ФТТ, 7, 1860, 1965.
- Аббасов С. А., Алиева М. Х., Эльмира Джалаал кызы, Аббасов Т. Ф. «Изв. АН Азерб. ССР», серия физ.-техн. и матем. науки, № 4 21, 1971.
- Аббасов С. А., Алиева М. Х., Эльмира Джалаал кызы. «ДАН Азерб. ССР», т. 27, № 8, 11, 1972.
- Аббасов С. А., Алиева М. Х., Эльмира Джалаал кызы. «Изв. АН Азерб. ССР», серия физ.-техн. и матем. науки, № 1, 13, 1978.
- Журков С. Н., Бетехин В. И., Бахтибаев А. Н. ФТТ, 11, 690, 1969.
- Карлов Р., Рове Т. А., Авербах В. Z. Phys. Rev., 168, 1068, 1968.
- Алиев Г. М., Джалилов Н. З., Ларинкина Л. С. Изв. АН Азерб. ССР, № 4, 1964.
- Журков С. Н., Регель В. Р., Санфирова Т. П. «Высокомол. соед.», 6, 1092, 1964.
- Губайдилов А. И., Чевычелов А. Д. ФТТ, 5, 91, 1963.

Институт физики

Поступило 18. XI 1980

Б. Б. Абдуллаев, Н. З. Чэлилов, Н. Т. Йесенов С. И. Мендиев, С. А. Аббасов, Ельмира Чэлал гызы

ГЕКСОГОНАЛ СЕЛЕН-МОНОКРИСТАЛЛАРЫНЫН ІАШАМА МУДДЭТИНИН ТЕМПЕРАТУР-ЗАМАН АСЫЛЫЛЫГЫ

Мэгалауда гексагонал селен-монокристалларынын йашама мүддэтинин температур-заман асылышының тәндиги олунмуш вә мүэллән едилшишdir ки, мөйкәмлијин температур-заман асылышының $(1/T)$ -дән асылышын координатында хәтләрин кәсишмә нөгтәси ординат оху үзәрнәдә јерләшир, јәни гүтб сурушмоси баш вермир. Механики дагылмамын. U активләшмә енергисинин, кәркинилини гијметиндең асылышының $U = U_0 - \gamma T$ тәнниже эсасында $U_0 = 23$ ккал/моль аморф селен учун 32,5 ккал/моль вә $\gamma = 1,45$ ккал/моль·мм²/кг (аморф селен учун 2 ккал/моль·мм²/кг) гијметләри неслаблышыдир. Аморф вә монокристал селен учун U_0 вә γ -нын гијметләриндәки фәрг онларын гурулуш хүсусијәтләриндәки фәрглә элагләндирilmишdir.

G. B. Abdullayev, N. Z. Djalilov, N. T. Gasanov, S. I. Mekhtiyeva,
S. A. Abbasov, Elmira Djalal kyzы

TEMPERATURE-STRENGTH DEPENDENCE OF HEXAGONAL SELENIUM
SINGLE CRYSTAL LIFETIME

An investigation is made of temperature-strength dependence of hexagonal selenium single crystal lifetime. It is established that the general rule of temperature-time dependence of strength is also valid for selenium single crystals, and the intersection point of the straight lines in the co-ordinates $\lg t$ from $(1/T)$ lies on the co-ordinate axis, i. e. no "band displacement" is observed. On the base of mechanical destruction activation energy dependence on stress the values $U_0=23$ kcal/mol (for amorphous selenium 32.5 kcal/mol) and $\gamma=1.45$ kcal/mol·mm²/kg (for amorphous selenium 2 kcal/mol·mm²/kg) have been estimated from the equation $U=U_0-\gamma\sigma$.

The difference in the values of U_0 and γ for amorphous and monocrystalline selenium is associated with the peculiarities of their structure.

АЗЭРБАЙЧАН ССР ЕЛМЛЮР АКАДЕМИЯСЫНЫН МӘРҮЗӘЛӘРИ

ДОКЛАДЫ АКАДЕМИИ НАУК АЗЕРБАЙДЖАНСКОЙ ССР

ТОМ XXXVII ЧИЛД

№ 5

1981

УДК 591.1.04.843

БИОФИЗИКА

Акад. Г. Б. АБДУЛЛАЕВ, Г. Г. ГАСАНОВ, Э. М. КУЛНЕВА,
А. И. ДЖАФАРОВ, В. В. ПЕРЕЛЫГИН

О ДЕЙСТВИИ СЕЛЕНА НА ЭЛЕКТРОРЕТИНОГРАММУ
ИЗОЛИРОВАННОЙ СЕТЧАТКИ ХОЛОДНОКРОВНЫХ
ЖИВОТНЫХ

Исследованиями последних лет показано, что высказываемые ранее гипотезы о возможном участии селена в функциях световосприятия [1, 2] имеют под собой реальную основу, так как в хронических опытах на кроликах, получивших селен, действительно имеет место факт значительного повышения амплитуды ЭРГ [3, 4, 5], что, безусловно, свидетельствует о возрастании световой чувствительности фоторецепторного аппарата.

Анализ цитированного экспериментального материала не позволяет пока сделать какое-либо конкретное заключение о механизме описанного явления, однако обсуждение закономерностей этого феномена может быть полезным для определения тактики дальнейшего научного поиска. Узловым моментом является решение вопроса о месте приложения действия селена в фоторецепторной системе. Использование радиоактивного изотопа селена в виде селениита натрия (Na_2SeO_3) в дозе, которая обычно применяется для повышения ЭРГ на определенную величину, дало возможность определить локализацию в различных анатомо-морфологических частях глаза кролика в целом [4].

Наибольшее его количество отмечалось в пигментно-хориоидальном комплексе, а наименьшее — в нейрональных слоях сетчатки. Подобный характер локализации мог бы обуславливать первичность действия селена в области рецепторной клетки, скорее ее наружного сегмента, чем в области нейрональных компонентов сетчатки в целом.

Это предположение подтверждается опытами, в которых была сделана попытка отдифференцировать фотоэлектрическую реакцию сетчатки (ЭРГ) от состояния возбудимости ее биполярных нейронов посредством прямого возбуждения их электрическим током [6]. Оказалось, что ответ биполяров на электрическое раздражение не меняется при введении в организм селена. Аналогичные данные были получены при изучении закономерностей генерации и проведения потенциалов действия в изолированных нервах теплокровных и холоднокровных животных в условиях действия селена [7], который практически не влиял при концентрациях, дающих повышение ЭРГ, на эти процессы.

Еще одно свидетельство в пользу того, что селен влияет на ранние стадии первичного акта рецепции получено в экспериментах, где показано увеличение, в ответ на введение селена, амплитуды R_2 компонента раннего рецепторного потенциала, формирующегося непо-

средственно в системе фоторецепторных мембран наружных сегментов [8].

Очевидно, что дальнейшим шагом было бы экспериментирование на сетчатках, изолированных от организма, так как такой подход, помимо других известных преимуществ, позволит уточнить, необходимо ли для проявления эффектов селена участие целостного организма, его специфических органов, где селен мог бы трансформироваться в эндогенные соединения, обладающие специфической активностью. Такая попытка была предпринята в опытах на сетчатках лягушек, не извлеченных из глазного бокала и при этом было показано [9], что селен не только не повышает ЭРГ, но и, наоборот, ускоряет его падение. Следует отметить, что подобный препарат сетчатки, находящийся в атмосфере комнатного воздуха, а не кислорода, быстро отмирает и, очевидно, на фоне прогрессивного падения функций сетчатки будет затруднительно интерпретировать характер действия селена. Выходом из положения в данном случае, может быть использование сетчатки, извлеченной из глазного бокала и помещенной в специальную перфузционную систему, с применением насыщенного кислородом перфузата, содержащего все необходимые для нормальной жизнедеятельности ионы. Согласно многочисленным данным [10] сетчатки как холоднокровных, так и теплокровных животных функционируют в подобных условиях часами.

В задачу настоящего исследования входило изучение действия различных соединений селена на параметры волны ЭРГ сетчаток, полностью выделенных из глазного бокала и помещенных в специальные условия, гарантирующие поддержание жизнеспособности в течение времени эксперимента.

МЕТОДИКА

Сетчатки лягушек (*Rana ridibunda*), адаптированных к темноте не менее 2-х часов, извлекались из глазных бокалов специальным хирургическим приемом при слабом красном освещении. Приготовленный препарат располагался на фильтровальной бумаге рецепторной частью вниз и укладывался в специальную проточную камеру с двумя отводящими платиновыми электродами, объемом 0,5 мл. Через сетчатку перфузировался раствор Рингера для холоднокровных ($\text{pH}=7,2$) ($\text{NaCl}=0,65\%$, $\text{KCl}=0,014\%$, $\text{CaCl}_2=0,012\%$, $\text{NaHCO}_3=0,020\%$). Скорость перфузии регулировалась, а контроль осуществлялся по скорости истечения капель из проточной камеры. В системе предусмотрена возможность контроля и стабилизации температуры. Поддержание параметров ЭРГ в неизменном виде в течение 60 мин эксперимента достигалось насыщением перфузионного раствора кислородом. Электроретинограмма регистрировалась с помощью усилителя биопотенциалов УБП-02 и фотографировалась с экрана осциллографа С1-18. Второй луч использовался для подачи отметки светового раздражения с помощью фотоэлемента, расположенного рядом с сетчаткой. Световое раздражение осуществлялось с помощью фотостимулятора с ксеноновой лампой, дающей вспышки с энергией от 0,005 до 0,19 дж. Свет фокусировался на светопровод камеры оптической системой. Длительность вспышки порядка 150 μ сек.

Селен применялся в основном в виде водорастворимого соединения селениита натрия (Na_2SeO_3), добавляемого к раствору Рингера в концентрации от 0,1 до 0,01%.

Все опыты проводились при $22 \pm 0,5^\circ\text{C}$.

РЕЗУЛЬТАТЫ И ИХ ОБСУЖДЕНИЕ

ЭРГ, полученная от изолированных сетчаток лягушек в условиях пропускания раствора Рингера, насыщенного кислородом, имела обычные компоненты а- и в-волны, на последней часто встречались осцилляции в количестве до 6 пиков. При увеличении скорости развертки наблюдается отчетливо разделение а-волны ЭРГ, на два компонента: а₁- и а₂-волны, что, по-видимому, соответствует дистальному и проксиимальному элементам компонентам Ри_{II}, наблюдавшего различными авторами [11,12]. Характерно, что при малой яркости вспышки (0,005 дж) отчетливо выделяется лишь а₂-волну, а с увеличением яркости (0,025—0,05 дж) повышается амплитуда а₁-волны, в то время как амплитуда а₂-волны как бы насыщается (рис. 1).

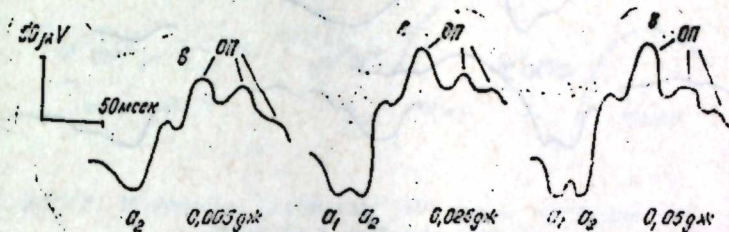


Рис. 1. Зависимость амплитуды отдельных волн ЭРГ от яркости вспышки ОП—осцилляторные потенциалы; а₁—волну ЭРГ

Очевидно, а₂-волну отражает работу скотоптических систем, а а₁-фотоптических, что соответствует представлениям, развиваемым многими авторами.

Специальные опыты подтвердили, что параметры ЭРГ в условиях проведения эксперимента остаются стабильными в течение всего времени эксперимента (60 мин). При добавлении к перфузионной жидкости селениита натрия в концентрации 0,1%, которая по данным [9] приводит к быстрому подавлению ЭРГ, мы, в отличие от указанных авторов, наблюдали всегда первоначальное увеличение как а-, так и в-волны ЭРГ, которые по истечении некоторого времени действительно уменьшались. Вместе с тем, при прогрессивном падении в-волны, а-волну долгое время остается увеличенной (рис. 2). Примечательно, что наряду с подавлением в-волны ЭРГ исчезает а₂-волну, которая, как известно, в большей степени подвержена действию токсических веществ, чем дистальный компонент а₁. Фактически, после действия указанной концентрации селениита натрия нами получен в чистом виде Р компонент, амплитуда которого выше в данном случае, чем а-волну в контролльном эксперименте.

При действии на сетчатку 0,05%-ного раствора селениита натрия также отмечено начальное повышение амплитуды волны ЭРГ, однако, последующее падение амплитуды в-волны, хотя имеет место, но проекает медленнее, чем в первом случае.

Концентрация селенита натрия 0,01% видимых сдвигов в параметрах отдельных волн ЭРГ практически не вызывает.

Таким образом, действие селена в концентрациях 0,1%, согласно полученному экспериментальному материалу, сводится к первоначальному повышению а- и в-воли ЭРГ с последующим падением в-волны до полного превращения фотоэлектрического потенциала в компонент Р_{III}. Следовательно, речь идет о двух процессах: повышение чувствительности сетчатки, с одной стороны, и блокада, вследствие токсического влияния системы рецептор-синапс, приводящая к формированию Р_{III}. Снижение концентрации селена вдвое (0,05%) способствует повышению амплитуды ЭРГ, но токсический эффект становится несколько менее заметным.

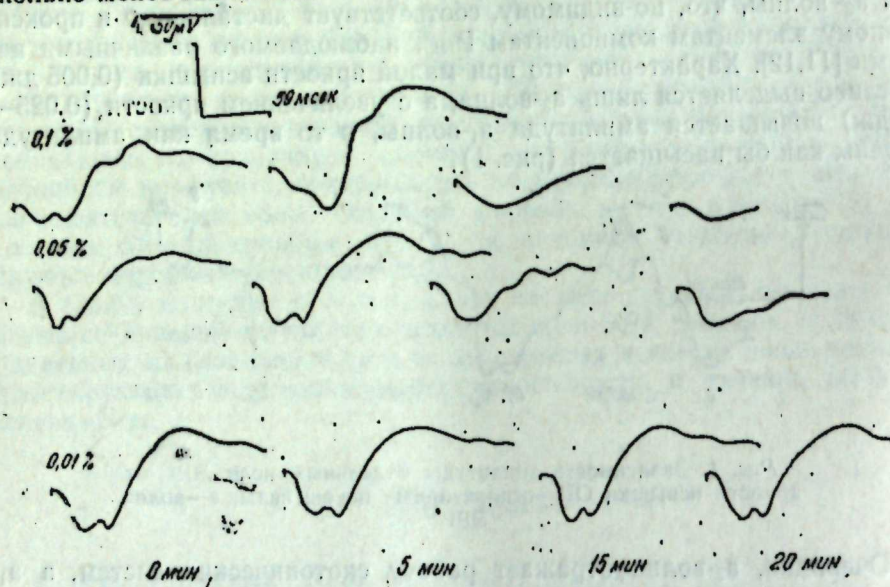


Рис. 2. Влияние различных концентраций селенита натрия на параметры ЭРГ в условиях одной яркости испытуемой (0,05дк)

Способность селенита натрия повышать световую чувствительность изолированных сетчаток, указывает в первую очередь на неизбежность включения его в сложные метаболические циклы, свойственные целостному организму.

В данном случае, очевидно, его воздействие на сетчатку в виде неорганического аниона SeO₃³⁻. Отсюда уместно предположить, что может ли селен оказывать влияние на ионные механизмы генерации фотопотенциалов в зрительной системе. Согласно гипотезе Хеггинса [13], которую в последнее время поддерживают многие исследователи [14, 15 и др.] на роль медиатора, блокирующего ток Na⁺ в наружных сегментах претендуют ионы Ca⁺⁺. Показано, что уменьшение (Ca⁺⁺) во внеклеточной среде приводит к значительному возрастанию фотоответа сетчатки [3, 14, 15 и др.]. При воспроизведении этих экспериментов мы наблюдали снижение (Ca⁺⁺) в растворе Рингера с 10⁻³ до 10⁻⁴ М и увеличение амплитуды всех волн ЭРГ (рис. 3). Примечательно, что в этих условиях исчезали осцилляторные потенциалы и увеличивалась длительность протекания отдельных фаз ЭРГ. Следует отметить, что

чем ниже (Ca⁺⁺) в растворе Рингера, тем быстрее наступает последующее падение ЭРГ. Получив стабильную в течение 20 мин ЭРГ, после снижения (Ca⁺⁺) до 10⁻⁴ М, мы не смогли последующим действием селенита натрия (0,1%) вызвать обычное в таких случаях повышение амплитуды ЭРГ. Полученный факт не поддается ввиду скучности

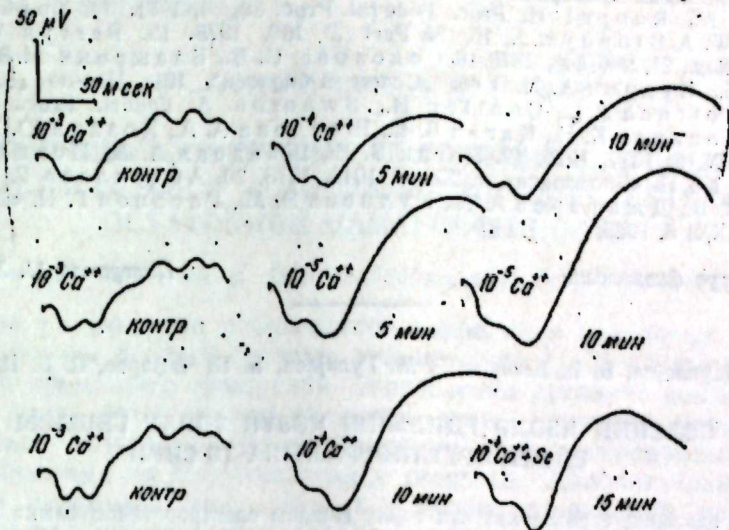


Рис. 3. Изменение амплитуды ЭРГ после снижения концентрации в растворе Рингера

экспериментального материала однозначной трактовке, однако можно предположить, что регуляция амплитуды ЭРГ могла бы определяться взаимоотношением катионов Ca⁺⁺ и анионов SeO₃³⁻, последние могли бы быть более эффективными, чем анионы SC₃⁻ из-за большого радиуса иона. Еще одним фактом, который свидетельствует в пользу предположения о наличии определенных взаимоотношений между Ca⁺⁺ и SeO₃³⁻, могут служить данные о нормализующем действии селенита натрия при гиперкальциемии, вызванной Д-гипервитаминозом [16].

Вместе с тем, развивающиеся представления не исключают возможности участия селена в условиях целостного организма как важного фактора в глутатионпероксидазной системе инактивации липидных перекисей [17], роль которых в работе фоторецепторных мембран в последнее время активно обсуждается [18, 19, 20].

Литература

1. Абдуллаев Г. Б. Электронные полупроводники и их применение. 43. Баку, 1952.
2. Sirgen M. J. The Instrument I., 11, 3, 1964.
3. Абдуллаев Г. Б., Гаджиева И. А., Гасанов Г. Г., Оболенская Л. В. «ДАН Азерб. ССР», т. XXVII, 10, 19, 1971.
4. Абдуллаев Г. Б., Гаджиева И. А., Гасанов Г. Г., Джабаров А. И., Перельгин В. В. Селен и зрение. Изд-во «Элм», Баку, 1972.
5. Шостак В. И., Бахарев В. Д., Бочарова М. А. В Сб: «Селен в биологии», т. 71, 32. Изд-во «Элм», Баку, 1976.
6. Абдуллаев Г. Б., Султаналиев Н. С., Гаджиева И. А. В сб. «Селен в биологии», 23. Изд-во «Элм», Баку, 1974.
7. Абдуллаев Г. Б., Перельгин В. В., Алиева Л. А., Джабаров А. И., Кольс О. Р., Федоров Г. Е. В сб. «Селен в биологии», 32. Изд-во «Элм», 1974.
8. Абдуллаев Г. Б., Гаджиева И. А., Жерстенник В. З., Дмитриенко А. И. В сб. «Селен в биологии», 35. Изд-во «Элм», 1974.

9. Сулейманов Н. С., Гаджиева Н. А. В сб. «Селен в биологии», т. 1, 24: Баку, 1976. 10. Küspeler G., Pflüg A., Sichel W., Vaagelsoen E. Pflüg Archiv., 263, 566, 1956. 11. Ханич Р. Мат-лы II Симпозиума по физиологии сенсорных систем. «Физиология зрения», 29, Л., 1973. 12. Богословский А. И., Жданов В. К., Ковалчук Н. А., Мильдажене Г. Б., Семеновская Е. Н., Шалишина А. М., Шубина Н. В., Щербатова О. И. Мат-лы II Симпозиума по физиологии сенсорных систем. «Физиология системы», 27, Л., 1973. 13. Hagnins W. A., Ruppel H. Proc. Federat. Proc., 30, 64, 1971. 14. Yoshikami J. Hagnins W. A. Biophys. J., 15, № Part 2' 169, 1975. 15. Barrus Winkler. Exp. Eye Res., 21, № 6, 546, 1975. 16. Соколова С. В., Блажевич Н. В., Спириничев В. Б., Курдюн А. Н. В сб. «Селен в биологии», 101. Изд-во «Элм», Баку, 1976. 17. Rotgush J. L., Gantler H., Swanson A. Federt. Proc., 31, p. 691, 1973. 18. Новиков К. Н., Кааган В. Е., Шведова А. А., Козлов Ю. П. «Биофизика», т. XX, 6, 1039, 1975. 19. Кааган В. Е., Шведова А. А., Новиков К. Н., Козлов Ю. П. «Биофизика», т. XX, 6, 1043, 1975. 20. Абдуллаев Г. В., Перельгин В. В., Джараров А. И., Кулиева Э. М., Гасанов Г. И. «ДАН Азерб. ССР», т. XXXI 6, 1975.

Институт физиологии

Поступило 11. XI 1980

Н. Б. Абдуллаев, И. Н. Йесенов, Е. М. Гулиева, И. И. Чәфәров, В. В. Перельгин

СЕЛЕНИН ИЗОЛЭ ЕДИЛМИШ КӨЗҮН ТОРЛУ ГИШАСЫ ЕЛЕКТРОРЕТИНОГРАМЫНА ТӘСИРИ

Изолэ едилмиш гурбага көзүнүн торлу гишасы электроретинограммына (ЕРГ) натриум селенинин тәсіри єрәнилмишdir. Мүәжжән едилмишdir ки, натриум селенинин 0,1—0,05%-ли мәнделүллары изола едилмиш торлу гишасынын ишыға һәссаслығыны артырып, 0,1%-ли мәнделүлүн эффектлилији гысамуддәтгидир ки, бу да натриум селенинин токсиги тәсіри илә әлагәдардыр. Натриум селенинин концентрасијасынын 0,05%-э гәдәр взалдымасы ЕРГ амплитудасынын узун мүддәттүн артмасына сәбәп олур.

Алынмыш иетичаләрә эсасен форз етмек олар ки, натриум селенинин тәсіри илә көзүн торлу гишасынын ишыға һәссаслығының артмасы фоторесепторларда електрик фәллалығынын ион механизминин дәжишмәсі илә әлагәдардыр.

G. B. Abdullaev, G. G. Gasanov, E. M. Kulieva, A. I. Jafarov,
B. B. Perelygin

ON THE SELENIUM ACTION ON ELECTRORETINOGRAM OF ISOLATED RETINA OF FROGS

This study deals with the action of sodium selenite on ERG of frogs' isolated retina.

It is established that sodium selenite in doses of 0.1—0.05% increases photosensitivity of isolated retina. However, the effect is a short-term one with the concentration of 0.1%, and it is connected with the toxicit of sodium selenite. A reduce of its concentration promotes an enhance of ERG amplitude for a long period of time. Probably, an injection of sodium selenite increases photosensitivity of isolated retina due to ionic mechanisms of generation of photopotentials.

АЗӘРБАЙЧАН ССР ЕЛМЛӘР АКАДЕМИЈАСЫНЫН МӘРҮЗӘЛӘРИ

ДОКЛАДЫ АКАДЕМИИ НАУК АЗЕРБАЙДЖАНСКОЙ ССР

ТОМ XXXVII ЧИЛД

№ 5

1981

УДК 552.5.02 : (519.2 : 550.382.3)

ГЕОФИЗИКА

Т. А. ИСМАИЛ-ЗАДЕ, А. М. РУТМАН

КОРРЕЛЯЦИЯ ОСАДОЧНЫХ ОТЛОЖЕНИЙ С ПОМОЩЬЮ СТАТИСТИЧЕСКОГО АНАЛИЗА ВЕКТОРОВ ЕСТЕСТВЕННОЙ ОСТАТОЧНОЙ НАМАГНИЧЕННОСТИ

(Представлено академиком АН Азербайджанской ССР Г. А. Ахмедовым)

Метод расчленения и возрастной корреляции осадочных толщ по палеомагнитным данным основан, как известно [1, 2] на выявлении и сравнении временных изменений направления древнего земного магнитного поля, которые определяются путем изучения направлений естественной остаточной намагниченности в ориентированных образцах, отобранных из сопоставляемых разрезов. Дополнительные возможности палеомагнитного метода с целью корреляции осадочных отложений открываются при статистическом анализе векторов естественной остаточной намагниченности.

Как показал Фишер [4], наилучшей оценкой среднего направления векторов, является направление их векторной суммы. При этом плотность распределения N векторов вокруг результирующей R характеризуется кучностью $K = \frac{N-1}{N-R}$ (1). Более удобной характеристикой при изучении распределения векторов являются угловая дисперсия S^2 и среднеквадратичное угловое отклонение S , подобные таким же характеристикам в математической статистике скалярных величин [3]. Зная дисперсию векторов естественной остаточной намагниченности относительно их среднего в выборке и дисперсию векторов J_n относительно средних направлений в других выборках, их можно использовать для дисперсионного анализа палеомагнитных данных.

На основании отношений угловых дисперсий векторов J_n двух выборок можно проверить, происходят ли они из единой генеральной совокупности, а также степень различия направлений двух выборок.

Критерии для проверки гипотезы о равенстве дисперсий основаны на F -распределении Фишера. Это теоретическое распределение отношения двух выборочных дисперсий: S_2^2/S_1^2 , где S_2^2 — большая дисперсия.

Вполне естественно, что выборочные дисперсии в случае, когда число наблюдений, используемое для их вычисления мало, меняются от испытания к испытанию в довольно широком диапазоне. Поэтому вид F -распределения изменяется с изменением объема выборки. Это заставляет нас учитывать степени свободы v_1, v_2 , каждая из которых соответствует одной из двух дисперсий F -отношения. Число степеней свободы — это разность между числом наблюдений в выборке и числом параметров, которые нужно оценить по выборочным данным.

Если R —модуль результирующих единичных векторов, то как показал Ларошель [5], выражение $\frac{2(N-R)}{N-1} = \frac{2}{K}$ будет иметь $2(N-1)$ степеней свободы, и тогда при вычислении отношения дисперсий для сравнения их по критерию Фишера, нужно использовать именно это число степеней свободы.

Если средние результирующие направления нескольких выборок не различаются между собой статистически существенно, то можно рассматривать всю совокупность векторов как составную часть одной общей выборки, дисперсия которой $S^2 = \frac{2}{K}$ (2), где K —кучность, вычисленная по N -векторам [3, 5].

Площадь	Свита, палеомагнитная зона	Угловая дисперсия векторов		$F_{\text{выч}} = \frac{S_2^2}{S_1^2}$	Число точек		$F_{0,05}$ табл.
		S_1^2	S_2^2		N_1	N_2	
Зигильпирин Кейреки Зигильпирин	КС КС КС	0,105	0,125	1,19	92	43	1,38
Балаханская свита	НКП, КС	0,21	0,38	1,81	42	70	1,42
Бабазанан	$N_2 R_2$	0,30	0,250	2,38	92	15	1,52
Бабазанан	$N_1 N_2$	0,24	0,30	2,53	92	24	1,45
Бабазанан	$N_1 R_1$	0,24	0,65	1,25	23	92	1,52
Аташка	$R_2 R_1$	0,54	0,80	2,71	23	10	1,81
Каламадын	$N_2 R_2$	0,43	0,84	1,48	29	9	2,16
				1,95	43	25	1,59

Сущность предлагаемого способа корреляции осадочных толщ состоит в том, что векторы естественной остаточной намагниченности геологических объектов в той или иной степени рассеяны относительно среднего направления, за которое принимают направление результирующего вектора R . Причем, степени этого рассеяния для одновозрастных и разновозрастных пород связаны определенными соотношениями, на основании которых можно проводить идентификацию отложений осадочных пород по возрасту для любых стратиграфических подразделений: пласт, ярус, свита, и просто для каких-то интервалов геологического разреза.

В качестве объекта опробования предлагаемого способа выбраны отложения продуктивной толщи ряда нефтегазоносных площадей Азербайджана.

Выбор геологических объектов для методических палеомагнитных исследований соответствует установленным в [1] условиям:

а) объект представляет собой мощную терригенную толщу, сложенную нормальными осадочными породами с отсутствием признаков метаморфизации и других вторичных изменений.

б) основные объекты изучения надежно привязаны к общепринятой стратиграфической шкале.

в) объекты палеомагнитных исследований располагаются в нефтегазоносных районах и, более того, в пределах нефтегазоносных толщ.

г) районы и объекты палеомагнитных исследований выбраны так

что позволяют выяснить возможность региональной и межрегиональной палеомагнитной корреляции разрезов, для чего одновозрастные отложения изучены как в пределах одного бассейна, так и в разных бассейнах (Апшеронский полуостров и Прикуринская низменность).

д) осадочные толщи достаточно полно представляют значительные отрезки стратиграфической шкалы.

В таблице проведено сопоставление угловых дисперсий векторов для отложения осадочных пород продуктивной толщи по Апшеронскому полуострову и Прикуринской низменности. Причем сопоставлялись как разноменные свиты в пределах одной площади, так и одноименные свиты соседних площадей. Сопоставлялись также палеомагнитные зоны одного знака ($N_1, N_2, K_1 R_2$) и зоны разного знака ($N_1 R_1, N_2 R_2$).

Предлагаемый способ реализуется следующим образом. По общепринятой методике палеомагнитных исследований [1] определяют величину и направления результирующих векторов естественной остаточной намагниченности, которые соответствуют направлению магнитного поля Земли в эпоху формирования изучаемых отложений. Определяются по формулам (1 и 2) степени углового рассеяния (угловые дисперсии) единичных векторов относительно результирующих векторов для каждого интервала (свиты или зоны) из сопоставляемых отложений. Вычисляется отношение S_2^2/S_1^2 , где S_2^2, S_1^2 —угловые дисперсии векторов сопоставляемых геологических объектов, причем S_2^2 —большая дисперсия. Находятся степени свободы $v_1 = 2(N_1 - 1)$ и $v_2 = 2(N_2 - 1)$, где N_1, N_2 —число единичных векторов в каждом из сопоставляемых объектов. Находят табличные (критические) значения F -критерия Фишера при соответствующем уровне значимости (мы брали 5%-ный уровень значимости) и числе степеней свободы.

Нулевая гипотеза утверждает, что изучаемые палеомагнитные выборки имеют равные угловые дисперсии единичных векторов относительно их результирующей, множество альтернатив говарит, что это не так.

Если вычисленное значение критерия $F_{\text{выч}}$ превышает табличное, то нулевая гипотеза отвергается и мы приходим к заключению, что дисперсии в двух выборках неодинаковы. Если вычисленное значение критерия F меньше табличного, то мы не можем утверждать, что дисперсии различны и на основании этого вносим суждение о том, что сопоставляемые выборки векторов естественной остаточной намагниченности происходят из единой генеральной совокупности, т. е. сопоставляемые геологические объекты одновозрастны.

Как видно из таблицы, средние направления векторов одновозрастных отложений и зон одного знака существенно (по критерию F) между собой не различаются ($F_{\text{выч}} < F_{\text{табл}}$).

Тогда как разновозрастные свиты и зоны разного знака характеризуются статистически существенно различающимися угловыми дисперсиями ($F_{\text{выч}} > F_{\text{табл}}$).

Предложенный способ позволяет оперативно идентифицировать отложения осадочных пород по возрасту для любых интервалов сопоставляемых геологических разрезов на основе статистического анализа угловых дисперсий векторов естественной остаточной намагниченности.

Литература

1. Храмов А. Н., Шолпо Л. Е. „Палеомагнетизм“. Изд-во „Недра“, 1967.
2. Палеомагнитные стратиграфические исследования. Труды ВНИГРИ, вып. 204, 1963.
3. Исмаил-Заде Т. А. Рутман А. М. ДАН Азерб. ССР, № 6, 1977.
4. Fisher R. „Dispersion on a sphere“. Proceeding Royal Society. London, No. 217, 1953.
5. Larochele A. „Further consideration on certain statistical methods in Paleomagnetism“. Geol. surv. Canada paper, 1967, No. 67—26.

Научный центр „Геофизика“

Поступило 4. VII 1980

Т. Э. Исмаильзаде, А. М. Рутман

ТЭБИИ ГАЛЫГ МАГНИТЛЭНМЭ ВЕКТОРУНУН СТАТИСТИК АНАЛИЗИННИН КОМЭЖИЛЭ ЧӨКМЭ СУХУРЛАРЫНЫН КОРРЕЛЯСИЯСЫ

Мэгэлэдэ чөкмэ сухурларын коррелясија усулуун тэбии галыг магнитлэнмэ векторунуи булаг дисперсијасынын анализ эсасында өврэннилмэснэдэн бэхс олуулур.

Чөкмэ сухурларын мугајисэ дэгиглиүнн артырмаг мэгсэдилэ, тэбии галыг магнитлэнмэ векторунуи дисперсијасы тэ'жин едилр, мугајисэ олуулан чөкмэ векторларыны нисби иэтгэчээр, көстэрэйр. Бу дисперсијаларын мүнласибэтлэрни, Фишер критеријасы илэ бу мүнласибэтлэрни мүхтэлифлији тэ'жин едилр вэ мүхтэлифлијин мүсбэт бөյүклүүнэ көрэ мугајисэ олуулан чекүнтүлэрни һэмжашлыгы мүнакимэсн тэ'жин едилр.

Бу усул бөйүк дэгигликлэ чөкмэ сухурларынын кэсиклэриний јашына көрэ идентификацијасын кечирмэжэ имкан верир.

T. A. Ismail-Zade, A. M. Rutman

THE CORRELATION OF SEDIMENTARY FORMATIONS BY STATISTIC ANALYSIS OF THE VECTORS OF NRM

The paper deals with the essence of the method of correlation of sedimentary formations by analyses of angular dispersions of the vectors of NRM.

The dispersions of the unitary vectors of NRM concerning their resultant vectors determine to increase the detailization comparisons of the formations of sedimentary rocks.

The relationship of these dispersions and difference between the Fisher criterion and this relationship are determined. The positive quantity of difference tells that the compared formations are of the same age.

This method allows quickly and with great detailing to carry out the identification of sedimentary rocks according to their age.

АЗЭРБАЙЧАН ССР ЕЛМЛЭР АКАДЕМИЈАСЫНЫН МЭРҮЗЭЛЭРИ

ДОКЛАДЫ АКАДЕМИИ НАУК АЗЕРБАЙДЖАНСКОЙ ССР

ТОМ XXXVII ЧИЛД

№ 5

1981

УДК 678.742.2(004.69):541:539.2

ХИМИЯ ПОЛИМЕРОВ

Р. М. АЛИГУЛИЕВ, Г. М. АЛИЕВ, Д. М. ХИТЕЕВА,
Ф. А. АХУНДОВА, А. А. МАМЕДОВ

О ГРАНИЦАХ ПРИМЕНИМОСТИ АНАЛИТИЧЕСКИХ ЗАВИСИМОСТЕЙ „НАПРЯЖЕНИЕ—ДЕФОРМАЦИЯ“ ДЛЯ ТЕРМОЭЛАСТОПЛАСТОВ

(Представлено академиком АН Азербайджанской ССР Т. Н. Шахтахтинским)

Арсенал высокомолекулярных соединений сравнительно недавно пополнился новым классом полимерных материалов—термоэластопластами (ТЭП), которые замечательны тем, что обладают свойствами резин без дополнительной стадии структурирования [5]. Ценные технологические и физико-механические свойства ТЭП позволяют им играть все более важную роль в ассортименте применяемых на практике материалов. Поэтому задача всестороннего изучения механических свойств термоэластопластов приобретает особую актуальность.

Исследованию поведения ТЭП в силовом механическом поле посвящено много работ [2, 4, 7, 8, 11]. Однако во всех указанных работах при изучении физико-механических свойств не проводится анализ зависимости „напряжение—деформация“, что заметно снижает их информационную ценность, так как приведенные диаграммы носят иллюстративный характер, а теоретические рассуждения опираются на общие логические принципы. Затруднения, с которыми сталкиваются исследователи в этом вопросе, зависят от того, что характеристики „напряжение—деформация“ часто не укладываются в теорию для объяснения экспериментальных результатов, особенно при высоких степенях деформирования. Поэтому представляло несомненный научный и практический интерес проанализировать различные методы, направленные на создание теоретических количественных зависимостей между нагрузкой и деформацией в применении к термоэластопластам.

Испытанию подвергались термоэластопласты, полученные на основе полиэтилена среднего давления (ПЭСД) и этилен-пропилен-диено-вого эластомера (СКЭПТ) по методике [1]. Химический состав ТЭП варьировали при помощи соотношения эластомер—термопласт. Морфология смесей исследовалась с помощью электронного микроскопа. Установлено, что эластомер представляет собой дисперсионную фазу, а термопласт диспергирован в виде сферических доменов размерами 3—4 мкм. Образцы для испытаний готовились прессованием при удельном давлении 7 мПа и температуре 463°К с последующим охлаждением. Из полученных пластин толщиной 1 мм вырубались образцы в соответствии с ГОСТом 270-64. Одноосное растяжение образцов проводили на разрывной машине типа ZM-40 с постоянной скоростью 0,1 см/мин. На рис. 1 представлена типичная кривая зависимости напряжения σ от деформации λ для исследуемых полиолефиновых ТЭП. В процессе деформации термоэластопластов „жесткие“ домены вы-

полняют функцию поперечных связей и активного „аполнителя“, что делает механическое поведение этого материала сходным с резинами, относящимися к классу эластичных структурированных материалов. Следует также отметить, σ -образный ход кривых $\sigma-\lambda$ наблюдается почти для всех типов резин, особенно при высоких степенях деформации [12]. Впервые зависимость между напряжением и деформацией для идеальных эластичных матриц была проанализирована Куном, Марком и Гутом [9], получившая следующую зависимость:

$$f = E(\lambda - \lambda^{-2}), \quad (1)$$

где f —напряжение, рассчитанное на сечение недеформированного образца; λ —степень растяжения; E —модуль эластичности. Широкое распространение для описания зависимостей типа „ $\sigma-\lambda$ “ получило также

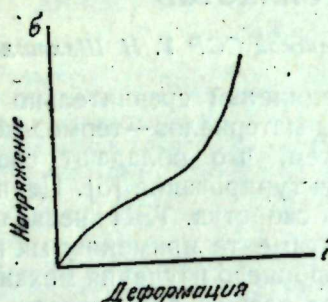


Рис. 1. Схематическое изображение поведения эластомеров при одноосном растяжении

уравнение Муни—Ривлина, отличающееся от предыдущего наличием дополнительных членов:

$$f = (2C_1 + 2C_2/\lambda)(\lambda - \lambda^{-2}), \quad (2)$$

где C_1 и C_2 —константы эластичности, причем величина C_1 отождествляется с величиной E в уравнении (1). Уравнение (2) лучше соглашается с экспериментальными данными и часто применяется исследователями при изучении деформационных свойств эластичных материалов. Однако приведенное ранее [3] сопоставление уравнений (1) и (2) с поведением реальных полимерных материалов показало, что совпадение экспериментальных данных с теоретическими наблюдается лишь в ограниченном интервале деформации. Для более удовлетворительного описания поведения реальных эластичных полимерных систем многими авторами были предложены различные уравнения. Так Бланшаром и Паркинсоном [6] была предложена следующая формула:

$$\sigma = 1,62G(1 - \lambda^{-3}) \exp[0,31(\alpha - 1) + \mu(\alpha - 1)^4], \quad (3)$$

где G —мера числа поперечных связей в вулканизате, μ —эмпирическая константа.

На основании большого экспериментального материала Мартин, Рот и Стилер вывели следующее соотношение, которое, как считается, удовлетворительно описывает экспериментальные данные для резин на основе НК [10]:

$$f = E(\lambda^{-1} - \lambda^{-2}) \exp[A(1 - \alpha^{-2})], \quad (4)$$

где A —эмпирическая константа.

Исследования деформационных свойств структурированных ненаполненных и наполненных эластичных полимерных систем при одно-

основном растяжении были проведены А. М. Расуловым [12]. В результате этих исследований предложена следующая формула, которая удовлетворительно описывала количественные зависимости „напряжение—деформация“ для резин на основе эластомеров различной химической природы:

$$f = E_{\min}(\lambda - \lambda^{-2}) \exp \frac{(\lambda_m - \lambda)^2}{4\lambda_m - 3}, \quad (5)$$

где E_{\min} и λ_m —рассматриваются как основные параметры для любого эластомера. Численное значение этих параметров определяется графически по экспериментальным данным зависимости $f/\lambda - \lambda^{-2}$ от λ и $f/\lambda - \lambda^2$ от λ^{-1} , при этом параметр E_{\min} разделяется на две составляющие:

$$E_{\min} = 2C_1 + \frac{1}{\lambda_m} C_2,$$

где $\frac{1}{\lambda_m}$ принимается за меру структурных изменений при деформации.

При значении $\lambda_m = \lambda$ уравнение (5) переходит в (2).

Кроме перечисленных методов оценки зависимостей „напряжение—деформация“ имеются также работы, основанные на других предпосылках [9], однако они не объясняют характер одноосного растяжения, а использованные эмпирические формулы содержат константы, лишенные физического смысла. Поэтому нами не использовались сравнения экспериментальных данных с теоретическими для термоэластопластов с высоким содержанием полиэтилена среднего давления (рис. 2, а) ПЭСД (70 масс. ч. на 100 масс. ч. СКЭПТ). Из рисунка видно, что экспериментальные данные близки к значениям, полученным по формуле (5), вплоть до разрывных значений деформаций. Кривая, вытекающая из формулы (3) в области значений $3 \div 5$ для λ , лежит выше экспериментальных значений, а при деформациях, близких к разрывной, не предсказывает резкого увеличения прочности. Уравнение (4) дает более правильную качественную картину „ $\sigma-\lambda$ “, однако недостаточную для определения количественных зависимостей.

Снижение „жесткой“ фазы (40 масс. ч. ПЭСД на 100 масс. ч. эластомера) в составе ТЭП приводит к аналогичным зависимостям для одноосновного растяжения (рис. 2, б). Улучшение совпадения предсказанных характеристик с экспериментальными данными наблюдается для уравнения (4) при деформации ТЭП с низким содержанием ПЭСД (20 масс. ч. на 100 масс. ч. СКЭПТ). Кривая, предсказанная формулой (3), лежит выше экспериментальных данных, а в области разрывных значений деформация ниже. Уравнение (5) и здесь достаточно хорошо описывает ход экспериментальной кривой (рис. 2, в). Таким образом, из всех рассмотренных формул для описания зависимостей „напряжение—деформация“ наиболее удовлетворительным является уравнение (5).

Так как физические и механические свойства гетерогенных полимерных систем существенно зависят от типа и величины межфазных взаимодействий, то представляло интерес определить энергию межфазных связей при помощи формулы (5). Так, при уменьшении значения E_{\min} при повторных циклах деформации до получения воспроизводимой „квазиравновесной“ кривой можно записать:

$$\Delta N = \frac{E_{\min} - E_{\min \text{ равн}}}{2kT}, \quad (6)$$

где ΔN —среднее число разорванных связей. С другой стороны, при изотермической деформации первичного и "равновесного" растяжения до заданного удлинения $2\lambda_m$ можно определить разность работы:

$$A_1 = E_{min} \int_{\lambda=1}^{\lambda=\lambda_m} (\lambda - \lambda^{-2}) \exp \frac{(\lambda_m - \lambda)^2}{4\lambda_m - 3} d\lambda \approx 3,3 E_{min} (\lambda_m - 1), \quad (7)$$

тогда

$$\Delta A = A_1 - A_{равн.} \approx 3,3 (\lambda_m^2 - 1) (E_{min} - E_{min \text{ равн.}}) \quad (8)$$



Рис. 2. Зависимости "напряжение—деформация" для термоэластопластов с различным содержанием "жесткой" фазы: а—70 мас. ч.; б—40 мас. ч.; в—20 мас. ч. ПЭВП на 100 мас. частей СКЭПТа: 1—формула Расурова (5); 2—формула Бланшара—Паркинсона (3); 3—формула Мартина—Рота—Стилера (4). О—экспериментальные данные; кривые—расчет по формулам.

Среднее значение энергии межфазных взаимодействий "q" определяется по формуле:

$$q = \frac{\Delta A}{\Delta N} \approx 9,1 \cdot 10^{-23} T (\lambda_m^2 - 1) \quad (9)$$

Рассчитанные значения энергии находятся в пределах от 40 до 70 дж/связь, что, несмотря на несколько завышенные значения, удовлетворительно согласуются с литературными данными [13].

Выводы

1. Полученные результаты испытаний термоэластопластов не находятся в согласии с гипотезой Бланшара—Паркинсона. Эмпирическая формула Мартина—Рота—Стилера описывает качественно ход кривой "напряжение—деформация" и удовлетворительно только для ТЭП с никаким количеством ПЭСД (20 масс. ч. на 100 масс. ч. СКЭПТ).

2. Показана согласованность эксперимента с формулой Расурова в широком диапазоне соотношения полимерных компонентов ТЭП.

3. Определены величины энергии межфазных связей на границе раздела термопласт—эластомер.

Литература

1. Авт. свид. СССР № 718451. Бюл. изобр. и товар. знаков, № 8, 1980.
2. Appler D. J., Fettes E. M. Rubber chem. Technology, 38, 1164, 1965.
3. Бартенев Г. М., Вишицкая Л. А., ВМС, 4, 1324, 1962.
4. Бреслер С. Е. и др. ВМС, 3, № 2, 250, 1962.
5. Belcher J. F. et al. J. Polymer Sci., C, 26, 117, 1969.
6. Краухоук R. J. Polymer Eng. Sci., 11, 381, 1971.
7. Charlier J. M., Legge N. R. J. Polymer Sci., C, 26, 37, 1969.
8. Holden G., Bishop E. T., ки. "Разрушение твердых полимеров", стр. 286. "Химия". М., 1970.
9. Landel R. F., Feder P. F., Roth F. L., Steeler R. D. Trans. Inst. Rubber Ind., 32, 189, 1956.
10. Martin G. M., Crath J. E. Mc, Lillano P. C. J. Polymer Sci., C, 26, 99, 1969.
11. Morton M., в ки. "Мат-лы II Всесоюз. совещ. по релаксационным явлениям в полимерах", стр. 170. Баку, 1972.
12. Расулов А. М., Слюсарски Л. и др. Международная конференция по каучуку и резине. Киев, 1980.

АМИ им. Н. Нариманова

Поступило 16. X 1980

Р. М. Элигулиев, Г. М. Элиев, Д. М. Хитеева, Ф. А. Ахундова, А. А. Мамедов

ТЕРМОЕЛАСТОПЛАСТ ҮЧҮН КЭРКИНИЛИИН ДЕФОРМАСИЈАДАН АНАЛИТИК АСЫЛЫЛЫГЫНЫН ТӘТБИГ ОЛУНМА СӘРІӘДДИ ҺАГГЫНДА

Бир истигамэтдә дартылымыш мұхтәлиф мигдарда «бөрк» фазалы термоэластопласттар үчүн «кэргиинлик-деформасија» аналитик ассылылыштарын тәтбиғ едилмә һудудлары тәчрүбәден кечирилмениди. Алынаң иетичеләр көстөрменишидир ки, реал полимер системаларин тасвир етмәк үчүн Бланшар-Паркинсон вә Мартин-Рот-Стилер тонникләри тәчрүбәден алынаң иетичеләрлө уйгун кәлмир. А. Расуловун вердији дүстурдан истифада етдикдә, соч кениш иисбәтдә полимер компонентли ТЭП үчүн алынаң иетичеләр назәријә иле экспериментин уйгулуғуну даға габарыг шекилдә экс етдирир. А. Расуловун вердији тонникдә гурулуш параметрләрини мөвчуд олмасы, бир истигамэтдә дартылымыш реал сластики системалари там тасвир етмөж имкан верир.

R. M. Aligulyev, G. M. Aliyev, D. M. Khitayeva, F. A. Akhundova,
A. A. Mamedov

ON LIMITS OF APPLICABILITY OF ANALYTICAL DEPENDENCIES OF "TENSION—DEFORMATION" FOR THERMO-ELASTIC-PLASTICS

The limits of applicability of analytical dependencies of "tension—deformation" for thermo-elastic-plastics with different levels of "severe" phase axial tension are reviewed here.

The experimental results obtained in these tests are not in agreement with the equations proposed by Blanshar—Parkinson and Martin—Rot—Steeler for the description of the behaviour of real polymer systems.

The best agreement of the experimental results and theory over the wide range of "tension—deformation" of thermo-elastic-plastics studied was with the equation of A. Rasulov. The presence of the structural parameters in Rasulov's equation permits one to describe the behaviour of real elastic systems under axial tension.

С. И. САДЫХ-ЗАДЕ, Р. Д. ДЖАБАРОВА, Л. А. МИРКИНД,
Ю. А. ВАСИЛЬЕВ

**РАЗРАБОТКА МОДЕЛИ ТЕХНОЛОГИЧЕСКОГО ПРОЦЕССА
АНОДНОЙ КОНДЕНСАЦИИ МОНОМЕТИЛАДИПИНАТА
И ДИЕНА**

(Представлено академиком АН Азербайджанской ССР М. А. Даиним)

В последнее время при производстве пластических масс, синтетических смазочных масел и ряда других продуктов химической промышленности все более широкое применение находят алифатические высшие дикарбоновые кислоты [1].

Реакция анодной конденсации моноэфиров низших дикарбоновых кислот с диенами представляет несомненный интерес как новый метод синтеза высших ненасыщенных дикарбоновых кислот (ВДК).

Ввиду недостаточной изученности этого метода и необходимости отработки режимов технологического процесса были проведены исследования на примере монометиладипината (ММА) и диена.

Исследование подобных процессов традиционными статистическими методами (пассивный эксперимент) [2] нельзя признать рациональным из-за необходимости реализации большого количества опытов, невозможности при длительных исследованиях строго контролировать изменения в качестве исходного сырья или изменений в экспериментальной установке, а также в полной мере выявить совместное влияние на процесс нескольких факторов, трудности анализа и обобщения полученной информации.

Для установления аналитических зависимостей между параметрами процесса электроокисления карбоксилата и выходом ВДК реализован полный факторный эксперимент.

Преодолено проведено априорное ранжирование факторов, основанное на известных методах ранговой корреляции. В результате для дальнейших исследований отобрано четыре независимых фактора, которые были включены в матрицу планирования эксперимента: x_1 — концентрация диена, моль/л; x_2 — плотность тока, а/дм²; x_3 — концентрация MMA, моль/л; x_4 — температура раствора, °С.

В качестве зависимых переменных (целевые функции) выбраны выход по веществу (на загруженный MMA) и выход по току (на пропущенное количество электричества).

Продукт синтеза состоит из смеси диметиловых эфиров себациновой кислоты (C_{10}); α, W — метилдодеценкарбоновой кислоты (C_{15}) и α, W — диметилгексадекандикарбоновой кислоты (C_{20}). Поэтому обозначим соответственно выход по веществу: C_{10} — через Y_1 , C_{15} — через Y_2 , C_{20} — через Y_3 , сумму C_{15} и C_{20} — через Y_4 и

сумму C_{10} , C_{15} и C_{20} — через Y_5 . Аналогично обозначим выходы по току: C_{10} — через Y_6 , C_{15} — через Y_7 , C_{20} — через Y_8 , сумму C_{15} и C_{20} — через Y_9 и сумму C_{10} , C_{15} и C_{20} — через Y_{10} .

Факторы	Уровни варьирования			Интервал варьирования
	нижний (-1)	основной (0)	верхний (+1)	
X_1 — концентрация диена, моль/л	1,0	3,0	5,0	2,0
X_2 — плотность тока, а/дм ²	0,5	1,0	1,5	0,5
X_3 — концентрация MMA, моль/л	0,5	1,25	2,00	0,75
X_4 — температура раствора, °С	0,0	10	20	10

Установка для электросинтеза состоит из электролизера, холодильного компрессора, выпрямителя и контрольных приборов (амперметра и вольтметра). Температура регистрировалась контактным термометром с цепью деления 0,5°С. Процесс проводится без диафрагмы, среда — метанольная. Частичная нейтрализация (10%) исходного MMA повышает электропроводность электролита. Для выделения конечного продукта от электролита последовательно отгоняют диен и метиловый спирт, разбавляют 2—3-кратным количеством воды и нейтрализуют насыщенным раствором NaHCO₃ до pH = 8—9 для отделения непреагировавшего MMA. Экстракцией серным эфиrom выделяют нейтральный продукт, состоящий из диэфиров кислот C_{10} , C_{15} и C_{20} . Анализ продуктов реакции проводился методом газожидкостной хроматографии, выходы подсчитывались по хроматограммам с помощью внутреннего стандарта.

Интервалы варьирования независимых факторов выбраны с учетом ранее проведенных исследований для конденсации MMA с бутадиеном [3].

Наименования изучаемых факторов, их интервалы и уровни варьирования приведены в таблице.

Обработка данных с помощью ЭВМ „Минск-32“ позволила построить математическую модель процесса.

Анализ полученных уравнений регрессии показывает, что наибольшее влияние на процесс синтеза ВДК как и предполагалось, оказывает концентрация диена (фактор X_1), причем с увеличением концентрации диена выход как по веществу, так и по току для суммы непредельных эфиров (C_{15} и C_{20}) увеличивается, в то время, как для диэфира C_{10} он уменьшается.

Остальные факторы не оказывают прямого существенного влияния на процесс синтеза всех рассмотренных случаев.

В то же время взаимодействие температуры электролита с концентрацией диена и с плотностью тока оказывают существенное отрицательное влияние, а взаимодействие плотности тока с концентрацией MMA — существенное положительное влияние на выход диэфира для всех рассмотренных случаев.

Уравнения регрессии при натуральных значениях независимых факторов имеют вид:

$$Y_1 = 55,19 - 6,79X_1$$

$$\begin{aligned}
 Y_2 &= 27,70 + 3,50X_1 - 12,10X_2 - 9,68X_3 + 0,53X_4 - 0,18X_1X_4 + 9,68X_2X_3 \\
 Y_3 &= 16,11 + 3,12X_1 - 8,51X_2 - 10,69X_3 + 0,49X_4 - 0,49X_2X_4 + 10,69X_2Y_3 \\
 Y_4 &= 38,76 + 7,48X_1 - 18,19X_2 - 20,37X_3 + 1,52X_4 - 0,26X_1X_4 - 0,73X_2X_4 + \\
 &\quad + 20,37X_2X_3 \\
 Y_5 &= 88,74 + 0,82X_1 - 13,34X_2 - 16,08X_3 + 1,5X_4 - 0,28X_1X_4 - 0,68X_2X_4 + \\
 &\quad + 16,0,8X_2X_3 \\
 Y_6 &= 45,21 - 6,20X_2 \\
 Y_7 &= 22,20 - 0,98X_1 - 6,23X_2 + 0,32X_4 - 0,11X_1X_4 - 2,09X_1X_2 \\
 Y_8 &= 9,63 + 2,35X_1 - 3,79X_2 - 8,29X_3 + 0,66X_4 - 0,66X_2X_4 + 8,29X_2X_3 \\
 Y_9 &= 18,45 + 5,97X_1 - 4,12X_2 - 9,84X_3 + 1,24X_4 - 0,14X_1X_4 - 0,82X_2X_4 + \\
 &\quad + 9,84X_2X_3 \\
 Y_{10} &= 60,66 + 0,51X_1 - 3,41X_2 - 9,49X_3 + 1,50X_4 - 0,22X_1X_4 - \\
 &\quad - 0,85X_2X_4 + 9,49X_2X_3
 \end{aligned}$$

Изложенное дает основание утверждать, что полученные зависимости могут быть использованы при регулировании процесса с целью получения необходимых сочетаний выходных компонентов.

Литература

- Фрейдлин Г. Н. Применение высших алифатических дикарбоновых кислот и развитие электрохимического производства себациновой кислоты. Сб. «Электросинтез мономеров». М., 1980.
- Наимиров В. В., Чернова Н. А. Статистические методы планирования экстремальных экспериментов. М., 1965.
- Миркинд Л. А. Канд. дисс. МХТИ, 1964.

АзИСИ

Поступило 27. IX 1980

С. И. Садыгзадэ, Р. Ч. Чаббарова, Л. А. Миркинд, Ю. А. Васильев МОНОМЕТИЛАДИПАТЫН ВЭ ДИЈЕНИН АНОД КОНДЕНСАСИЈАСЫ ПРОСЕССИНIN ТЕХНОЛОЖИ ГУРУЛМАСЫ

Мегаләдә монометиладипат вә дијен арасында анод процессинин ријази модели гүрулмуштур. Мүэjjән едилмишdir ки, электрокимјави процессә эсасән дијенин гатылығы тә'сир еди.

Алынан иәтичәләр һәмни процесси тәизим етмәјә имкан верир.

S. I. Sadikhzade, R. D. Djabarova, L. A. Mirkind, Yu. A. Vasilyev
A MATHEMATICAL MODEL FOR THE PROCESS OF ANODE CONDENSATION OF MONOMETHYLADIPINATE AND DIENE

In the present work a mathematical model has been designed for the process of anode condensation of monomethyladipinate and diene. Analytical dependence has been investigated between the parameters of the process and the output of HDA. From the results it is established that diene concentration, amongst all, shows the greatest effect on the electro-chemical process. The obtained dependencies' data may be utilized for controlling the process with the aim of receiving essential constituents of the output components.

АЗӘРБАЙЧАН ССР ЕЛМЛӘР АКАДЕМИЈАСЫНЫН МӘРҮЗӘЛӘРИ

ДОКЛАДЫ АКАДЕМИИ НАУК АЗЕРБАЙДЖАНСКОЙ ССР

ТОМ XXXVII ЧИЛД

№ 5

1981

УДК 551.248.1(479.24)

ПАЛЕОТЕКТОНИКА

М. А. ГЮЛЬДУСТ

ПАЛИНСПАСТИЧЕСКИЙ АНАЛИЗ СТРОЕНИЯ ПОГРЕБЕННЫХ ПОДНИЯТИЙ КУРИНСКОЙ ВПАДИНЫ (НА ПРИМЕРЕ МУРАДХАНЛЫ)

(Представлено академиком АН Азербайджанской ССР А. А. Али-заде)

Палинспастический метод построения или объемное изображение является одним из важных этапов палеотектонического исследования региона и отдельных площадей, где развиты надвиговые или погребенные типы структур. Этот метод исследования дает возможность объемно показать геологическую основу, отобразить в ней ведущую роль дизъюнктивных процессов, характер изменения фации и мощностей накопившихся осадков, что позволяет достаточно полно объяснить закономерности формирования и размещения нефтяных и газовых залежей в разрезе отдельных структур. Исследование строения погребенных поднятий отмеченным методом приобретает важность с той точки зрения, что оно позволяет выяснить конкретные геологические задачи, а именно: условия залегания опорных нефтегазосодержащих горизонтов, размещения тектонических блоков по отношению друг к другу, морфологию магматических и инородных тел при их наличии в разрезе и развитие таковых по структурным этажам как по вертикальному разрезу, так и по горизонтальному плану, что позволяет получить более полную информацию.

В Куринской межгорной впадине надвиговые структуры имеют наибольшее развитие в пределах геоблоков Аджиноурского и междууречья Куры и Иори*, а погребенные поднятия развиты в пределах Евлах-Агджабединского, Саатлы-Пушкинского и в центральной части Нижнекуринского (структуре Кюрсангя и др.) геоблоков.

Одним из характерных погребенных поднятий Куринской межгорной впадины является Мурадханлы, расположено в Евлах-Агджабединском геоблоке, где в разрезе мезо-кайнозойских отложений установлено наличие нефтегазовых залежей экранированного и выклинивающегося типов. Некоторые вопросы геологии и нефтегазоносности этого месторождения опубликованы в ряде работ [2, 3, 4], однако тектоническое строение, отражающее характер нефтегазораспределения и отвечающее на конкретные вопросы разведки и разработки, на современном этапе пока достаточно не освещено. С этой целью построенные нами палинспастическим методом блок-диаграммы дают возможность выяснить ряд этих вопросов; в первую очередь вопрос о дальнейших поисках залежей нефти и газа по отдельным структурным этажам и тектоническим блокам. Отметим, что перспективы здесь связаны с

* Анализы ряда поднятий в пределах геоблока междууречья Куры и Иори указанным методом даны в [1].

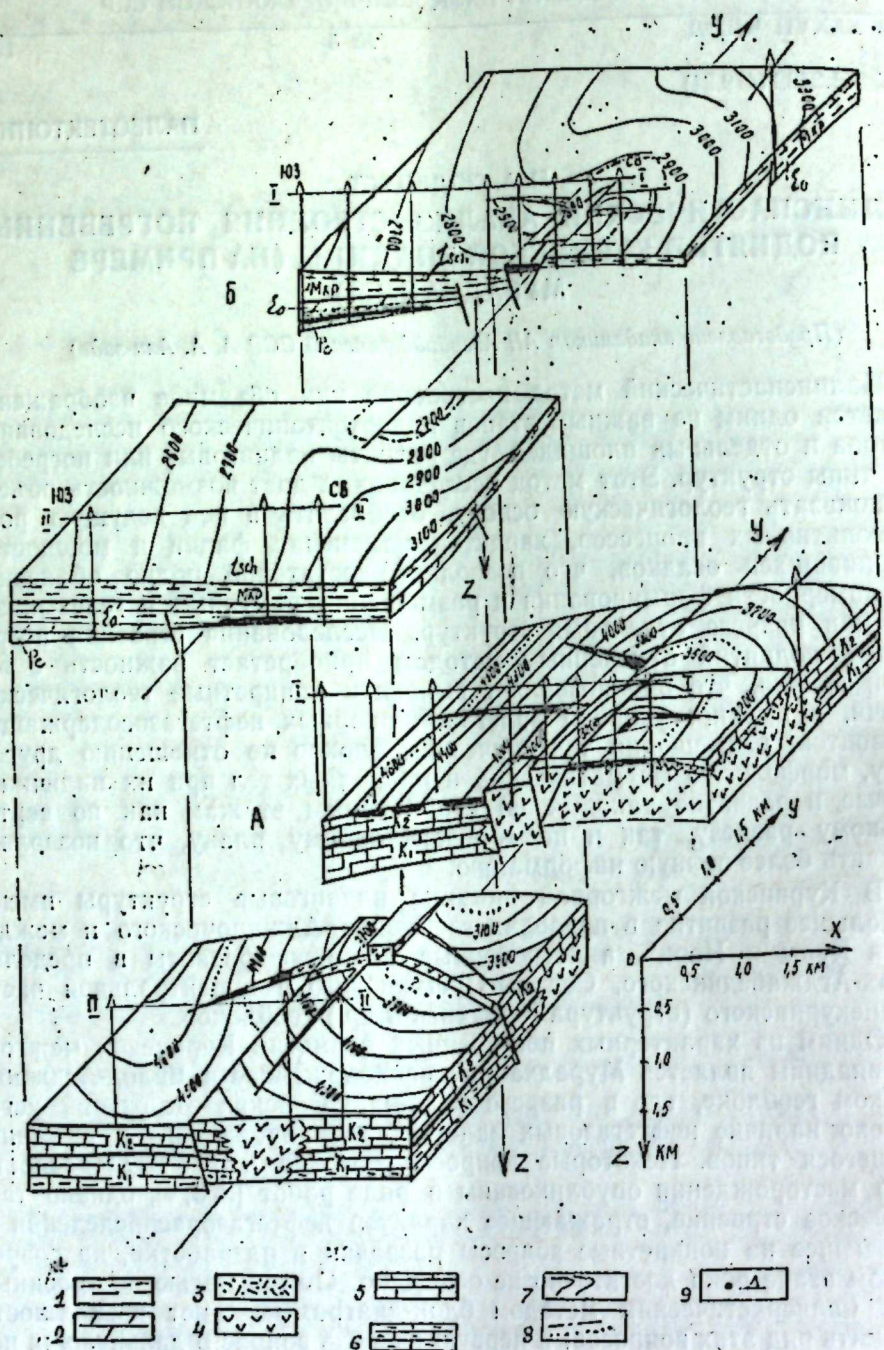


Рис. 1. Блок-диаграммы мелового (A) и палеоген-мiocенового комплексов отложений (Б) Мурадханлинского погребенного поднятия: 1—глины; 2—мергели; 3—туфопесчаники; 4—эффузивные породы; 5—известняки; 6—аргиллиты; 7—изолинии; 8—контуры распространения залежей; 9—разведочные скважины.

мезозойскими (верхний мел), палеогеновыми (эоцен) и миоценовыми (чокрак) отложениями.

В строении Мурадханлы выделяются два резкоотличающихся друг от друга структурных этажа: мезозой-палеогеновый и неоген-антропогеновый. По мезозой-палеогеновым структурным этажам поднятие имеет более сложное и резковыраженное строение, вызванное образованием крупных разрывов (Южно-Куринский и др.) [5] и излиянием лавы—эффузий (амплитуда роста поднятия по верхнемеловым отложениям достигает 1 км). По неоген-антропогеновым структурным этажам строение его более спокойное и обусловлено завершением тектонических процессов (амплитуда роста его по сарматским отложениям доходит до нуля и становится погребенным). Сопоставление блок-диаграммы построенных по положению поверхности меловых и кровли миоценовых (чокракских) отложений (рис. 1, А, Б) дает наглядное представление о строении этих структурных этажей и соответственно о характере их блочности, с которой тесно связано перераспределение и формирование нефтегазовых залежей.

Развитием тектонических движений, район Мурадханлы на фоне Куриńskiej кордильеры подвергается интенсивному подъему [5], приведшему, с одной стороны, к сильной дислокации, обеспечивающей блоковое и ступенчатое строение структуры, а с другой — к размыву пород эфузивного и осадочного облика мелового возраста в центральной — северной ее части. Литолого-петрографический анализ мезозой-палеогеновых пород показывает, что размыв происходил в основном в верхнемеловое и раннее палеогеновое время, так как в период досантонского времени накопления осадков верхнего мела эфузивные породы подвергались глубокому размыву, где андезито-порfirитовая эфузия до верхней части палеотипного — андезито-базальтового состава** размывалась, а в раннем палеогене происходит размыв отлагавшихся карбонатных (дат-кампанских) и вулканогенно-осадочных (кампан-сантонаского возраста) пород, лишь нижняя часть последних — пачка мощностью 10—35 м, могла сохраниться в пределах центральных опущенных блоков структуры (последние перекрывают размытую поверхность палеотипного состава эфузии).

В верхнеэоценовое время, в связи с усилением темпа воздымания Малого Кавказа и ослаблением тектонических движений, в районе Куринской кордильеры, граница распространения бассейна постепенно расширяется к северу и ранее подвергшиеся размыву участки перекрываются верхнеэоценовыми и майкопскими отложениями. Перекрытие меловых коллекторов (эфузивных и вулканогенно-осадочных) глинистыми осадками верхнего эоцена и майкопа, как покрышки, сыграли значительную роль в формировании и сохранении здесь залежей нефти и газа.

Нефтегазоносность мезо-кайнозойских отложений Мурадханлы связана с трещиноватыми и поровыми коллекторами как эфузивного состава пород верхнего мела, которые долгое время подвергались гипергенному изменению, так и осадочного образования палеоген-миоцена. Наличие богатых залежей нефти и газа установлено в коллекторах эфузивных и вулканогенно-осадочных пород в разрезе ряда тектони-

** Андезито-базальтовый состав эфузивных пород по данным исследования калий-аргоноовым методом имеет абсолютный возраст 94—96 млн. лет, а андезито-парфирированный состав 74—76 млн. лет [6].

ческих блоков. Кроме того, промышленный приток нефти получен в пределах юго-западного крыла структуры в разрезе коллекторов, выклинивающихся «нижне-» и среднеэоценовых, а также в центральной части ее — в коллекторах нижнемиоценовых отложений. Следует отметить, что сохранение в центральной части поднятия нижней части вулканогенно-осадочных пород, перекрывающей размытую поверхность палеотипного эфузива, и отсутствие (размытость) этой пачки в разрезе западного тектонического блока, где сохранились молодые типы эфузивных пород, показывает, что периферийные поперечные разрывы (с амплитудой до 400 м) образовались в палеогеновое время, когда флюиды к этому времени могли мигрировать из депрессионной и глубоких частей геоблока и аккумулироваться в коллекторах эфузивных и вулканогенно-осадочных пород в приподнятой части структуры.

Учитывая характер распространения коллекторов мезо-кайнозойских отложений следует отметить, что дальнейшие перспективы связа-

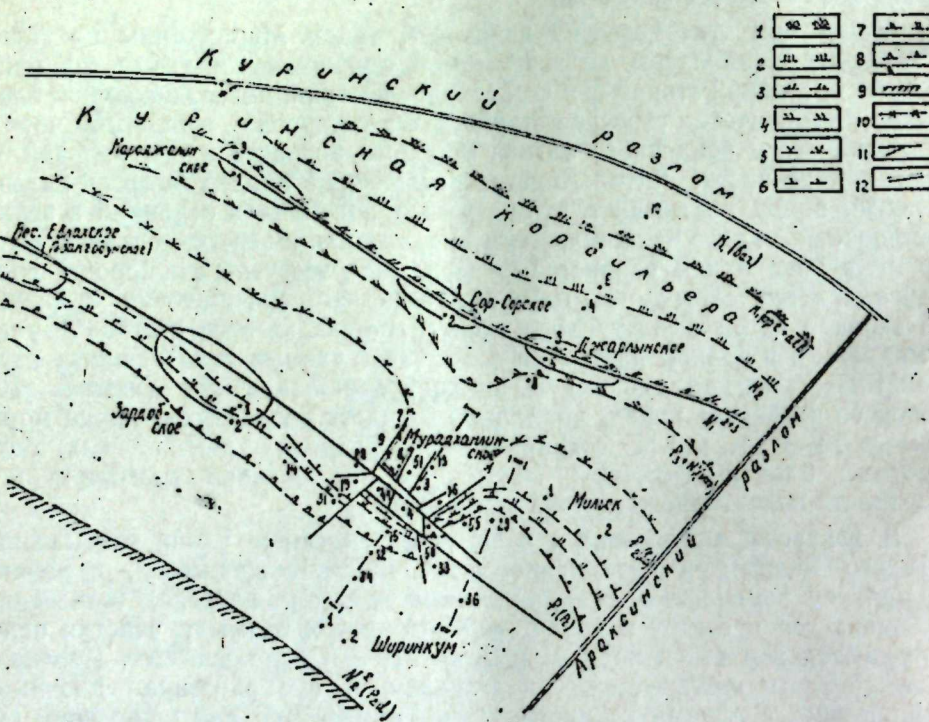


Рис. 2. Схема границ распространения мезокайнозойских отложений и степень их дислокированности в районе Мурадханлы: 1, 2—границы последующего размыва меловых отложений; 3—9—границы распространения палеоген-неогеновых отложений: 3—сарматских; 4—чокрак-майкопских; 5—эоценовых; 6—I и 7—III мергельных нефтегазоносных пачек эоцен; 8—палеоценовых; 9—продуктивной толщи; 10—зона размыва туфогенно-осадочной пачки; 11—разрывы; 12—разломы.

ны с меловыми, карбонатными (маастрихт-кампанского возраста), вулканогенно-осадочными (кампан-сантонаского возраста) и эфузивными (молодыми и палеотипными) породами, участвующими в разрезе тектонических блоков юго-западного крыла складки, где пред-

полагается наличие залежей экранированного типа. Коллектора алевритово-мергельных пачек «нижнего» и среднего эоценена, выклинивающихся в пределах присводовой части указанного крыла, следует считать объектами попутного освоения. Последние не только в пределах площади Мурадханлы, но и вдоль северного борта геоблока могут оказаться ловушками для формирования промышленных залежей нефти и газа. Это подтверждается наличием нефтегазоносных коллекторов в зоне выклинивания «нижнего» и среднего эоценена в северо-западной части геоблока. Не исключено, что на этом борту нефтегазоносными могут являться и выклинивающиеся коллектора майкопской свиты и чокракского горизонта. Кроме того, из представленных блок-диаграммы и схемы распространения осадков (рис. 1, 2) видно, что в пределах месторождения Мурадханлы зоны выклинивания коллекторов мезокайнозойских отложений и контуры нефтяных залежей в пределах отдельных тектонических блоков структуры, как по площади, так и по разрезу, не соответствуют друг другу, поэтому при проведении дальнейших поисковых работ следует учитывать положения контуров нефтегазоносности и границы выклинивающихся залежей по структурным этажам. А для прослеживания выклинивающихся горизонтов палеоген-миоцене к северо-западу и, возможно, к юго-востоку от площади Мурадханлы целесообразно проведение детальных сейсмических исследований.

Литература

- Агабеков М. Г., Мамедов А. В. Геология и нефтегазоносность Западного Азербайджана. Азернефть, 1960.
- Ализаде А. А. «Сов. геология», № 1, стр. 16, 1975.
- Гусейнов А. Н. и др. Нефтегазоносность Среднекуринской впадины и перспективы дальнейших разведочных работ. Обзорная информация. «Нефтедобывающая промышленность», АзНИИТИ, Баку, 1977.
- Гюльдуст М. А., Панахи Ш. А. «Уч. зап. АзНИИФтехима», № 4, стр. 3, 1974.
- Гюльдуст М. А. Роль разломов в формировании Куринской межгорной впадины и их связь с тектогенезом и нефтегазоносностью. «ДАН Азерб. ССР», т. XXXV, № 8, стр. 81, 1979.
- Сафаров Г. И. и др. Труды АзНИПИнефть, вып. 39, стр. 69, 1976.

АзНИПИнефть

Поступило 11. VI 1980

М. Э. Кулдости

КУР ЧӨКӘКЛИИНИН БАСДЫРЫЛМЫШ СТРУКТУРЛАРЫНЫН (МУРАДХАНЛЫ КИМИ) ПАЛИНСПАСТИК АНАЛИЗИ

Палинспастик тәндигат методу vasitoesi ilə Kур чөкәклиининең басдырылымыши структурун (Мурадханлы кими), гүрулушу вә мөвчүд олан структур мәртәбләрләrinin (мезо-палеоцен вә неоцен-атроноцен) әлагәләри аждылашдырылышы. Нефт лајларынын формалашысында геид олунан структур мәртәбләрләrin гүрулушуну мүрәккәбләшdirgen гырылмаларын ролу экс-стидирилir. Палинспастик тәндигат үсүлү басдырылымыниң жатагларда нефт вә газ лајларынын яјылмасыны әжан сүрәтдә өјрәниб көшfiijata испагамэт вермөк имкани верир.

M. A. Guldust

PALINSPASTIC ANALYSIS OF INTERMENT RAISING OF KURIAN DEPRESSION STRUCTURE (WITH EXAMPLE OF MURADKHANLY)

In this paper palaeotectonic analysis of interment-raisings of Kurian depression (with example of Muradkhanly) by means of palinspastic construction method is given. Structure and correlation of existing structural storeys (mesozoi-palaeogene and neogene-anthropogene) are elucidated. The role of ruptures complicating structure of these storeys in the forming of oil-gas deposits are analysed. In connection with this the plan of further search works is recommended.

А. А. БАЙРАМОВ

ОСНОВНЫЕ ЧЕРТЫ ПРИСПОСОБИТЕЛЬНОЙ СУЩНОСТИ ВИДОВ р. *Sedum L.*

(Представлено академиком АН Азербайджанской ССР В. И. Ульянищевым)

Экологический фон в процессе исторического развития определяет норму реакции, которой обладает растение. Чем разнообразнее были условия в прошлом, тем шире адаптивный потенциал растений в настоящем. Важность этого обстоятельства при интродукции растений впервые обосновал М. В. Культиасов [1]. На необходимость применения исторического принципа при отборе материала для интродукции указывают К. А. Соболевская [2] и другие. Интродукционная работа при этом должна состоять из этапов выявления приспособительной сущности растений и ее исторической обусловленности [2].

Нами сделана попытка в аналитическом плане осветить основные биоморфологические и анатомические особенности видов р. *Sedum*.

Род *Sedum* относится к числу тех групп растений, которые, имея выход анцестральных форм из Южной Африки, основное развитие получил в Северном полушарии [3]. Поэтому представляет интерес, какие основные приспособительные особенности приобрели виды этого рода на Евразиатском континенте.

Описанные частные признаки строения, присущие видам рода, остановимся на особенностях в целом, характерных для этой группы.

Последовательность всхода семян обычна для двудольных с надземным типом прорастания, причем, по нашим наблюдениям, наряду с обычным типом проростков, т. е. с двумя семедолями у одних и тех же видов могут соприсутствовать 3—4 или слияния двух в одну семядолю. Семядоли утолщены, причем мезофилл не имеет специализации на столбчатую и губчатую ткани, эпидермис с незначительным числом устьиц, с восковым налетом.

Морфологически первые и последующие листья, в зависимости от вида, схожи или различаются от типичных для каждого вида.

Расположение в зависимости от вида — накрест-супротивное или очередное в $\frac{2}{3}$ или $\frac{1}{4}$ листовым циклом.

Анатомическое строение первого и последующих листьев близко к строению семядолей. Эпидермис однослойный. На поперечном срезе клетки эпидермиса удлиненные. Околоустничные клетки извилистые или волнистые, круциферондного или тетрацитного типа. Число устьиц сильно ограничено до нескольких десятков. Механические ткани в листьях отсутствуют. У всех видов мезофилл листа не имеет специализации на столбчатую и губчатую ткани и состоит из гомогенных паренхиматических клеток. Число слоев клеток мезофилла и их величина определяют степень мясистости и общую морфологию листа.

У растений, идущих по ксерофильному пути развития, усиливающаяся аридизация изменяла в первую очередь органы, находящиеся в прямой зависимости от окружающей среды (эктосоматические органы по А. Н. Северцову [4]). Это в первую очередь лист, являющийся очень пластичным органом и в силу этого чувствительным показателем условий местообитания растений. Данный орган у всех видов рода имел в формировании много общего. Поэтому сравнительное изучение морфо-анатомических признаков африканских и американских групп рода показывает однотипность в строении листа этих видов. Надо полагать, что этот орган не претерпел структурных изменений на Евразиатском континенте.

Основным изменяющимся органом у видов рассматриваемой группы в Евразии был стебель, на котором остановимся подробнее.

Многообразие местообитаний в пределах ареала у видов исследованных родов образует большое разнообразие типов побегообразования, а в связи с этим и жизненных форм. В отдельных систематических группах прослеживаются морфологические ряды жизненных форм.

Виды исследованных растений представлены как вечнозелеными, так иmonoциклическими, то есть, отмирающими зимой надземными побегами и листьями. По типу роста надземных побегов можно выделить виды с плагиотропными и ортотропными побегами.

В начальный период развития все виды имеют ортотропный побег, но уже к концу первого года вегетации у растений с плагиотропным ростом главный стебель под тяжестью нарастающих листьев и боковых ветвей ложится на землю и укореняется в листовых узлах.

У видов с monoциклическими побегами ко времени появления 3-ей, 4-ой пары листьев, корень от границы с гипокотилем утолщается. Это утолщение распространяется постепенно вниз и наверх, затрагивая гипокотиль с частью эпикотиля и придает корню утолщенную, типичную для того или иного вида форму.

Виды с ортотропными побегами образуют кустовидные короткомерные растения с восходящими стеблями.

В анатомическом строении стебля ксероморфная структура у рассматриваемой группы подчеркнута в меньшей степени, чем в листьях. Стебель округлый, эпидермис однослойный, порою двуслойный. Позже образуется пробка 3—5-слойная, под которой выражен пробковый камбий. Коровая часть стебля состоит из гомогенных паренхиматических клеток. Эндодерма и перицикль не у всех видов выражены ясно. Как в стебле, так и в коровой части механические ткани отсутствуют. Продводящая система развита слабо.

Строение стебля видов, обитающих в наиболее теплых районах ареала и не подверженных действию низких температур (Африка, юго-восточная часть Северной Америки), дает нам предположительное представление о форме этого органа до приобретения криофильности.

Группа американских видов р. *Sedum* (при обозначении групп использована терминология Е. С. Смирновой [5]) — monoхазиальные короткокометамерные растения в восходящими вершиннорозеточными стеблями (*Sedum palmeri* Swartz, *S. rubrotinctum* R. T. Clausen, *S. aikoni* Ulbrich, *S. conepressum* Rose) и кустовидные плеохазиальные короткокометамерные растения с восходящими стеблями (*S. trelae* Rose, *S. pinnatum* Bitter, *S. pachyphyllum* Rose, *S. ehrhartianum* (Rose) Moc. et Sesse). Все эти виды вечнозеленые в большинстве случаев с ортотропно развивающимися побегами и очередными или

супротивными листьями. Такое же строение стебля наблюдается у всех видов умеренных широт в ювенильной стадии.

Группа с плагиотропными стеблями в Евразии это морфологический тип плейохазиальных длиннометамерных растений с ползучими стеблями. В ювенильной стадии развития эти растения обладают ортотропными побегами. Однако позже они приобретают плагиотропное направление как специфическое приспособление к наскальным местообитаниям и низкой температуре. Растение при этом образует в листовых узлах многочисленные корешки как средство к наиболее полному использованию влаги, которая не на долго смачивая скалы, быстро иссушается ветром (*Sedum album* L., *S. acre* L., *S. lenkoganicum* Grossh., *S. gracile* C. A. Mey., *S. reflexum* L. и др.). В этой группе помимо вечнозеленых есть виды с опадающими и частично опадающими в зимнее время листьями. Это продолжающаяся специализация растений по криофильной линии.

Моноцикличность побегов приобретена группой растений, распространенных в наиболее холодных районах ареала. Надо полагать, что среди суккулентов умеренных широт это самая монодицированная форма криофильной эволюции *S. caucasicum* (Grossh.) Boiss., *S. obusifolium* C. A. Mey., *S. maximinum* (L.) Suter и др.

И, наконец, группа одно-двухлетних видов, представляющая конечный этап ксерофильной линии эволюции у этого рода. Это преимущественно небольшие растения с ветвистым от основания стеблем и ортотропными побегами (*Sedum hispanicum* L., *S. appicatum* L., *S. papilliferum* Boiss и др.). Сравнивая отдельные периоды развития в жизненном цикле у этих растений с многолетними представителями рода можно заметить, что сокращение онтогенеза у этой группы происходило за счет предельного уменьшения виргинильного периода и быстрого перехода в генеративную fazу (ускорения темпов развития), а также практически исчезновения сенильного периода. По мере возрастания неблагоприятных условий организм перестраивался в сторону приспособления к ним.

Неотенические изменения с ранней репродукцией оказались, вероятно, в этих условиях наиболее жизненными, приведшими к возникновению новых линий развития — от многочисленных к одно-двухлетним.

Общим для всех исследованных видов признаком является способность цветоносного побега или розетки накапливать в себе воду, а затем по мере цветения и созревания семян, отдавая влагу, отмирать. Такая автономизация [6] жизненно-решающего отрезка онтогенеза явилась предельно важным приобретением в условиях нестабильной обеспеченности влагой.

Корневая система рассматриваемой группы, как и суккулентных растений вообще, не отличается глубоким проникновением в почву и развивает поверхностные корни. В первый год главный корень у растений заметен, однако уже к концу первого года развития он теряется в массе сильно развивающихся придаточных. Такое, в основном, поверхностное развитие корневой системы связано с эдафическими условиями наскальной жизни, в которых произрастает исследуемая группа.

Общее в анатомическом строении корня рассматриваемых растений — это наличие многослойной пробки, 3—5-слойной коровой паренхимы, незаметный переход от коровой части к стеле, наличие во многих случаях механической ткани в виде уголковой колленхимы или

одревесневших элементов флоэмы, слабое развитие проводящей системы.

Подытоживая особенности приспособительных признаков суккулентов рассматриваемой группы отметим, что основное направление изменений видов р. *Sedum* на Евразиатском континенте — приобретение плагиотропности, сокращение онтогенеза, и обретение моноцикличности. Эти приспособительные изменения и позволили поднять общую организацию растений и освоить новые места для своего местообитания. Для растений этой группы такие приобретения явились важными в эволюционном отношении, так как дали начало широкой радиации адаптационных форм, обособившихся затем по континенту на виды, ряды и секции.

Литература

1. Культиасов М. В. Эколо-исторический метод в интродукции растений. Бюллетень ГБС, вып. 15. М., 1953.
2. Соболевская К. А. Экспериментальное обоснование эколо-исторического метода интродукции растений природной флоры. Бюллетень ГБС, вып. 81. М., 1971.
3. Байрамов А. А. К географической и морфологической характеристике видов рода *Sedum* L. Деп. ВИНИТИ № 2679—74, 1974.
4. Северцов А. Н. Главные направления эволюционного процесса. МГУ, 1967.
5. Смирнова Е. С. Морфологические типы вегетативной сферы растений сем. Crassulaceae. Бюллетень МОИП, вып. 5. М., 1971.
6. Скрипчинский В. В. Эволюция онтогенеза растений. «Наука», М. 1977.

Институт ботаники

А. Э. Бајрамов

Поступило 26. V 1980

ДОВШАНҚӨЛӘМИ (*Sedum* 1) НӨВЛӘРИНІН ӘСАС УЙГУНЛАШМА МАҢИЛӘТИ

Мөвчүд шәрантда экологи фон тарихи инициаф просесинде биткиләрин уйгунашыны мүәжжән едир. Она көрә дә биткиләрин интродуксија олумасы заманы онларын мөвчүд шәрантта уйгунашма габилиjjети вә тарихи шәрант этаплары нәзәрән гачырылмамалыды.

Мәгәләдә аналитик планда *Sedum* чинсинә айд олан нөвләрин биоморфологи вә анатомик хүсүсүйәтләре көстәрмәлмешdir. Ейни заманда һәмни нөвләрин Авропа вә Асија континентләриндә уйгунашма үчүн газандығы кејфијетләр шәрһ едилir.

А. А. Бајрамов

THE MAIN FEATURES OF THE ADAPTIVE ESSENCE OF THE SPECIES OF p. *SEDUM* L.

In the process of historic development the ecological background determines the adaptive potential of the plants. Thus, the introductory work must consist of the stages of the revealing of the adaptive essence of the introduced plants and their historic conditionality. In the article the biomorphological and anatomical peculiarities of the species of p. *Sedum* are set forth in the analytical aspect, and the main adaptive peculiarities acquired by the species of this genus on the Euroasian continent are shown.

ПОЧВОВЕДЕНИЕ

Д. Г. ПОНОМАРЕВ, Т. С. ДЖАФАРОВА

ОПЫТ РАСЧЕТА ЭНЕРГИИ, ПОШЕДШЕЙ НА МИНЕРАЛЬНЫЕ ПРЕОБРАЗОВАНИЯ ПОЧВ АЛЬПИЙСКОГО МАЛОГО КАВКАЗА

(Представлено академиком АН Азербайджанской ССР В. Р. Волобуевым)

Ранее было показано, что существует возможность определения потенциала Гиббса и энтропии каждого типа почв, рассчитав их субмодальный состав [2]. Поэтому на основании валовых химических анализов почв, механического анализа, качественного анализа илистых фракций и т. п. можно рассчитать наиболее вероятные минералогические спектры почвообразующей породы, мелкозема или почвы, используя метод определения субмодального состава почв и пород по Ниггли.

Одним из авторов данной статьи было предложено по теплотам элементарных химических реакций минеральной части почвы, теплоте сгорания органического вещества почвы и теплоте, затраченной на суммарное испарение, с известными допущениями, рассчитать количество энергии, пошедшей на почвообразование, используя для этого следствия закона Гесса [3]. Таким образом, зная количественные составы материнской породы и минералов в почве; можно подсчитать, сколько энергии было затрачено на образование вторичных почвенных минералов.

Согласно В. В. Докучаеву, почва, ее генезис и свойства находятся в тесной связи, т. е. почва являясь самостоятельным природным телом, есть функция совокупной деятельности почвообразующих факторов:

$$P = f(K, O, \Gamma, B, M),$$

где P — почва, K — климат, O — организмы (биологический фактор), Γ — горные породы, B — возраст, M — рельеф. Причем, необходимо отметить, что объектами наших исследований являются природные (естественные) ценозы, т. е. не затронутые деятельностью человека.

Допустим, что входящие в данную формулу почвообразующие факторы попрежнему изменяются, а остальные остаются неизменными. Например, пусть переменной величиной является биологический фактор (организмы), а климат, горные породы, возраст, рельеф — неизменными.

Задачей наших исследований является расчет количества энергии, затраченной на минеральные преобразования, например, под воздействием различных видов растительности, но при одной и той же материнской породе, примерно одного и того же возраста, при одних и тех же климатических условиях.

Для этой цели рассмотрим влияние низшей и первичной высшей растительности на кварцевый порфирит Малого Кавказа, а также влия-

Таблица 1

Субмодальный минералогический состав порфиритов Малого Кавказа и мелкозема под скально-осыпной растительностью

№ образца	Образец	Гумус, %	Минералы, %													
			SiO ₂	Ал	Аи	Ор	Гп	Фа	Фс	Дс	Сф	Ми—г	Ит	Кл	Рт	Гм
1а	Кварцевый порфирит	Нет	41,2	14,2	4,2	16,9	5,1	2,0	4,1	14,9	0,4	Нет	Нет	Нет	Нет	Нет
1б	Мелкозем под лиственичником	2,15	50,3	7,3	1,9	7,2	1,2	1,0	2,1	10,2	Нет	6,0	1,7	7,7	0,2	3,5
2а	Кварцевый порфирит	Нет	39,1	14,2	7,2	13,4	5,1	2,0	3,8	14,6	0,6	Нет	Нет	Нет	Нет	Нет
2б	Мелкозем под драбой	7,95	29,3	6,8	2,8	6,1	1,2	Нет	2,1	5,0	Нет	11,9	3,3	19,9	0,2	3,0
2в	Мелкозем под менуацией	7,98	30,3	6,6	2,5	6,3	1,4	Нет	2,2	4,0	Нет	12,5	2,6	18,5	0,2	4,5

Примечание. SiO₂ — хварц, Ал — албит, Аи — иллита, Ор — ортоклаз, Гп — гиперглаз, Фа — фаяллит, Фс — фторстекрит, Дс — дисперсионный, Сф — сфеин, Ми — монтмориллонит, Ит — итинг, Кл — хлорит, Рт — рутил, Гм — гематит, Хг — хлорит, Р. об. — роговые обманки, Гг — гигант.

ние травянистой растительности на близкий по минералогическому составу диабазовый порфирит.

Как видно из данных табл. 1, в результате воздействия листоватых лишайников (обр. 1, б), кварцевый порфирит претерпел значительные изменения, но особенно сильно изменилась эта материнская порода под воздействием первичной высшей растительности (драб и менуация, обр. 2, б и 2, в).

Таблица 2
Субмодальный минералогический состав породы и примитивных фрагментарных горно-луговых почв Малого Кавказа

Образец	Гумус, %	Частицы <0,001мм	Минералы, %										
			SiO ₂	Ал	Ал	Ор	Гп	Хл	Р.об	Дс	Унг	Цт	
Порода (диабазовый порфирит)	Нет	Нет	43,5	8,7	2,6	8,7	9,9	5,4	3,5	20,7	Нет	Нет	Нет
Рухляк	Нет	Нет	46,9	6,3	1,8	6,1	7,7	1,0	1,1	19,4	3,0	1,1	4,4
Слой почвы 0—25 см	9,4	9,0	36,9	Нет	Нет	1,7	7,0	1,1	1,9	16,4	8,9	2,1	13,7
													1,0

Примечание. Обозначения те же, что и в табл. 1.

Расчеты показали, что на образование мелкозема под низшей растительностью (листоватый лишайник) было затрачено на минеральные преобразования 6 ккал на 100 г мелкозема для слоя 0—1 см, в то время как при тех же условиях почвообразования (климат, порода, возраст, рельеф) на образование мелкозема мощностью до 5 см под первичной высшей растительностью было затрачено 85—90 ккал на 100 г мелкозема, следовательно на образование 1 см мелкозема в этом случае затрачено 17—18 ккал на 100 г мелкозема.

В табл. 2 приведен вероятный минералогический состав примитивных фрагментарных горно-луговых почв, развитых на диабазовых порфиритах под травянистой растительностью. Из данных этой таблицы видно, что под влиянием травянистой растительности образовался уже двадцатипятисантиметровый слой почвы, с высоким содержанием гумуса, особенно в гумусо-аккумулятивном слое мощностью 8 см (до 16,5%).

Расчеты энергии, которая пошла на минеральные преобразования, показали, что на образование двадцатипятисантиметрового слоя примитивных горно-луговых почв было затрачено 210 ккал на 100 г почвы. Если на минеральные преобразования рухляка было затрачено 3 ккал, то для односантиметрового слоя нижнего почвенного горизонта израсходовано уже 7,5 ккал, а на тот же слой верхнего гумусо-аккумулятивного слоя — 10,2 ккал. С учетом энергии, аккумулированной в гумусе [1], общая затраченная энергия равна 260 ккал на 100 г почвы. Опад травянистой растительности (20 ц/га), включаясь в общий круговорот веществ, способствует интенсивному образованию вторичных минералов.

Следовательно, под влиянием разных типов скально-осыпной растительности происходит неравнозначное воздействие на материнскую по-

роду такого фактора, как биологический, причем под травянистой растительностью минеральные преобразования примерно за тот же период времени (один и тот же возраст) протекают более интенсивно и соответственно большее количество энергии участвует в минеральных превращениях, чем под скально-осыпной.

Литература

1. Алиев С. А. Биоэнергетика органического вещества почв. «Элм». Баку, 1973.
2. Волобуев В. Р., Пономарев Д. Г. «Почвоведение», № 1, 3—13, 1977.
3. Пономарев Д. Г. В сб. «Исследования по биоэнергетике в Азербайджане». «Элм». Баку, 1979.

Институт почвоведения и агрохимии

Поступило 16. VI 1980.

Д. Г. Пономарев, Т. С. Чәфәрова

КИЧИК ГАФГАЗЫН АЛП ГҮРШАГЫ ТОРПАГЛАРЫНДА ТӨРӘМЭ МИНЕРАЛЛАРЫН ЙАРАНМА ЕНЕРЖИСИНИН ҺЕСАБЛАНМАСЫ

Мәғаләдә Гесс гапунуидан истифадә етмәклә төрәмэ минералларын юраимасына сәрф единен енержиин илкни һесаблама иттихаләридан бәйс едилүр.

Мүәյҗән едилмишdir ки, алл гуршагы торпагларында төрәмэ минералларын эмәлә халмәсеннә ибытидан биткиләр (ярпаглы шибә 0—1 см гатта) 6 ккал, алл биткилори исе (0—5 см гатта) 85—90 ккал. енержи сәрф етмәлә олурлар. Демәлә ибытидан биткиләрә иисбәтән алл биткилордә торпагәмәлә кәлмә просесинә тә'сир даһа күчлү кедир.

D. G. Ponomarev, T. S. Jafarova

THE PRACTICE OF ESTIMATION OF THE ENERGY USED FOR MINERAL TRANSFORMATIONS OF THE SOILS OF ALPINE ZONE OF THE SMALL CAUCASUS

The possibility of estimating of the energy spent for mineral transformation of the formal mineral to the second one is shown.

Чл.-корр. С. А. АЛИЕВ, Н. М. РЗАЕВ

ВЛИЯНИЕ ДЫХАНИЯ ПОЧВЫ НА ФОТОСИНТЕЗ ХЛОПЧАТНИКА НА СЕРОЗЕМНО-ЛУГОВЫХ ПОЧВАХ МУГАНСКОЙ СТЕПИ

Углекислый газ, содержащийся в атмосфере в незначительном количестве (около 0,03 об. %), является основным источником углекислотного питания и фотосинтетической деятельности растений. Значение углекислоты воздуха для растений в процессе фотосинтеза впервые экспериментально обосновал Тимирязев [9], позднее — Циалковский [10] и Келлер [4]. Влиянию углекислоты на фотосинтетическую деятельность и продуктивность растений посвящены работы многих авторов [1, 2, 4, 5, 6, 7, 8]. Вместе с этим, концентрация углекислоты в атмосферном воздухе не является постоянной и в период интенсивного фотосинтеза растений в приземном слое может резко снижаться.

Одним из важных источников пополнения углекислоты приземного слоя атмосферы является непрерывное выделение углекислоты из почвы — газообмен или «дыхание» почвы.

Для повышения продуктивности растений первостепенное значение имеет изучение роли «дыхания» почвы как источника углекислого газа и разработки приемов регулирования режима углекислоты почв и окружающего растение приземного слоя воздуха. Для изучения вопроса о влиянии интенсивности дыхания почвы на концентрацию углекислого газа в приземном слое воздуха и на продуктивный фотосинтез хлопчатника нами проведены обстоятельные исследования на сероземно-луго-вых почвах Муганской степи (МОМС — Муганская опытно-мелиоративная станция).

Исследуемые сероземно-луго-вые почвы, развитые на свежих, недавно отложенных аллювиальных наносах, при отсутствии длительного застоя поверхностных вод, характеризуются монотонным профилем и малой гумусностью. Содержание гумуса в 0—20 и 20—40-санитметровом слоях соответственно составляет 2,33 и 1,40%, азота — 0,19 и 0,17, C:N = 7,1 и 4,2. Питательными элементами почвы бедны и отзывчивы на минеральным удобрениям. Для них характерна высокая карбонатность и насыщенность основаниями.

Климат Муганской степи относится к типу полупустынь и сухих степей со слабым увлажнением, теплой зимой и сухим жарким летом [11]. Среднегодовая температура равна 14,0°, годовое количество осадков составляет 246 мм, которые преимущественно выпадают в весенне-осенний период. В течение года поступает огромное количество солнечной радиации — 126—130 ккал/см², а число солнечного сияния колеблется в пределах 2 200—2 300 ч [11].

Продуктивный фотосинтез и дыхание растений, а также концентрация углекислого газа в приземном слое атмосферы, интенсивность газо-

обмена определяли по методу Макарова [5] в 6 ч. 30 мин., 9 ч 30 мин., 12 ч 30 мин., 15 ч. 30 мин., 18 ч. 30 мин. по фазам развития растений в течение вегетационного периода. Фотосинтез и дыхание растений изучены на целых растениях при помощи стеклянного домика объемом 50 л [5].

По вопросу продуцирования углекислоты почвой под различными удобрениями существует довольно обширная литература [6, 5, 7]. Продуцирование углекислоты почвой изменяется в зависимости от характера растительности и приемов агротехники.

Режим углекислоты приземного слоя воздуха, дыхание почвы и продуктивный фотосинтез хлопчатника (средние данные за вегетационный период)

Варианты опыта	Время, ч и мин.	Концентрация CO ₂ , об. %			Дыхание почвы, CO ₂ кг/га·ч	Продукт. фотосинтез растений, CO ₂ кг/га·ч
		в припочвенном воздухе	внутри куста	над растением		
Контроль	6.30	0,050	0,031	0,035	5,9	8,1
	9.30	0,048	0,027	0,036	6,9	6,3
	12.30	0,043	0,036	0,036	7,9	4,2
	15.30	0,051	0,040	0,040	8,1	5,8
	18.30	0,049	0,033	0,040	7,5	6,6
N ₂₀₀ P ₁₅₀ K ₁₀₀	6.30	0,057	0,041	0,040	6,9	12,2
	9.30	0,062	0,034	0,043	8,4	9,2
	12.30	0,059	0,043	0,042	10,3	6,7
	15.30	0,064	0,048	0,048	10,1	8,7
	18.30	0,058	0,044	0,046	9,3	9,5
N ₂₀₀ P ₂₀₀ K ₁₅₀	6.30	0,057	0,048	0,051	7,7	11,5
	9.30	0,052	0,045	0,052	9,0	9,0
	12.30	0,060	0,051	0,056	10,7	6,6
	15.30	0,055	0,046	0,050	10,7	8,3
	18.30	0,058	0,049	0,055	9,4	9,1
N ₂₀₀ P ₂₅₀ K ₂₀₀	6.30	0,058	0,049	0,052	7,5	11,1
	9.30	0,051	0,042	0,045	8,8	8,9
	12.30	0,061	0,053	0,055	10,6	6,6
	15.30	0,058	0,049	0,062	10,3	8,4
	18.30	0,060	0,051	0,057	9,4	9,0
K ₁₀₀ +P ₁₅₀ +20 т/га навоз	6.30	0,088	0,066	0,071	14,6	13,4
	9.30	0,075	0,058	0,056	13,9	10,2
	12.30	0,093	0,070	0,075	16,6	7,5
	15.30	0,085	0,076	0,070	17,5	9,5
	18.30	0,106	0,084	0,074	16,5	10,3

На сероземно-луго-вых почвах Северной Мугани, занятой под хлопчатником, интенсивность дыхания почвы колеблется в довольно широких амплитудах: от 5,9 CO₂ до 17,5 кг CO₂/га·ч.

Результаты проведенных исследований показали, что минеральные удобрения и навоз являются эффективными факторами усиления интенсивности выделения углекислоты из почвы в результате газообмена. Под влиянием минеральных удобрений N₂₀₀P₂₀₀K₁₅₀ хлопчатник, например, лучше обеспечивается углекислотой, поскольку количество ее, выделившееся из почвы в результате газообмена, возрастает до 7,7—

10,7 кг $\text{CO}_2/\text{га}\cdot\text{ч}$, тогда как под неудобренным хлопчатником дыхание почвы снижается до 5,9—8,1 кг $\text{CO}_2/\text{га}\cdot\text{ч}$. (таблица).

Замечательным углекислотным удобрением является навоз. Совместное внесение в почву навоза и минеральных удобрений особенно резко усиливает процесс газообмена: 14,6—17,5 кг $\text{CO}_2/\text{га}\cdot\text{ч}$, так как улучшаются условия минерального питания растений и усиливается образование углекислоты почвенными микроорганизмами.

Данные по динамике дыхания почвы в течение дня показывают, что интенсивность продуцирования углекислоты почвой последовательно возрастает с увеличением температуры воздуха и почвы за период 6 ч. 30 мин.—15 ч. 30 мин, когда в ней активизируются биохимические процессы. После полудня, к вечеру (18 ч. 30 мин) температура почвы снижается и постепенно ослабевает дыхание ее. Подобная динамика дыхания почв отмечена нами и на сероземно-луговых почвах Ширванской степи [1].

Сопоставление данных по дыханию почвы и продуктивному фотосинтезу в период активного развития растений (таблица) свидетельствует о том, что за счет дыхания почвы выделяется такое количество углекислого газа, которое в основном превышает показатели продуктивного фотосинтеза растений.

Сопряженные наблюдения за режимом углекислоты приземного слоя воздуха и продуктивного фотосинтеза растений показали, что содержание углекислоты в приземном слое воздуха, особенно в слое, который окружают растения и где непосредственно происходит фотосинтез, подвержено резким колебаниям. Наиболее значительное снижение концентрации углекислоты в ярусе растений (внутри куста) отмечается в утренние (6 ч 30 мин—9 ч 30 мин) и послеполуденные (15.30—18.30) часы, когда углекислота приземного слоя воздуха интенсивно используется растением в результате энергичного фотосинтеза. В утренние часы, особенно в 9 ч 30 мин, концентрация углекислоты внутри куста растений, по сравнению с ее содержанием в припочвенном воздухе, снижается от 16 до 82%.

Концентрация углекислоты в ярусе растений хлопчатника возрастает в 12 ч 30 мин—15 ч 30 мин, когда снижается активность фотосинтетического аппарата растений и увеличивается интенсивность дыхания почвы.

Наблюдающийся дефицит по содержанию углекислоты в ярусе хлопчатника снижает ассимиляцию растений, вследствие чего сельское хозяйство получает заниженные сборы урожая хлопчатника. В связи с этим одной из центральных задач агротехники хлопчатника является разработка приемов, с помощью которых можно было бы регулировать режим углекислоты в приземном слое атмосферы.

Наблюдения над режимом углекислоты в приземном слое атмосферы на поле под хлопчатником показали, что минеральные удобрения и навоз являются важными источниками повышения концентрации углекислоты в приземном слое воздуха и воздействия на процессы фотосинтеза растений. Так, если на удобренном варианте хлопчатника концентрация углекислоты в ярусе растений в период энергичного фотосинтеза составляет 0,027—0,040 об.%, то на фоне минеральных удобрений $N_{150} P_{150} K_{100}$ концентрация углекислоты возрастает до 0,034—0,048 об.%, и продуктивный фотосинтез возрастает до 6,7—12,2 кг $\text{CO}_2/\text{га}\cdot\text{ч}$.

Полученные нами данные показывают, что дальнейшее повышение

доз вносимых минеральных удобрений не способствует росту продуктивного фотосинтеза хлопчатника. Особенно высокие дозы минеральных удобрений $N_{250} P_{250} K_{200}$ способствуют в некоторой степени подавлению продуктивного фотосинтеза (таблица).

Наилучшим дополнительным источником углекислоты является навоз, который при совместном внесении с минеральными удобрениями в дозе $N_{125} P_{125} K_{100} + 20 \text{ кг}/\text{га}$ обогащает приземный слой воздуха углекислотой, в результате чего в ярусе растений содержание углекислоты возрастает до 0,058—0,084 об.%, что благоприятствует усилению продуктивного фотосинтеза до 7,5—13,4 кг $\text{CO}_2/\text{га}\cdot\text{ч}$.

Повышенная концентрация углекислоты влияет тем сильнее, чем лучше другие условия развития хлопчатника (свет, температура, минеральное питание, водоснабжение и др.).

Полученные нами результаты достаточно четко показывают, что навоз является хорошим источником удобрения растений не только азотом и зольными элементами, но и углекислотой, которая освобождается в больших количествах при его минерализации.

Литература

1. Алиев С. А., Раев Н. М. «Изв. АН Азерб. ССР, серия биол. наук» № 1, 41—44, 1973.
2. Дьяконова К. В. «Почвоведение», № 10, 86—92, 1957.
3. Келлер Б. А. «Основы эволюции растений». Изд. АН СССР, 1948.
4. Константинов Л. М. «Влияние углекислоты на рост и развитие растений». Сельхозгиз, 1950.
5. Макаров Б. И. «Почвоведение», № 2, 85—87, 1955.
6. Ничилорович А. А. «Световое и углеродное питание растений. (Фотосинтез)». Изд. АН СССР, 1955.
7. Раев Н. М. «ДАН Азерб. ССР», № 7 64—67, 1970.
8. Самохвалов Г. К. «Новые об углеродном питании растений». Харьков, 1952.
9. Тимирязев К. А. «Жизнь растений». Сельхозгиз, 1949.
10. Циolkовский К. Э. «Растения будущего. Животное космоса. Самозарождение». Калуга, 1929.
11. Шихлинский Э. М. «Климат Азербайджана». Изд-во АН Азерб. ССР. Баку, 1968.

Институт почвоведения и агрохимии

Поступило 3. VI 1980.

С. Э. Элиев, Н. М. Раев

МУГАН ДҮЗҮНҮН БОЗ-ЧЭМЭН ТОРПАГЛАРЫНДА ГАЗ МУБАДИЛЭСИННИН ПАМБЫГЫН ФОТОСИНТЕЗ ПРОСЕССИНЭ ТЭСИРИ

Муган дүзүнүн боз-чэмэн торпагларында газ мубадилэсийн интенсификациин јер сөттөнө јахын гатында карбон газынын көсафотинэ вэ мүхтәлиф минерал вэ үзви күбрөлөр фонунда памбыг биткинин мөңсүлдэр фотосинтез процессинэ тэсире өјрөнүпшидир.

Мүэйян седиаминидир ки, минерал күбрөлөр вэ пеин торпагла атмосфер арасында кеден газ мубадилэсийн шиддәтләндирэн, атмосферин јер сөттөнө јахын гатында карбон газынын көсафотини вэ памбыгын мөңсүлдэр фотосинтез процессини јүксөлдөнөх эффектли амилләрдир.

Тәдгигатларымыз көстәрди ки, наваны јер сөттөнө јахын, хүсүсэн биткин билавасыга энэтэ едэн (битки ярусуунда) гатында интенсив фотосинтез процесси келән дөврө карбон газынын мигдәрү кәсийн дәйшишмәләрә мө'рүз галыр. Бу вахт (630—930) битки ярусуунда карбон газынын мигдәрү билавасында торпаг сөттөнө јахын гата иисбәттөн 16%-дан 82%-э кими азалыр.

S. A. Aliev, N. M. Rzaev

INFLUENCE OF SOIL RESPIRATION ON PHOTOSYNTHESIS IN COTTON ON GREY-MEADOW SOILS OF MUGAN STEPPE

Mineral fertilizer was found to be an important source for increasing the concentration of carbonic acid in earth air and the influence of photosynthesis processes in cotton.

РАСТИТЕЛЬНОЕ РЕСУРСОВЕДЕНИЕ

Н. М. ИСМАИЛОВ, Ф. Ю. КАСУМОВ, Ш. А. АХМЕДОВА

ЭФИРНОЕ МАСЛО ТИМЬЯНА ТРАУТФЕТТЕРА

(Представлено академиком АН Азербайджанской ССР В. И. Ульянищевым)

Род Тимьян-*Thymus* L. является одним из крупнейших родов сем. губоцветных. Его представители широко распространены и в Азербайджане (21 вид) [11]. Характерной особенностью рода является его полиморфизм, а также наличие большого числа эндемичных видов, что свидетельствует о большом потенциале видообразовательных процессов.

Чабрецы обладают лекарственными, пряно-ароматическими и парфюмерными свойствами. Однако единичные виды данного рода (*T. обыкновенный*, *T. ползучий*, *T. капитатус*) изучены в этом отношении детально и применяются в соответствующих производствах [9, 11].

Исследователями за последние 10—15 лет проведена большая работа по изучению полезных свойств чабреца. Выявлено, что многие виды перспективны для практического применения. Так, исследованиями Т. П. Хорт [14] обнаружено, что 3 вида тимьяна Крыма обладают антимикробными свойствами. По данным М. Т. Бгажба [1], *T. кавказский*, *T. закавказский*, *T. буша* обладают антисептическими, гельминтицидными и отхаркивающими свойствами.

Многие виды тимьяна известны как пряно-ароматические. Так, *T. холмовый*, *T. байкальский* рекомендованы при обработке рыбы, *T. маршалла* для применения в консервной и кондитерской промышленности [9].

Об эфирном масле, динамике накопления его и возможности практического применения *T. заревианского* отмечает К. Х. Ходжиматов [12]. Физико-химические свойства и главные компоненты масла тимьяна кочи даны в работе А. И. Хримлян [15]. По Ш. Кутателадзе, И. Лачашвили [8], *T. холмовый*, *T. монетный*, *T. закавказский* имеют в надземной части 0,1—0,6% эфирных масел, обладающих линалооловым, тимольным разнообразием ароматов.

В связи с тем, что дикорастущие виды Тимьяна обладают внутристиковым полихимизмом, придающим им различный аромат и вкус, для получения однородного материала во многих странах стали их культивировать. Так, венгерские авторы Л. Хорнок, Д. Фельдеши, Е. Сас [13] изучили возможность выращивания *T. душистого* (*Th. vulgaris* L.).

В. С. Соколов, Р. А. Буйко, А. Е. Гращенков [10] в числе интродуцированных ароматических растений отмечают и *T. ползучий*, дающий с 100 м² 14 кг надземной массы. Этот тимьян входит в рецептуру «Русского бальзама». Г. А. Дрозд, К. Е. Корещук, Н. С. Фурса [2], выявив высокотимольные хемотипы *T. двуформенного*, проводили первичные опыты по его выращиванию.

Изучая эфирные масла некоторых видов рода тимьян флоры Азербайджана — *T. кочи*, *T. закавказского* и др. Н. Л. Гурвич [3] обнаружила большое разнообразие ароматов эфирных масел внутри вида, обладающего хеморасами. В связи с этим она указывает на возможности различного практического применения фабрецов, в частности *T. кочи*, которого очень много в Нахичеванской АССР.

В течение нескольких лет нами изучаются химический состав и полезные свойства эфирных масел видов тимьяна из флоры Азербайджана. Было показано, что эфирные масла *T. монетного*, *закавказского*, *кочи*, *карамарьянского* имеют разнообразный оромат, обладают антимикробными свойствами и могут применяться в медицине и парфюмерии.

Одним из интересных видов тимьяна, заслуживающего изучения, является эндемичный вид *T. траутфеттера* — *Th. trautvetteri* Klok et Shost, имеющий узкий ареал и встречающийся в засушливой части Талыша — в Зуванде.

Этот тимьян — беловойлочный полукустарничек, без лежачих побегов, достигающий высоты 10—15 см. Листья — яйцевидные, соцветия — головчатые, венчик с белой трубкой. Произрастает на щебенистых склонах, в основном в среднем горном поясе. Цветет в мае — июле, плодоносит в июле — августе.

Тимьян траутфеттера встречается в верхней горной зоне в составе растительности скал южного склона, где скальные формации занимают значительные площади. В составе растительности Зуванда, в зоне 1 800—2 500 м, он встречается в задерненных местах южных склонов с астрагалами. Кроме того, он часто встречается среди растительности каменистых склонов.

Наши поездки в Лерикский и Ярдымлинский район в 1977—1978 гг. дали возможность выявить большие площади в средне-горной зоне, занятые *T. траутфеттера*. Местами он образует небольшие изреженные заросли. В случае надобности заготовки этого вида в указанных районах возможны.

Надземную часть этого тимьяна жители Талыша используют в лечебных целях при болях в желудке, как отхаркивающее, а также для ароматических ванн и припарок.

Наши наблюдения в природе показали, что образцы *T. траутфеттера*, собранные в окрестности сел. Люлекерана и Пирасура, имели различный аромат с преобладанием гераниолового, лимонного, розового запаха. Разнообразие аромата могло происходить от наличия морфологически отличимых вариаций, дающих, возможно, различный аромат, а также от наличия хеморас.

Растения с гераниоловым или линалооловым ароматом попадались нам на щебенистых, галечниковых и на закрепленных местах. Часто в одних и тех же местообитаниях встречаются кусты с разными ароматами, тесно соприкасающиеся друг с другом.

Нам было интересно исследовать состав эфирного масла этого тимьяна, обладающего различными оттенками аромата, тем более, что до сих пор компонентный состав масла и его полезные свойства не были изучены.

Материал для анализа был собран в 1978 г., в окр. сел. Люлекеран во время цветения. Эфирное масло, полученное гидродистилляцией из надземных частей *T. траутфеттера* представляло собой легкоподвиж-

ную жидкость лимонно-желтого цвета с сильным гераниолово-розовым ароматом. Выход масла из надземной части растения составлял 0,90—0,95%, уд. вес D_{20}^{20} 0,9136, n_D^{20} 1,4725 к. ч.—1,9281, э. ч.—32,56, э. ч. п. а.—219,83.

Газожидкостной хроматографией (ЛХМ—8МД) в масле установлено около 60 компонентов. Условия проведения анализа: газ-носитель — гелий, скорость потока 6 мл/мин, Савбахах 20 м, ПЭГ мол. вес 20 000. Размеры капиллярной колонки: длина — 50 м, внутренний диаметр — 0,25 мм, т-ра испарителя 200°, колонки 70—180°, по 2° в 1 мин. Проба масла 0,1 мкл., сборс 1/60, самописец 1 мв, убум 240 мм/ч, ДИП $v=10^{-11}$ А. Идентификация компонентов осуществлялась посредством ввода известных веществ и по времени удерживания [7].

В результате удалось идентифицировать 15 компонентов. Из них наибольшим содержанием обладают следующие: гераниол—10,61%, линолол—9,68%, борнеол—9,41%, геранилакетат—6,32%. Сравнительно в меньшем количестве имеются карнифиллен—2,86%, бизаболоол—2,82%, окись карнифиллена—2,45%, тимол—2,40%, лимонолоол—2,10%, далее мирцен—1,22%, а-пинен—0,86%, *p*-цимол—0,62%, сабинен—0,18%, камфен—0,16%, β -пинен—0,12%.

Полученные образцы эфирных масел Т. траутфеттера прошли дегустацию в Совете парфюмеров Союзпарфюмерпрома Минпищпрома СССР (1978) (3,6 балла). ВНИИСНДВ и в Московском производственном объединении косметической промышленности «Свобода» (1978 г.). По их заключению, эфирное масло Т. траутфеттера с гераниоловой нотой может быть использовано при изготовлении отдушек для мыльникосметических и зубных средств.

Эфирное масло Т. траутфеттера испытано Г. Г. Ибрагимовым на ряде микроорганизмов на кафедре микробиологии Азгосмедицинститута. В отношении золотистого стафилококка и антракоида разведение масла 1:2, 1:3, 1:4, в спиртоводном растворе через 20 мин оказывает бактерицидное действие. В контролльном опыте (без масла) при всех разведениях обнаруживался сплошной рост.

Базубодитель мадуромикоза через 10 мин при всех разведениях культуры терял свою жизнеспособность и высев давал отрицательный результат, а в контролльном опыте микробы гибли через 20—30—60 мин.

Эфирное масло имеет фунгицидное действие на кандиду альбиканс и базубодителя нокардиоза. При всех разведениях после 10 мин они теряли свою жизнеспособность. В контролльном опыте же они гибли при разведении спирта 1:2 через 30 и 60 мин соответственно.

После установления полезных свойств мы проводили первичные опыты по выращиванию Т. траутфеттера на Апшероне. Живые кусты, привезенные из Лерикского района (сел. Люлекеран) в мае 1977 г., были посажены на участке Ботанического Сада г. Баку на трех грядках (6 кв. м—2×3) по 18 кустов. В 1978 г. кусты росли при поливе (два раза в неделю), имели зеленую надземную массу, проходили отдельные фенофазы. Полное цветение растений наблюдалось в конце июня. Во время цветения собранная надземная масса с 10 кустов составляла 550 г. Выход эфирного масла—0,5—1,0%. Было выяснено, что Т. траутфеттера в условиях Апшерона растет и развивается, но дает меньшую урожайность надземной массы по сравнению с естественными условиями обитания и с несколько большим выходом эфирного масла.

Литература

1. Бгажба М. Т. Растительные ресурсы Абхазии и их использование. Изд. Ало-шара. Сухуми, 1964.
2. Дродз Г. А., Корешук К. Е., Фурса Н. С. Новые культуры в народном хозяйстве и медицине. Мат. и конф., ч. I. Киев, 1976.
3. Гуревич Н. Л. Труды «Эфириомасличных сырье и технология ЭМ», вып. I. Изд. Пищепром. Азерб. ССР, серия биол. наук, № 2, 1977.
4. Касумов Ф. Ю., Алиев Н. Д., Ибрагимов Г. Г.: «Изв. АН: Масло-жировая пром.», № 4, М., 1975.
5. Касумов Ф. Ю., Исмаилов Н. М. «Изв. АН Азерб. ССР, серия биол. наук», № 4, стр. 3—8, 1977.
6. Касумов Ф. Ю. Тез. докл. XII науч. сессии бот. садов Закавказья по вопросам: «Интродукции и акклиматизации растений, декоративного садоводства озеленения городов, населенных пунктов». Изд-во «Элм». Баку, 1976.
7. Кутателадзе Ш., Лачашвили И. Дикорастущие эфиры Грузии. Изд. «Сабчота Сакартвелос», Тбилиси, 1968.
8. Суражника Н. С. Природо-ароматические растения СССР и их использование в пищ. пром-ти. М., 1963.
9. Соколов В. С., Буйко Р. А., Грашенико А. Е. Herba Hung, т. 11, № 3, стр. 47—64, 1972.
10. Флора Азербайджана, т. VII, стр. 470—591. Изд-во АН Азерб. ССР. Баку, 1954.
11. Ходжиматов К. Х. Актуальные проблемы изуч. ЭМ растений и ЭМ. Кишинев, 1970.
12. Хорнок Л., Фельдеш и др., Сас Е. Herba Hung, т. 14, № 2—4, стр. 47—65, 1975.
13. Хорт Т. П. IV международный конгресс по ЭМ, т. 11, стр. 206—208. Тбилиси, 1968.
14. Хримляян А. И. Бюлл. бот. сада АН Арм. ССР, № 10 стр. 72—85, 1951.

Институт ботаники

Поступило 10. XII 1979

Н. М. Исмаилов, Ф. Я. Гасымов, Ш. А. Эхмедова

ТРАУТФЕТТЕР КЭКЛИКОТУНЫИ ЕФИР ЙАФЫ

Ендемик битки Thymus trautvetteri et erl Klok. et Shost ефир јагы (0,95% гуру јерусту һиссәде). Газ-маје хроматографија усулу илә тәдгиг олунараг тәркибинде 60 компонент мүэஜән едилмишидир. Оилардан 15-и тә'јин едилмишидир. Эсас компонентләр: кераинол—10,61%, линолоол—9,68%, борнеол—9,41%, геранилакетат—6,32% карнифиллен—2,86%, бизаболоол—2,82%, тимол—2,40% тәшкыл едир.

Ефир јагы гызылы смафилококка, антраконда, мадуроликоз төрәдичинә, албиканс кандидина антиликроб тә'спир көстәрир.

Ефир јагындан ССРИ Јеңити Сәнајеси Назирлијинин, Үмумиттифаг елми-тәдгигат синтетик табии этирли маддәләр институту ва Москва «Свобода» косметика фабрики (3,6 балл) тәрәфиндән, этиријатда истифадә едилмәсі төвсіјә олунмушидур.

N. M. Ismailov, F. Yu. Kasumov, Sh. A. Akhmedova

THE ESSENTIAL OIL OF THYMUS TRAUTVETTERI KLOK. ET SHOST.

The essential oil of endemic Thymus trautvetteri Klok. et Shost. has been examined. 60 components have been determined in the essential oil by means of gas-liquid chromatography. 15 of them have been identified (geranol, linalool, borneol, geranilacetate and others). The essential oil has an antimicrobial effect upon a number of microorganisms.

The oil has been recommended as an aromatizer of cosmetic and tooth remedies by the All-Union Research Institute of Synthetic and Natural Fragrant Substances, Soyuzparfumprom and "Svoboda" factory (Moscow).

УДК 03.

ВОСТОКОВЕДЕНИЕ

Дж. З. БУНИЯТОВ

КАРМАТЫ: ПРОИСХОЖДЕНИЕ И НАЧАЛО АКТИВНОСТИ

(Представлено академиком АН Азербайджанской ССР З. М. Буниятовым)

Почти весь IX век был для халифата Аббасидов периодом великих потрясений и испытаний. Мощные антихалифатские восстания племени Зутт в южном Ираке (820—835 гг.), восстание коптов в Египте (831 г.), восстание хуррамитов в Азербайджане (816—837 гг.), восстание суфийидов в Палестине (840—842 гг.), восстание зинджеев (868—883 гг.) и, наконец, восстание карматов или «большевиков в исламе», как их называют некоторые западные исследователи¹, начавшееся в 879 г. в Ираке, привели к тому, что мощная империя Аббасидов распалась на отдельные полу- и независимые от Багдада государства.

Начавшееся в окрестностях Куфы как движение за возврат к первоначальному исламу, за богоугодного имама из рода пророка Мухаммада, это движение вскоре, благодаря широкому участию в нем различных слоев населения, принимает опасный для Аббасидов социальный характер. Приверженцы Хамдана Кармата — первого руководителя этого движения — быстро распространились по Ираку, Хорасану и Сирии, а затем перенесли свою деятельность на территорию Йемена, где их вождем был Ибн Хушаб.

Вскоре движение принимает особый размах в южной части Бахрейна, где находит самую благодатную почву среди кочевого и оседлого населения ал-Ахсы. Здесь карматы основывают свой халифат благодаря талантливому предводителю Абу Са'ду ал-Джаниби.

Движение карматов приняло невиданный широкий размах в первой трети X в. под руководством Абу Тахира Сулаймана. Однако жестокость и нетерпимость карматов по отношению ко всем инакомыслившим постепенно ослабляет их социальную опору и через некоторое время оно сходит на нет по пути сектантского дробления.

Много споров вызывает у историков этимология слова *кармат*. Ибн ал-Джаузи² для объяснения этого слова приводит шесть версий:

Первая — основоположником учения карматов был Мухаммад ал-Варрак ал-Мукармат, по происхождению куфиец.

Вторая — у карматов был предводитель из ас-Савада Куфы, на батеец, по прозвищу Карматвейх, по имени которого они и названы.

Третья — Кармат был гулямом Исмаила ибн Джадара³ и карматы получили свое прозвище по его имени. Кармат придавал их высказываниям нужную форму.

Четвертая — некто из их проповедников (*да'и*) поселился у человека, которого звали Кармит и когда проповедник уехал, человек принял их учение, стал именоваться как Кармат ибн ал-Аш'ас.

Пятая — одним из проповедников их учения был человек по про-

звищу Кармита⁴ и когда он уехал, то тот, у которого проповедник был на постое, стал именоваться Кармита, но имя это для облегчения стало произноситься как Кармат⁵. Биографы отмечают, что этот проповедник был из Ахваза (Хузистан).

Шестая — имя кармат является производным от *нисбы* их проповедника, которого звали Хамдан ибн Кармат и который был выходцем из Куфы.

Нам кажется, что название секты происходит от имени Хамдана ибн Кармата, если мы вспомним, что это тот самый Кармат ибн ал-Аш'ас, у которого останавливался проповедник из Ахваза и что карматы появились лишь после того, как этот ал-Ахвази прибыл в окрестности Куфы, где его встретил Хамдан ибн Кармат, ставший затем во главе его последователей. Кроме того известно, что у Исмаила ибн Джадара слу ги по имени Кармат не было⁶.

Следует отметить, что сами карматы себя таковыми не называли, а глава карматов именовался «Раб Аллаха, помощник Аллаха, стоящий за приговор Аллаха» (*Абдаллах ал-махди ал-mansur-billah an-nasir lidin-Allah al-karim bi-amrillah*)⁷. Карматами их нарекли враги в знак презрения, употребляя слово кармат как «обманщик», «мерзкий» или «мошенник». Этими эпитетами карматы впервые стали награждаться в Дамаске, а затем уже и в других местностях. Весьма вероятно, что произошло оно от выражения, которым пользовались арабы для определения обещания, обещание называлось обещанием *мукармат*⁸.

В. Иванов⁹ полагает, что слово *карамита* известно у жителей городов южного Ирака, оно по происхождению неарабское и употреблялось в значении либо «крестьянин», либо «деревенский житель», но затем было арабизировано и приняло форму *кармат*. И поскольку Хамдан ибн ал-Аш'ас был известен под этим именем, то и его последователи стали именоваться карматами.

Лексическое обоснование слову *карамита* дает Де Гье: «Карматом называют человека с коротким шагом, кто семенит при ходьбе, а также писца, если тот имеет убористый мелкий почерк. Хамдана ибн ал-Аш'аса прозвали *карматом* за малый рост и короткие ноги»¹⁰.

Историки расходятся во мнении относительно начала распространения учения (*да'ва*) карматов в Ираке. Эти мнения можно разделить на две группы: первая группа источников полагает, что учение это про никло в Ирак через исмаилитского проповедника ал-Хусайна ал-Ахвази. Группу эту возглавлял ат-Табарани¹¹, который указывает, что из Хузистана (Ахваза) в окрестности Куфы прибыл некий проповедник и поселился здесь. Он стал вести полную воздержания и набожности жизнь, очень много молился — до 50 молитв днем и ночью. Когда слава о нем распространилась среди народа, он провозгласил, что проповедует веру в имама из рода пророка Мухаммеда, и стал разъяснять людям суть своего учения, которому и последовало население этого края. В числе его последователей оказался и Хамдан Кармат, в доме которого остановился проповедник.

Когда из-за большого числа молитв, предписанных ал-Ахвази, стала замедляться работа на полях и плантациях, то хозяин — крупный землевладелец воспыпал гневом против ал-Ахвази. Он был схвачен, но ему все же удалось бежать в Сирию. Его преемником в округе Куфы стал Хамдан Кармат, сподвижников которого с этой поры стали именовать карматами.

ан-Нувайри¹², ссылаясь на Аху Мухсина¹³, приводит другую версию этого сообщения: глава исмаилитов Ахмад ибн Абдаллах ал-Каддах направил в ас-Савад (Куфу) в качестве проповедника (*да'и*) ал-Хусайна ал-Ахвази. Здесь он встретил Хамдана ибн ал-Аш'аса Кармата и стал склонять его к своему учению, которое тот принял. Затем ал-Ахвази поселяется в доме Кармата, прикидываясь благочестивым и набожным. После смерти ал-Ахвази продолжателем его учения стал Хамдан Кармат.

Как видим, версии ат-Табари и Аху Мухсина непротиворечивы и дополняют одна другую.

Попробуем согласовать события, связанные с этими версиями:

1. ал-Хусайн — родом из ал-Ахваза, получив указание главы исмаилитов, отправился в Ирак проповедовать учение исмаилитов.

2. ал-Хусайн, поселившись у Хамдана ибн ал-Аш'аса Кармата, берет с него клятву верности имаму исмаилитов.

3. ал-Ахвази настаивает на том, что будет жить на свой заработок, чтобы не быть ни для кого обузой.

4. Когда люди стали выполнять предписания проповедника ал-Ахвази и забросили работу на полях, то один из крупных землевладельцев разгневался на ал-Ахвази, его ловят, но ему удалось бежать¹⁴.

Единственным пунктом, по которому эти две версии противоречивы — это бегство ал-Ахвази в Сирию (по ат-Табари) и его смерть (по Аху Мухсину)¹⁵, но это противоречие, на наш взгляд, несущественное.

5. После смерти ал-Ахвази пропаганду исмаилитского *да'и* в ас-Саваде Куфы успешно продолжает Хамдан Кармат.

Необходимо указать на явное противоречие между версиями Аху Мухсина и Иби ан-Надима, заключающееся в факте направления ал-Ахвази в Куфу. Аху Мухсин говорит, что ал-Ахвази был отправлен в округ Куфы в 264 г. х. (877 г.) Ахмадом ибн Абдаллахом ал-Каддахом, возглавившим секту исмаилитов после смерти своего отца. У Иби ан-Надима¹⁶ отмечается, что ал-Ахвази был отправлен Абдаллахом ал-Каддахом в 261 г. х. (874 г.), но ат-Табари¹⁷ говорит, что «прибытие Кармата в округ Куфы имело место до казни предводителя зинджей». Под Карматом здесь имеется в виду ал-Ахвази, ибо Хамдан Кармат был жителем ас-Савада и его не надо было туда посыпать.

Теперь сопоставим все имеющиеся у нас факты.

1. Восстание зинджей продолжалось с 255 по 270 гг. х. (868—883 гг.).

2. ал-Ахвази пытался привлечь главу зинджей в свою секту, обещая ему военную помощь в его борьбе против Аббасидов, но *Сахиб аз-зиндж* ответил отказом¹⁸.

3. Военная мощь зинджей к 264 г. х. (877 г.) значительно возросла¹⁹ и можно предположить, что этот отказ *Сахиба аз-зиндж* от помощи мог быть только в упомянутом году, ибо отказ от помощи в начале или в конце восстания был бы делом неразумным, тем более, что *Сахиб аз-зиндж* в те годы в военной помощи крайне нуждался.

Таким образом, утверждение С. де Саси²⁰ о том, что ал-Ахвази был отправлен в округ Куфы не в 264, а в 274 г. х. (887 г.) — несостоитительно, ибо *Сахиба аз-зиндж*, с которым встречался ал-Ахвази, в живых уже не было. Также ошибочной и необоснованной является дата Кл. Хьюара²¹, который датирует эту встречу периодом между 250 и 260 гг. х. (864—873), ибо пребывание ал-Ахвази в ас-Саваде было кратковременным.

Таким образом, правильной является дата встречи (264 г.), приведенная Аху Мухсином.

Вопрос о возникновении религиозной общины карматов в источниках освещен также по-разному и согласно Сибту ибн ал-Джаузи²², у нас есть об этом три версии.

Первая — ал-Ахвази был первым распространителем учения карматов в округе Куфы (ас-Савад).

Вторая — основателем этого вероучения был житель Куфы по имени Мухаммад ал-Варрак, известный как Кармат.

Третья — один из исмаилитских *да'и* арендовал стадо крупного рогатого скота у человека по имени Кармат ибн ал-Аш'ас, которого призвал следовать своему вероучению и тот согласился принять его, после чего Кармат ибн ал-Аш'ас стал исмаилитским проповедником.

Однако все сообщения источников говорят, что распространителем учения карматов в округе Куфы был именно ал-Ахвази, а не Мухаммад ал-Варрак. Это ясно прослеживается у ат-Табари, Иби ал-Асира, ал-Макризи, ан-Нувайри и других авторов и четко комментирует Сибт ибн ал-Джаузи, отмечающий, что из трех этих версий «самая верная — первая», т. е. распространителем учения карматов в округе Куфы был ал-Ахвази.

Итак, сведения источников дают основание утверждать, что движение карматов началось с пропаганды ал-Хусайна ал-Ахвази, а первым и главным идеологом и вождем карматов был Хамдан Кармат, с именем которого и было связано все это движение и восстание.

Примечания

¹ Hitti Ph., History of the Arabs, London, 1946, p. 444.

² Иби ал-Джаузи, ал-Мунтазам, т. V, ч. 2, Хайдарабад, 1357 г. х., стр. 111.

³ Исма'ил (ум. в 760 г.) был сыном шестого шиитского имама Дж'фара ас-Садика.

⁴ Слово *кармита* по-набатейски означает «красноглазый». В дальнейшем оно подверглось упрощению и стало произноситься как *кармат*. См.: ат-Табари. Тарих ал-умам, т. VIII, стр. 160.

⁵ Иби ал-Асира, ал-Камил, т. VI, стр. 69.

⁶ ал-'Айчи, ал-'Икд ал-джуман, т. XVII, стр. 538.

⁷ ал-Макризи. Итти'аз ал-хунафа. Иерусалим, 1938, стр. 119.

⁸ De Goeje M. Mémoire sur les Carmathes, Leyden, 1881, p. 200.

⁹ Ivanow V. The Rise of the Fatimids, Calcutta, 1942, p. 69.

¹⁰ De Goeje M. Mémoire, pp. 191—201.

¹¹ ат-Табари т. VIII, стр. 159—160; Иби ал-Асира, т. VI, стр. 69.

¹² ал-Нувайри, Нихайат ал-араб, т. XXIII, стр. 56 и сл.

¹³ Аху Мухсин — ученый богослов аш-Шариф Абу-л-Хасан Мухаммад. Был прямым потомком шестого шиитского имама Дж'фара. Умер в 985 г.

¹⁴ ат-Табари, т. VIII, стр. 160.

¹⁵ ал-Нувайри, т. XXIII, стр. 57.

¹⁶ Иби ан-Надим, ал-Фихрист, т. I, стр. 187.

¹⁷ ат-Табари, т. VIII, стр. 162.

¹⁸ Сибт ибн ал-Джаузи. Мир'ат аз-заман, т. VI, стр. 640.

¹⁹ ат-Табари, т. VIII, стр. 36—41.

²⁰ De Sacy S., Exposé de la religion des Druzes, v. I, Introduction, Paris, 1838

п. 166.

²¹ Huart Cl. Histoire des Arabes, v. I, Paris, 1912, p. 232.

²² Сибт ибн ал-Джаузи, т. VI, стр. 640.

М. З. Бүнядов

ГЭРМЭТИЛЭРИН МЭНШЭЛ ВЭ ФЭАЛЛЫГА БАШЛАМАЛАРЫ

Мэгалэдэ гэрмэт тэригэтийн ады илэ бағлы олан «гармат». сөзүүн етимолохијасы арашдырылсыр. Бу мэгсэдэл Ирагда гэрмэтилэри төлиминий яйымасы, онларын фэаллыга башламасы, сонралар исэ, бу төлимин хилафээ гарши гүдрэли үсжана чөврийн эхсийн эх сидирэн орта эсрэб мэнбэлэрийн мугаисэли мэлуматы верилмишдир.

Dj. Z. Bulyatov

QARMATIANS: THE ORIGIN AND THE BEGINNING OF THEIR ACTIVITY

In this paper we analyse the etymology of the term *qarmat* which determines the qarmatians' sect. Besides, the comparison of the information of medieval sources concerning the beginning of expansion of qarmats' studies in Iraq and their activity is given which then overgrew into a powerful anti-caliphate revolt.

АЗЭРБАЙЧАН ССР ҮЛМЛЭР АКАДЕМИЈАСЫНЫН МЭРУЗЭЛЭРИ

ДОКЛАДЫ АКАДЕМИИ НАУК АЗЕРБАЙДЖАНСКОЙ ССР

ТӨМ XXXVII ЧИЛД

№ 5

1981

УДС... 391(479—24)

ЭТНОГРАФИЯ

И. Н. ШАҢБАЗОВ

ШАҢДАФ ЕТНИК ГРУПУНУН КЕЙИМ ВЭ БЭЗЭКЛЭРИ ҺАГГЫНДА

(Азэрбајҹан ССР ЕА академики М. Ч. Чәфәров тәгдим етмийдир)

Шаңдаф этник группу ады алтында танынан Хыналыг, Гырыз, Будуг, Һапут, Чек, Элик вэ Іеркуч көндлэрийн өналиси Шаңдафынын шэргүтэклэрийдэ яшајан кичик бир этник групудур. Эсрлэрдэн бэри уча дагларын гојиунда, санки этраф алэмдэн тэчрид едилмиш шэкилдэ яшадыгларындан бүнларын мэишэтийнде бир сырьа фәргли чэхэтлэр мејдана қөлмишдир. Мэхэз бу фәргли чэхэтлэр арашдырыб талмаг ишийдэ онларын кејимлэрийн тэдгигинэ бөյүк өнтијаач варды. Шаңдаф этник группунун өналиси кечмишдэ натурал тэсэрүүфат һалында яшадыглары үчүн кејимлэр эсас етибары илэ ев шәрәитиндэ назырланырды. Белэ вэзијјэт кечэн эсрин 20-чи илләрийнэдэк давам етмишдир.

Гејд этмэк лазымдыр ки, кејим материалларынын чешиди һэр шејдэн өввэл өналини тэсэрүүфат һәјаты илэ үзви сурэтдэ бағлы олмушдур. Ингилабдан өввэл бурада халгын эсас мәшүүлийжэт саһеси гојунчулуг олдугуудан эсас кејим материалы кими јун вэ дәридэн кениш истифадэ едилмишдир.

Шаңдаф этник группунун мэишэтийн бөгөөд сидэн П. В. Котляревски кечэн эсрин ахырларында гејд сидирди ки, бурада көндлүүлэри тэсэрүүфат һәјатында гојунчулуг бөйүк рол ојнајыр. Көjnәк истигна олмагла папагдан тутмуш, та чораба гэдэр онларын бүтүн палтарлары јундан назырланыр¹.

Ингилабдан өввэл киши кејимләри эсасэн ев шәрәитиндэ тохунаан шалдан назырланырды. Хыналыгда тохунаан јун шал этраф көндлэрдэ хүсусилэ мәшүүр иди. Дээкаһда тохунаан шал материалдан һэм долаг мэгсэди илэ истифадэ олуунур, һэм дэ шалвар (Хыналыгча «чухучкар»), архалыг вэ чуха тикилирди. Кечмишдэ этраф көндлэрдэ тој сидэн бэјлэр арасында Хыналыг шалындан тикилмиш чуха дэбдэ иди².

Варлы тэбэгэлэр арасында башлыча кејим материалы кими элдэ тохунаан шал јох, маһуд даһа кениш ишләнирди. Гочаларын вердији мэлумата көрэ кечмишдэ Шаңдаф этник группу эсасында кустар үсүү илэ тохунаан маһудла јанаши, фабрикдэ тохуумуш зэриф маһуд да ишлэх

¹ П. В. Котляревски. Экономический быт государственных крестьян Северной части Кубинского уезда, Бакинской губернии. «Материалы для изучений экономического быта государственных крестьян Закафказского края», т. II, ч. I. Тифлис, 1886, стр. 360.

² И. Н. Шаңбазов. Гэдим шал дээкаһлары, «Елм вэ һәјат» журналы, № 4, 1975, сәх. 31.

нирди. Бунларын һәр икиси базардан алынырды. Элдә тохунан маңуд эн, соң хыналыглар вә ләзкиләрдән, фабрик маңуду исә Бакы; Губа вә Дәрбәнд шәһәрләриндән алынырды.

Кечмишдә киши кејимләри тәтбиғ олунан әразидә әсасән ейнилик тәшкүл әдәрәк ашағыдақылардан ибарәт иди: чарыг, чораб, долама шал, көjnәk; шалвар, архалыг, чуха, папаг вә күрк.

Ингилабдан әvvәлки әдәбијатда Шәһдағ етник группунун кејимләрин һәср едилмиш хүсуси тәдгигат әсәrlәri јох иди. Гејд етмәк лазымдыр ки, бу кејимләrlә гоншу Азәрбајҹан кәндләринин әналисисинин кејимләри арасында бичим әтибары илә әсаслы фәрг олмамышды³. XIX әсерин әvvәllәrinә аид бир мәнбәдә гејд олунур: «бүтүн әналиниң үст палтары ейни формалы олуб, дәшүчаыг гыса архалыгдан ибарәтдир. Варлыларын архалығы ипекдән, касыбларының без вә читдән олур. Архалығын үстүндән көшә вә ја шал гуршаг бағлајырлар. Бунун үстүндән исә яхасы ачыг узунголлу чуха кејирләr⁴. Пешәси илә әлагәдар олараг Шәһдағ етник группу јапынчы вә күрк дә кејирдиләр. Умумијјәтлә, күрк икى чүр олурду: ишдә кејиләn күрк вә мә'рикә күркү. Гырызча мә'рикә күркүнә «бүрүнмә киш», ишдә кејиләn күркә исә «гиәнин киш» дејилир.

Алт палтары әсасән чит вә ја бездән тикилмиш көjnәk вә дизликтән ибарәт иди. Чит, без әсасән Губа шәhәrinдәn, ја да бу кәндләрә кәләn јеhуди алверчиләrinдәn алынырды.

Кишиләр бир гајда олараг хам вә ашыланмыш көндәn (гырызча ашыланмыша «шәләмир» вә «әдин шәләмир») чарыг, чуст, узунбогаз ىәкмә вә башмаг (гырызча сәрмич) кејирдиләr. Ашыланмыш чарығы бә'зәn онлар Губадан (гырызча сәрмич) кејирдиләr. Ашыланмыш чарығы бә'зәn онлар Губадан алырдылар. Аяг кејимләrinдәn шал илә јанаши чораб да кениш јер тутурду. Чорабы әсасән гадынлар вә гызлар тохујурдулар.

XIX әсерин II јарысындан башлајараг көjnәk шилә, гәdәk, чит, без, сөтин, «нумајын ағы», «Фирәнк ағы» вә «Прохоров ағы» адланан парчанардан тикиләrди. Көjnәjә гырыз, будуг вә хыналыгча «бирhәm» дејилир. Хыналыг вә Будуг кәндләrinдә јундан хүсуси көjnәklik парчашал-хыналыгча «каркә» вә гырызча «кулбә» адлы тохучу дәзкаһында тохунурду. Бу парчанын чох инчә тохунушу вә хову оларды. Дағ кәндләrinин һамысында көjiәjin бичим формасы ейни иди. Онун яхасы ачыг олуб дизэ чатырды. Бунун сәбәби онунла изаһ едиләrди ки, јун шалдан тикилмиш көjnәk һәрәkәt вахты. бәdәni сүртүр, хүсусилә јајда исти олурду. Көjnәjин узун олмасы бәdәnin сүртүлмәsinin гисмәn гаршысыны алырды. Бойдан асылы олараг көjnәjин тикилмәsinә тәхминәn 3 метрә гәdәr парча ишләnәrди. Јашлы вә ўшаг көjnәjini бичим үсулуна көrә бир-бириндәn о гәdәr фәргләnimirди. Бој үчүн иәzәrdә тутулмуш парчаны ики јерә гатлајыб тәn ортадан бояз јери вә јаха ачырдылар.

Тикиш машыны олмадығындан бир гајда олараг кечмишдә палтары эллә тикирдиләr.

Көjnәk Шәһдағ етник группунда дүzжаха шәklinde тикиләrdi⁵. Алт иә үст көjnәk бичимиñ көrә o гәdәr бир-бириндәn фәргләnimirди. Лакин дөгрәма бичим үсулуnda һазырланмыш көjnәkler иисбәtәn сонралар

мејдана кәлмәsinә бахмајараг даһа кениш јајылмышдыр. Дөгрәма гајдада һазырланмыш көjnәk күрәk, габаг (дөш), гол, бојун, хищәk, чибжими һиссәlәrдәn ибарәt иди. Бу һиссәlәr бир-биринә бәхjә тикиши илә тикиләrди. Кишиләrin шалвары (хыналыгча шалвар «чухчугар», гырызча елә «шалвар» дејилир), јухарыда дејилди кими шалдан тикиләr, готазлы туман бағы (гырызча туманбагы «гадул», хыналыгча «век» адланыр) илә бағланырды.

Адәtәn үст палтарын алтындан «ағ туман-көjnәk» кејилирди. Истәr шадварларын вә истәrсә dә алт вә үст туманларын һифәләr туманбагы илә бағланарды. Башга алт палтарындан дизлик (будугча «ахчыг», хыналыгча «чугар» адланыr) әсасәn әналиниң варлы тәbәgәlәrinә мәхсүs кејим типи иди.

Тәdгиг едиләi зонада туманбагыны туман (гырызча «гылгад») гадынларын әсас кејим формасы иди.

Гадын туманы 10—12 тахтадан тикиләrди. Адәtәn туманын узунлугу топуғадәk чатыр, белдәn бүзмәli олдуғуидан туманбагы илә мәhкәm бағланырды. Варлы гадынларын тој вә бајрамларда кејmәk үчүн зәрхара вә гановуздан тикилмиш бир нечә дәst палтары олурду. Адәtәn кәlinlik палтары да бу чүр баһалы парчалардан тикиләrди. Бир гајда олараг туманын этәji мұхтәлиf иев бәzәkләr (баfta, гаракәz, һәremi) күмүш вә гызыл пул, гијmәtli ипек парчалардан «балаг ајагы күбә» шәklinde тикиләrди. Варлы гадынларын туманынын балағы 2—3 чәркә бешлик; онлуг гызыл пулла бәzәniрди. Чох вахт балағ ајагы күбәниң арасына «риал» вә ја «империал» дүzүлүрdu.

Тәsәrrүfат мәшгулиjjети вә чографи шәрант дағ кәндләrinдә гадынларын гошабалаг (хыналыгча «дарчугар») вә енили туман «чугар» адланan палтар кејimmәsinи зәрури етмишdir. «Дарчугар» әксәr налларда бездәn тикиләrди. О, шалвар бичимиñdә, лакин чох енили бичилиб, тәk балаг вә ја ики һиссәdәn ибарәt олуб-олмамасы һиссә едилмирди. Дарчугар, әсасәn at миндикдә, чөл тәsәrrүfаты ишләri илә мәшгул олдуғда кејилиrди.

Бу баһымдан Хыналыг гадынларынын кејимләri олдуғча мараглыдыr. Гадынлар ишдә гошабалаг—«дарчугар», евдә исә мұхтәlif бичимдә енили туман—«чугар», јаҳуд бүзмәli don, «бүзмәli валчах», чәркәzi don—«чәркәzi валчах» вә онларын алтындан «мичә дарбалаг» (гара дарбалаг) кејerdilәr. Бүзмәli donun яхасы кечирмә илә бағланырды. Белә палтары чох вахт ушаглы гадынлар кејerdilәr. Јахасы тинәdәn ачыг олдуғундан, бир гајда олараг онун үстүндәn (габаглыг, өнүлүк) тахырдылар.

Чаван гадыннын әлиниң көrүнмәmәsi үчүн донун голуна «әләsti» (әлүстү) тахырдылар. «Әләsti» дирсәkдәn бармагларын учун гәdәr узанарды. Әләstiинин донун голу илә бирләшәn јеринә ромб шәklinde арпа бојда «јенкә» вә онун јанындан да «сарма» адланан күмүш «бору-чуглар» тикиләrди.

Чаван гадынлар кәlәfaýydan (бишмәdәn) дингә дүzәldir вә онун үстүндәn «зашгири» (хыналыгча)—гармаг тахырдылар! Зашгиридәn гызыл (бу, күмүш, гызыл вә дәmirdәn dә олурду) пуллар асылырды.

Чуха бир гајда олараг архалығын үстүндәn кејилиrди. Бу кејим формасы мұхтәlif адларла Гафгаз халглары үчүн демәk олар ейни иди. Амма һәr bir халгын чухасы милли хүсусijjәtlәrә малик иди. Ермәni, күрчү халгларында чуха габагдан бағланығы налда⁶, бу, Шәһдағ етник группунда вә үмумијjәtlә aзәrbaijchanlylarда ачыг галырды.

³ Народы «шахдагской группы» (будугцы, крызы и хиналугцы), «Народы Кавказа», т. II, М., 1962, с. 202.

⁴ П. В. Котларевский. Көстәриләn әсери, сәh. 364.

⁵ Э. Г. Торчинская. Мужская одежда Азербайджанцев XIX—начала XX в. «Хозяйства и материальная культура народов Кавказа в XIX—XX вв.» Москва, 1971, с. 139.

⁶ А. Н. Мустафајев. Ширванын мадди мәдениjjети. Бакы, 1977, сәh. 69.

Гырыз вә Хыналыгда гадынлар ајагларына мәст (назик чәкмә), ястыдан вә дикдабан башмаг кејирдиләр.

Хыналыгда гызлар үчүн чөнзүлүк тохунаң чораб «чыг инчамиз», ј'ни таблы чораб адланырды. Бу чораблар рәнкарәңк ипдән олуб бәзекли тохунурду. Будугда гадын чорабы «кәмәч» адланырды ки, бу өзү дә ики јерә бөлүнүрдү. Биринчиси, дөрдгат ипдән тохунараг «гирчири», икинчиси исә ики гат ипдән тохунараг «саја» адланырды. Бу чораб тез јыртылырды. Киши чораблары исә «гааф» адланырды. Хыналыгда гадын чораблары «инчамиз», Гырыз кәндләринде (Әлик, Іеркуч, Іапут вә Чекдә) — «кәлчәм», киши чораблары исә «кунач» адланырды.

Кечмишдә һәр бир айләдә гадын вә гызларын һамысы чораб, шалбагы, неһрәбағы вә чарығбағы тохумагы бачарырдылар. Чүнки һәр бир аяна, адәтән, кичик јашларындан гызына тохучулуг сәнәтини өјрәдирди. Одур ки, эрә кедән гыз чөнзүлүк олараг өзү илә башга шејләрлә јанаши бә'зән 30—40 чут ушаг, гадын, киши чорабы вә мұхтәлиф бағлар апарырды.

Һәтта Шаһдағ кәндләриндә тохунаң чораб этраф кәндләрә дә апарылыб ја мејвәјә дәжишдирилир, ја да нәгд пул илә сатылырды. П. В. Котләревскиниң јаздығына көрә, кечмишдә бүтүн јајлаг зонасында, эн соҳи гырмызы рәнкли јун ипдән чораб тохунурду⁷.

Гадын чорабларындан фәргли олараг киши чораблары дизә гәдәр тохунурду. Һәм дә чарыгла кејилән чорабын алтына бездән вә ја шалдан алтыг тикирдиләр. Ушаглар исә соҳи вахт чарыгсыз вә ја ајаггабысыз да кечинирди.

Һансы тәбәгәјә мәнсуб олмасындан асылы олмајараг һәр бир гадынын күмүш, аз да олса гызылдан бәзәк шејләрни олурду. Бунлара сырға, голбағ (зук), бојунбағы (гандыр), үзүк (мичечил), биләрзик (гиләм) (гырыз дилиндә), алынылыг, кәмәр, тәкбәнд, палтарарабәнедици мұхтәлиф бәзекләр дахил иди.

Чөл етнографик материаллары көстәрир ки, башга халғларда олдуғу кими Шаһдағ етник группуда да кејим бәзекләри та гәдим заманлардан мүһум јер тутур⁸. Һәтта бунлары шаһдағлыларын јашадыглары әразидә апарылан газынты ишләри дә тәсдиг едир. Метал бәзекләр Губа, Дәрбәнд, Кәбәчи, Ләңгәч вә башга шәһәр вә гәсәбәләрдә һазырларынды. Бу усталар зәркәрлик сәнәтини бүтүн үсулларындан (дөјмә, басма, хатәмкарлыг, гарасавад, шәбәкә, минасазлыг вә с.) мәһәрәтлә истифадә етмишләр. Эсримизин әвшәлләринә гәдәр зинәт шејләрни гызыл, вә күмүшдән дүзәлдилерди⁹. Ејни заманда гијмәтли дашлардан (зүмруд, алмаз, кәһраба, фүрузә, әгиг, јагут, мирвари, дәвәкезү, шүвә вә с.) да истифадә едилерди.

Шаһдағ етник группуда зәнбил сырға, шарлы сырға, гырхудүjmә, дөрддүjmә, бәһли сырға вә б. кими сырға нөвләри кенини јајылмышыды. Сыргаларын күрә һиссәсини алмаз, јагут, фүрузә вә башга дашларла ишләйтириләр.

Гадын кејимләриндә гызыл вә күмүшдән дүзәлдилмиш чут габаг, гызыл санчаг, гармаг, алынылыг вә с. бәзекләр олмушшур. Бир гајда ола-

раг гармаг чалманы, гызыл санчаг исә өрләкләри башда бәрк сахламаг үчүн истифадә едилмишdir.

Гадын вә гызлар мұхтәлиф бојунбағылардан истифадә едирдиләр. Қасыбларын бојунбағысы ади, мунчугдан, варлыларыны исә мирвари, кәһрәба, јаҳуд гызылдан дүзәлдилмиш «ајпарадан» ибарәт иди. Бојун, бағынын ортасындан гызыл онлуг кечирилир вә ондан ајпара вә улдуз, јаҳуд әләм асылырды. Гадынлар бојунларындан «ајулдуз», «арпа» вә ја мирвари бојунбағы илә јанаши һәмәյл да асырдылар. «Ајулдуз» бојунбағынын пуллары гызыл бешлик вә онлугдан олуб, бә'зиләри соҳи қәриф шәкилдә ишләнириди.

Биләк вә бармаг бәзекләри голбаг вә үзүкләрдән ибарәт иди. Үзүкләр өзләри дә гашлы вә гашсыз олуб ики нөвә айрылырды. Зүмруд вә брилжант гашлы үзүкләр баһа баша кәлдијиндән соҳи јүксәк гијмәтләнирилирди.

Киши бәзекләри үзүк, күмүш гајыш, ширмајы дәстәли күмүш гынылы хәнчәр вә с. иди. Кечмишдә Шаһдағ кәндләринин әналиси тәһлүкәдән горуимаг үчүн һәмишә јанларында хәнчәр¹⁰ кәздирәрдиләр.

Беләликлә гејд етмәк лазымдыр ки, Шаһдағ етник группун кејимләри үмуми Азәрбајҹан кејимләри илә єјнијјэт тәшкил етсә дә, јерли шәрантә ујғун олараг өз милли хүсусијјәтләри дә олмушшур.

Азәрбајҹан Тарих музейи

Дахил олмушшур
Алынышдыр 10.1.1980.

И. Г. Шахбазов

ОДЕЖДА И УКРАШЕНИЯ ШАХДАГСКОЙ ЭТНИЧЕСКОЙ ГРУППЫ

Статья посвящена одежде и украшениям шахдагской этнической группы (грызцев, хыналугов и будугцев), считающейся предками древних албанцев, которые проживают в Кубинском районе.

В статье рассматривается традиционная мужская и женская одежда, изучается техника изготовления материала. Приведенные примеры дают основание установить, что исследованные народности в своих одеждах имеют не только общность, характерную для всего Азербайджана, но и некоторые отличительные, локальные особенности, что объясняется социально-экономическими и естественно-географическими факторами.

I. H. Shahbazov

CLOTHES AND DECORATIONS OF SHAHDAG ETHNIC GROUP

The clothes and decorations of Shahdag ethnic group, their variety and the area of spreading are investigated in this article.

¹⁰ К. Н. Элијев. Албанијанын гошуну вә силаһлары һаггында. Азәрбајҹан ССР ЕА «Мәрүзәләри», чилд, XIII, № 8, 1957.

⁷ П. В. Котләревски. Көстәрилән әсәри, сәh. 364.

⁸ Ф. Л. Османов, Ф. Э. Ибраһимов. Нујдудән тапылмыш антик лөвә аид метал биләрзикләр. Азәрбајҹан ССР ЕА «Хәберләри». (тарих, фәлсәфә, вә һүгүг сериясы), 1976; № 2, сәh. 65.

⁹ А. Н. Мустафајев. Көстәрилән әсәри, сәh. 96.

ШЭРГШУНАСЛЫГ

АЗАДЭ МУСАЈЕВА

РӨВШЭНИНИН ТУУГЛАРЫ

(Азэрбајҹан ССР ЕА академики М. Ч. Чәфәров төгдим етмишидир)

Гэдим дөвлөрдөн башлајараг түркдилли поезијада дөрдлүк формасы эсас олмушдур. VI—VIII өслөрдөн галмыш үмүмтүрк абицэлэриндэн (1,2) букуни поезија нүүнэлэриндээк бу формадан истифадэ едилмишдир. Шифаһи халг әдәбијаты нүүнэлэри бајаты, ағы, һолаварлар вэ с. дөрдлүк формасында јарадылмышдыр.

Орта өслөр түркдилли классик поезијада дөрдлүк формасында жа-зылмыш лирик-фэлсэфи мээмун ифадэ еден тууғлар айрыча жанр кими мараглыдыр. Элишир Нәваи «Мизанүл-өвзан» өсөрнөдө тууғларын кечинш жајылдығыны, мәчлислөрдэ мәһны кими охундуғуну јазмыш (3), Зәнирэддин Мәһәммәд Бабур «Әруз рисаләси»ндә онлары гафијә гуру-туушна көрө бөлкүләрә аյырмышдыр (4). Ниҳад Сәми Банаарлы «Рәсми түрк әдәбијаты тарихиндэ тууғлары» түрк, билхассә азәри вэ чы-ғатај шаирләринин әлавә етдиқләри милли бир нәэм шәкли сајыр (5). Исмајыл Һикмәт «Азэрбајҹан әдәбијаты тарихи»ндә неча вәзниндэ жа-зылмыш тууғларын олдуғуну*, Әһмәд Қабаклы вэ бир сыра башга тәдгигатчылар онларын мәншәчә шифаһи халг ше'ри илә бағлылығыны көстәрмишләр (6, 7). Мәһәммәд Фуад Қөпрулұзадә, Вәсфи Маһир Ко-матүрк, Эзиз Мирәһмәдов, јухарыда адлары чәкилмиш вэ башга тәдгигатчылар тууғлар һаггында бә'зи дәјәрли фикирләр сөјләмишләрсә дә (8, 9, 10) түркдилли поезијада, о чүмләдән, Азэрбајҹан әдәбијатында бу жанрын тәдгиги һәллини көзләжөн бир проблем кими галмагдадыр.

Тууғларын классик нүүнэлэрини XIV—XV јүзилләрдә Гази Бүр-һанәддин, Нәсими, Элишир Нәваи јаратмышлар (14; 15; 13). XV өсрә Азэрбајҹанда јашајыб-јаратмыш Дәдә Өмәр Рөвшәниний тууғлары форма, мээмун, мөвзу бахымындан Гази Бүрһанәддин, Нәсими тууғлары илә сәсләшмәкдәдир. Гази Бүрһанәддинин пак әгидәли иисан, онун дәјүшкәнији, гәһрәманлығы, јүксәк амалы уғрунда өлүмә белә һазыр олан идеалы мәрданәлик символу кими Рөвшәниний јарадычылығында эксп-сәдасыны тапмышдыр:

Гази Бүрһанәддин

Үзин алышых көрән сәрдәр булур,
Әнәләңг дә'ва гылан бәрдәр бүлур.
Әр олтур һәг юлуң баш ојиаја,
Дәшәкдә олән јикит мурдар булур.
(14,598)

Сөјләнүр бу сөз чөнандэ вардыр,
Өлмәмәк ешгин јолундэ ардыр.
Гачмагыл өлмәкдәи, еј ашиг, сагын,
Өлдүрүлмәкдәи гачан мурдардыр.
(16,133а)

* М. Ф. Қөпрулұзадә. «Әдәбијат арашырмалары» өсөрнөдө (Анкара, 1966, сөн. 351) Исмајыл Һикмәтин бу фикринин дөргү олмадығыны фактларла көстәрмишдир.

Рөвшәниний тууғлары Нәсиминин дәрин фэлсәфи фикирләринин тэрәниүм олундуғу, даһа чох исә рәдиғләри белә ejni олан қөз, гаш, алын, эл вэ с. иисан ә'заларыны вәсф етди тууғларынын үфурлу вариантларына бәнзәјир:

Нәсими

Ришеји-көвнәрdir, ej чан, дишләрүн,
Дүрр-јетим етди фирәван дишләрүн.
Ләл илә мәрчандыр, ej чан, дишләрүн,
Гылса бән дәрвишә сисан дишләрүн.
(15,1876)

Миски-тәрдән данәләр чан бәнләрүн,
Ровшән етди инбәрәфшан бәнләрүн.
Гылды Һиндистаны налан бәнләрүн,
Олду Рум елино султан бәнләрүн.
(15,187a)

Рөвшәни

Һоггәдә үгди-көвнәрdir дишләрүн,
Нәзм олунмуш хуб дүррдүр дишләрүн.
Бәлкә дүррдән хубтәрдүр дишләрүн,
Вәрд ичиндә жаләнәрдүр дишләрүн.
(16,127a)

Хубдур руинде һинду бәнләрүн,
Әнбәр аса, галијәбу бәнләрүн.
Данәләрдүр, кәштә һәр су бәнләрүн,
Јерлү-јернидә, иш инку бәнләрүн.
(16,126b)

Рөвшәни «Диван»ынын дүнија әлјазма хәзинәләри вэ китабханаларындакы иүсхәләринин демәк олар ки, һамысында сајы ejni олмаса да тууғлары вардыр. Шаирин өсөрләринин элимиздә олан Упсала, Марбург, Ватикан, Истанбул, Ленинград вэ Бакы иүсхәләринин (сонунчудан башга foto-сүрәт вэ микро-фильмләрни иәзәрдә тутуруг) мүгајисәли өјрәнилмәси, елми-тәңгиди мәтнини һазырламаг мәгсәдилә тәдгиги онун тууғларынын сајыны һәләлик III олдуғуну айынлашдырды.

Дәдә Өмәр Рөвшәниний тууғлары иш-әнәви тууғ формасына уйғун «а-а-а-а» вэ «а-а-б-а» кими гафијәләнир:

Ешг имиш туфани-Нуһи-ташуран, а
Тағы ташдан мөвчүн анын ашуран, а
Дөр жүзин гәрг етдиән Адәм кими, б
Әгли гагуб, исси башдан шашуран, а
(16,132б)

Нарвас олмаз бәрабәр гәддүнә, а
Бәнзәмәз шүмшаду әрәр гәддүнә, а
Дөр жүзин әләмәр олами һәмәр гәддүнә?! а
Гандадур һәмта сәнибәр гәддүнә? а
(16,128a)

J. E. Бертельс, M. K. Һәмрајев вэ башга бир сыра мүәллифләр тууғларын јалныз чинаслы гафијәләр үзәрнөдө гурулдуғуну көстәрмишләр (11, 57; 12, 143—144, 211). Һалбуки шे'рләрин вәзиүләриндән данышылан өсөрләриндә тууғлар һаггында илкни мә'лumat верән Э. Нәваи вэ Бабур шаһ чинассыз гафијәли тууғларын да олдуғуну јазмышлар (3; 4). Түркдилли поезијада тууғларын јарадычысы кими танынмыш Газинин вэ Нәсиминин тууғлары да буна бир дәлилдир. Рөвшәниний элдә олан тууғларынын да чоху чинассыздыр. Һәр дөрд мисрасы мүсәрреһ (һәм-гафијә) оланилары шаирин сәнәткарлығыны даһа габарыг көстәрир, аһәнкдарлығы илә диггәти чәлб едир. Рөвшәниний тууғлары әрүз вәзинин рәмәл бәһринин «фаилатүн-фаилатүн-фаилүн» шәклиндә* јазылышдыр:

Көзә көрнәр
ФАилАтүн
Чәниэтин вәр
ФАилАтүн
Хош шукуф
ФАилАтүн
Санки шахи-
ФАилАтүн

мисли-ехтар
ФАилАтүн
-динә бәнзәр
ФАилАтүн
-дир көзәл һәр
ФАилАтүн
тәрдәдүр бәр
ФАилАтүн

нахунун
ФАилүн
нахунун
ФАилүн
нахунун
ФАилүн
нахунун
ФАилүн

* Тууғлар үмүмийәтлә рәмәл бәһринин «фаилатүн-фаилатүн-фаилүн», бә'зән исә «фаилатүн-фаилатүн-фаилан» вэ «фаилатүн-фаилатүн-фаилат» шәклиндә јазылышы.

THE TUYUKS OF ROVSHANI

The tuyuks in the form of quatrain as a genre of the Turkic peoples in the Middle Ages attract the attention. Though some attempts were done by different scholars to analyze the tuyuks in general, in Turkic and Azerbaijan poetry as well they remain uninvestigated up to now as a genre.

Dede Omar Rovshani, a poet and a philosopher, who lived in Azerbaijan in the XV century also created the wonderful tuyuks. This article deals with the form, text, themes and motives of these tuyuks and the artistic skill of the poet. His tuyuks are also analyzed in comparison with those of Gazi Burhanaddin and Nasimi.

The article has been written on basis of tuyuks selected from Baku, Leningrad, Istanbul, Vatican, Marburg, Upsala manuscripts of Rovshani's "Divan".

Мөвзү вә мотивләриң көрә Рөвшәниң тујуғларыны ашағыдақы кими груплашдырымаг олар:

1. Фәлсәфи (дүнja, жараныш һаггында, эи чох суфизмло бағлы)
2. Лирик (ұлви мәһәббәт, көзәл вә шаирин она олан ешгинин тәрәннүмү)
3. Дидактик-әхләги (инсаннәрвәрлик, инсан, онун жаранмасы, тәрбијеси).

Рөвшәниң зиддијәтли дүнjaқөрүшү жарадычылығының айрылмаз бир һиссәси сајдығымыз тујуғларында да эксини тапмышдыр. Шаир дүнja, жараныш һаггында данышаркән мадди аләминиң эсасыны дөрд үнсүрә (торпаг, од, су, нава) бағлајыр. Лирик мөвзуда жаздығы тујуғларында инсан көзәллиji, ләјақети, үрәжиниң иңчә, тәмиз дуіғулары јұксек сәнэткарлыгla тәрәннүм олуңур. Рөвшәни «Диваны» әлжазмаларының чохунда тујузлар бөлмәси Мәһәммәди мәдін етдији тујуғу илә башлајыр вә бир сырасы бу мөвзуда жазылмышдыр. Мә'лумдур ки, Дәдә Өмәр «хәлвәтиj» тәригәтиңиң «рөвшәниj» голунун жарадычысы вә шејхи олмушудур. Буна көрә дә тәригәт вә онун тәблиғи мәгсәди илә жаздығы тујуғлары вардыр. Лакин дүнja, жараныш һаггында дүшүнчәләр, инсан, онун мә'нәви камиллијинин кәрәклиji, бу ишдә өзүнүн вә тәрбијәниң ролу кими мөвзуларда (мүәллим-тәләбә, мүрид-мүршид вә онларын мұнасибәтләри вә с.) жазылмыш тујуғлары чохлуг тәшкил едир, шаиринг фәлсәфи-ичтимай көрүшләрини даһа айдан көстәрир.

Дәдә Өмәр Рөвшәниң бүтүн жарадычылығында олдуғу кими тујуғларында да халг жарадычылығы вә классик Шәрг әдәбијатының инсаннәрвәрлик, дөгрүчулуг, тәмиз мәһәббәт, достлуг, зәһмәтсөвәрлик кими дәjәрли идеялары илә гырылмаз бағылышты дујулур. Бу әсәрләр көстәрир ки, инсан, онун һәјаты, талеji, арзу вә истәкләри Рөвшәни жарадычылығының әсас мөвзусу олмушудур.

Әдәбијат

1. Стеблева И. В. Поэзия тюроков VI—VIII вв. М., 1965.
2. Стеблева И. В. Развитие тюркских поэтических форм в XI в. М., 1971.
3. Нәван Э. Мизанүл-евзан, Дашикенд, 1949.
4. Бабур З. М. Эруз рисаләси, М., 1972.
5. Никмат И. Азәрбайҹан әдәбијаты тарихи, II ч., Бакы, 1928.
6. Банарлы Н. С. Ресми түрк әдәбијаты, тарихи, I ч., Истанбул, 1948.
7. Кабаклы Э. Түрк әдәбијаты, Истанбул, 1967.
8. Қөпір улзадә М. Ф. Тујуғ шәкли, Жени мәчмүә, IV 1923.
9. Кочатурк В. М. Түрк әдәбијаты тарихи. Анкара, 1964.
10. Мирәһимәдов Э. Әдәбијатшынасын лүгәти. Бакы, 1978.
11. Бертельс Навон и Джами. М., 1965.
12. Хамраев М. К. Основы тюркского стихосложения. Алматы, 1963.
13. Нәван Э. Диван. М., 1964.
14. Бүрнанәддин Г. Диван, Истанбул, 1943.
15. Насими И. Диван. Азәрб. ССР ЕА Республика Әлжазмалары Фонду, М-227.
16. Рөвшәни Д. Ө. Диван, РЭФ, Б-778.

Республика Әлжазмалары Фонду

Алынмышдыр 3.XII.1980.

А. Ш. Мусаева

ТУЮКИ РОВШАНИ

В тюркоязычной поэзии средних веков привлекают внимание туюки — образцы классического жанра, написанные в форме четырехстиший. Хотя имеется ряд ценных высказываний о туюках, в целом исследование этого жанра как в тюркоязычной поэзии, так и в азербайджанской литературе остается нерешенной проблемой.

Живший и творивший в Азербайджане в XV в. поэт-философ Деде Омар Ровшани создал прекрасные образцы туюков. В статье туюки Ровшани сравниваются по мастерству с туюками Гази Бурханеддина и Насими, а также дается их литературоведческий анализ.

Статья написана на основе списков «Дивана» Ровшани, хранящихся в фондах Баку, Ленинграда, Стамбула, Ватикана, Марбурга, Упсале.

МУНДЭРИЧАТ

Ријазијјат

М. А. Вәлијев. Кильберт фәзасында I тәртиб хәтти тоңилклөр үчүн бубнов- галеркин үсулуун дајаныглығына даир	3
Р. Э. Шәфијев. L-псевдоочевирмәләр һагтында	8
С. Э. Гулијев. Ичи даирәви бошлуга малик призматик брусларын бурул- масы	13
Х. Х. Пашајев. Рәгслөр нәэрийјесинин бир гарышыг мосоләсесинин һәллине даир	17

Јарымкечиричиләр физикасы

К. Р. Аллахвердијев, Л. К. Водопјанов, Л. В. Голубев, Л. У. Кәнкәрлийски, Е. Ј. Салајев, Р. М. Сәрдарлы, А. О. Хәлилов. InSe монокристалларының рәгс спектрине күкүрд гарышыгының тә'сири	20
---	----

Јарымкечиричиләр физикасы вә диелектрикләр

Н. Б. Абдуллајев, Н. З. Чәлилов, Н. Т. Һәсәнов, С. И. Мехи- дијева, С. А. Аббасов, Ельмира Чәлал гызы. Һексагонал селен-мо- нокристалларының јашама мүддәттинин температур-заман асылылығы	24
--	----

Биофизика

Н. Б. Абдуллајев, Н. Һ. Һәсәнов, Е. М. Гулијева, Н. И. Чә- фәров, В. В. Перельгин. Селенин изолә едилиши көзүн торлу гишаы электроретинограммына тә'сири	29
--	----

Кеофизика

Т. Э. Исмаилзадә, А. М. Рутман. Тәбии галыг магнитләнмә векто- руун статистик анализиниң көмәјилә чөмә сүхурларының корреляцијасы	35
--	----

Полимерләр кимјасы

Р. М. Элигулијев, Г. М. Элијев, Д. М. Хитејева, Ф. А. Ахунди- рова, А. А. Мәмәдов. Термоэластопласт үчүн кәркинилийн деформација- дан аналитик асылылығының тәтбиг олуима сәрнәдди һагтында	39
---	----

С. И. Садыгзадә, Р. Ч. Чаббарова, Л. А. Миркинд, Ю. А. Ва- сиљев. Монометиладипатын вә дијенин анод конденсацијасы процессинин тех- нологији гуруулмасы	44
---	----

Палеотектоника

М. Э. Кулдости. Күр чөкклийиниң басдырылмыш структурларының (Му- радханлы кими) палинопластик анализи	47
--	----

Ботаника

А. Э. Бајрамов. Дөвшанкәләми (<i>Sedum l.</i>) иевләрииниң эсас ујгуулашма мәнијјәти	52
---	----

Торпагшұнаслығ

Д. Г. Пономарјов, Т. С. Чәфәрова. Кічік Гафгазын алп туршағы торпагларында торәмә минералларын даражама енержисинин несабланмасы	56
---	----

С. Э. Элијев, Н. М. Рзајев. Муған дүзүнүң боз-чәмән ториагларында газ мубадиләсесинин памбығының фотосинтез процессине тә'сири	60
---	----

Н. М. Исмаилов, Ф. Ј. Гасымов, Ш. А. Эһмәдов. Траутфеттер кәкликтүнүн ефир яғы	64
---	----

Шәргшұнаслығ

Ч. З. Бүйядов. Гәрмәтиләрин мәнишәни вә фоаллыға башламалары	68
--	----

Етнографија

И. Н. Шанбазов. Шаһдағ етник групуун қејим вә бәзәкләри һагтында	73
Шәргшұнаслығ	8
Азадә Мусајева. Ревшәнинин тујуғлары	78

СОДЕРЖАНИЕ

Математика

М. А. Вәлиев. К устойчивости метода Бубнова—Галеркина для линейных уравнений первого порядка в гильбертовом пространстве	3
Р. А. Шағиев. Об L-псевдообращении	8

Механика

Х. Х. Кулесев. Кручение призматических брусьев с двумя круговыми по- лостями	13
---	----

Математика

Х. Х. Пашаев. К решению одной смешанной задачи из теории колебаний	17
Физика полупроводников	

К. Р. Аллахвердиев, Л. К. Вордопъянов, Л. В. Голубев, Л. Ю. Кенгерлийский, Э. Ю. Салаев, Р. М. Сардарлы, А. О. Хали- лов. Влияние примеси серы на колебательный спектр монокристаллов InSe	20
--	----

Физика полупроводников и диэлектриков

Г. Б. Абдуллаев, Н. З. Джалилов, Н. Т. Гасанов, С. И. Мехис- за, С. А. Аббасов, Эльмира Джалақызы. Температурно-силовая зави- симость долговечности монокристаллов гексагонального селена	24
---	----

Биофизика

Г. Б. Абдуллаев, Г. Г. Гасанов, Э. М. Кулесева, А. И. Джаза- ров, В. В. Перельгин. О действии селена на электроретинограмму изолиро- ванный сетчатки холоднокровных животных	29
--	----

Геофизика

Т. А. Исмаилзадә, А. М. Рутман. Корреляция осадочных отложений с помощью статического анализа векторов естественной остаточной намагничен- ности	35
--	----

Химия полимера

Р. М. Алигулиев, Г. М. Алиев, Д. М. Хитеева, Ф. А. Ахундова, А. А. Мамедов. О границах применимости аналитических зависимостей «спа- ряжение—деформация» для термоэластопластов	39
---	----

Нефтехимический синтез

С. И. Садыхзадә, Р. Д. Джабарова, Л. А. Миркинд, Ю. А. Ва- сиљев. Разработка модели технологического процесса анодной конденсации монометиладипината и дисена	44
---	----

Палеотектоника

М. А. Гюльдуст. Палинопластический анализ строения погребенных под- нятый куринской впадини (на примере Мурадханлы)	47
--	----

Ботаника

А. А. Байрамов. Основные черты приспособительной сущности видов р. Sedum L	52
Почвоведение	
Д. Г. Пономарев, Т. С. Джазафарова. Опыт расчета энергии, пошедшей на минеральные преобразования почв альпийского Малого Кавказа	56
С. А. Алиев, Н. М. Рзаев. Влияние дыхания почвы на фотосинтез хлопчатника на сероземно-луговых почвах муганской степи	60
Растительное ресурсоведение	
Н. М. Исмаилов, Ф. Ю. Касумов, Ш. А. Ахмедова. Эфирное масло Тимьяна траутфеттера	64
Востоковедение	
Дж. З. Буниятов. Карматы: происхождение и начало активности	68
Этнография	
И. Шахбазов. Одежда и украшения шахдагской этнической группы	73
Востоковедение	
А. Ш. Мусаева. Туники Ровшани	78

Сдано в набор 9/III 1981 г. Подписано к печати 7/V 1981 г. ФГ 21199.
Формат бумаги 70×100^{1/16}. Бумага типографская № 1. Гарнитура шрифта литерат.
Печать высокая. Печ. лист. 7,35. Уч.-изд. лист. 6,42. Тираж 655.
Заказ 131. Цена 40 коп.

Издательство „Элм“. 370143, Баку-143, проспект Нариманова, 31.

Академгородок, Главное здание.

Типография „Красный Восток“ Государственного комитета
Азербайджанской ССР по делам издательства, полиграфии и книжной торговли.
Баку, ул. Ази Асланова, 80.

9. Текст статьи печатается на белой бумаге через два интервала на одной странице листа стандартного размера, с полями с левой стороны (не более 28 строк на одной странице по 58–60 знаков в строке). В тексте нельзя делать рукописные вставки и вклейки.

Статьи, напечатанные на портативной машинке, не принимаются.

10. Текст статии должен быть изложен кратко, тщательно отредактирован и подписан авторами в печать. В математических статьях желательно избегать доказательств теорем, лемм и т. п. При использовании в тексте сокращенных названий (кроме общепринятых) необходимо давать их расшифровку.

11. Математические и химические формулы и символы в тексте должны быть вписаны четко. Следует избегать громоздких обозначений, применения, например, дробные показатели степени вместо радикалов; а также expr. Записываемые формулы обязательно выключаются в красную строку, номер формулы ставится у правого края страницы. Желательно нумеровать лишь те формулы, на которые имеются ссылки. Подстрочные и надстрочные индексы и степени следует отмечать карандашом, дугами сверху и снизу:

$$R^n, r_n$$

Греческие буквы нужно обводить (в кружок) красным карандашом. Буквы готического шрифта и рукописные в рукописях не использовать, векторные величины — подчеркивать черным, буквы латинского рукописного шрифта следует отметить на полях (например, Н рукоп.).

Во избежание ошибок следует четко обозначать прописные (заглавные) и строчные буквы латинского алфавита, имеющие сходное начертание (Cc; Kk; Pp; Oo; Ss; Uu; Vv; и т. д.), буквы I(l) и J(j), букву I и римскую единицу I, а также арабскую цифру I и римскую I, (вертикальная черта), 1 и штрих в индексах, I (латинское эль) и e. Прописные буквы подчеркивают карандашом двумя черточками снизу (С), а строчные — сверху (с).

Следует избегать знаков типа ~ (волна), ⊖, ⊕, ⊗; □, □¹, ◊, √ A (кружочки) над и под буквами, а также знаков:

$$\text{h } \mathbb{X} \mathbb{E}, \mathbb{f} \mathbb{j}, \mathbb{f}, \mathbb{E}$$

Латинские названия вписываются на машинке.

Слова «теорема», «лемма», «следствие», «определение», «замечание» и т. п. следует подчеркивать штриховой чертой, а текст утверждений типа теорем—волнистой чертой (исключая математические символы).

При выборе единиц измерения рекомендуется придерживаться международной системы единиц СИ.

12. При описании методики исследования следует ограничиваться оригинальной ее частью. При элементном анализе приподнять только усредненные данные.

13. Необходимо тщательно проверить написание местных географических названий.

14. Цитированная литература приводится общим списком на отдельной странице: ссылки в тексте даются порядковым номером в круглых скобках над строкой (например¹). Список литературы оформляется следующим образом:

для книг: инициалы и фамилии авторов, полное название книги, место и год издания;

для журнальных статей: инициалы и фамилии авторов, название журнала, номер тома, номер выпуска, страница и год издания.

Ссылки на неопубликованные работы не допускаются.

15. Все статьи должны иметь резюме на английском языке, кроме того статьи написанные на русском и азербайджанском языках должны иметь резюме на азербайджанском и на русском соответственно.

Публикация статьи в «Докладах» не препятствует напечатанию расширенного ее варианта в другом периодическом издании.

40 гэп.
коп.

**Индекс
76355**